

T.C.
İSTANBUL AYDIN ÜNİVERSİTESİ
LİSANSÜSTÜ EĞİTİM ENSTİTÜSÜ



**FARKLI CAD / CAM KRON ALT YAPILARIN İNTERRAL VE MARJİNAL
UYUMLARININ İN VİTRO İNCELENMESİ**

DOKTORA TEZİ

Recep KARA

**Protetik Diş Tedavisi Anabilim Dalı
Protetik Diş Tedavisi Programı**

Kasım, 2019

T.C.
İSTANBUL AYDIN ÜNİVERSİTESİ
LİSANSÜSTÜ EĞİTİM ENSTİTÜSÜ



**FARKLI CAD / CAM KRON ALT YAPILARIN İNTERRAL VE MARJİNAL
UYUMLARININ İN VİTRO İNCELENMESİ**

DOKTORA TEZİ

**Recep KARA
(Y1617.510003)**

**Protetik Diş Tedavisi Anabilim Dalı
Protetik Diş Tedavisi Programı**

Tez Danışmanı: Prof. Dr. Erman Bülent TUNCER

Kasım, 2019

ONAY FORMU





YEMİN METNİ

Doktora tezi olarak sunduğum “Farklı Cad / Cam Kron Altyapılarının İnternal Ve Marjinal Uyumlularının İn Vitro İncelenmesi ” adlı çalışmanın, tezin proje safhasından sonuçlanması kadar ki bütün süreçlerde bilimsel ahlak ve etik geleneklere aykırı düşecek bir davranışımın olmadığını, tezdeki bütün bilgileri akademik ve etik kurallar içinde elde ettiğimi, bu tez çalışmasıyla elde edilmeyen bütün bilgi ve yorumlara kaynak gösterdiğim ve yararlandığım eserlerin bibliyografyada gösterilenlerden oluştuğunu, bunlara atıf yaparak yararlanmış olduğumu belirtir ve onurumla beyan ederim.

Recep KARA



ÖNSÖZ

Doktora eğitimim boyunca yanında olan bilgisini, deneyimini, hoşörüsünü eksik etmeyen, sabırla yanında olup bana yardımcı olan sayın hocam Prof. Dr. Erman Bülent TUNCER'e,

Doktora eğitimimin ilk gününden itibaren yanında olup, elimden tutan, bugünkü klinik ve akademik anlamda geldiğim noktaya ulaşmamda muazzam yardımları dokunan, bana bitmeyen sonsuz sabır, anlayış ve anne şefkati ile beni eğiten, desteğini eksik etmeyen sayın hocalarım Prof. Dr. Jülide Özen, Prof Dr. Ayşen Nekora Azak ve Prof. Dr. Gülşen CAN'a,

Doktora eğitimime başladığım ilk günlerden itibaren klinik ve teorik tecrübeyle eğitimime katkıda bulunmuş ve yol göstermiş sayın hocam Prof. Dr. Ali Zaimoğlu'na,

Bilgi ve deneyimleriyle her zaman yanında olup değerli katkılarıyla eğitim hayatımda unutulmayacak yeri olan fakültede bulunmuş tüm öğretim üyelerine,

Tez çalışmalarım esnasında yanında olup, çalışmama desteklerini esirgemeyen sayın hocalarım Doç. Dr. Meltem Özdemir Karataş , Doç. Dr. Ali Balık , Dr. Öğr. Üyesi Serdar Gözler ve Dr. Öğr. Üyesi Meryem Gülcə Subaşı'na,

Birlikte aynı yollardan geçtiğimiz, dostluklarını esirgemeyen tüm araştırma görevlisi arkadaşımıza,

Doğduğum günden itibaren arkamdan desteklerini asla eksik etmeyen, her koşul ve durumda, sevgi ve şefkatle yanında olan, beni günlere getiren, canım aileme sonsuz teşekkür ederim.

Kasım 2019

Recep KARA



İÇİNDEKİLER

	<u>Sayfa</u>
ÖNSÖZ.....	vii
İÇİNDEKİLER	ix
KISALTMALAR	xi
ÇİZELGE LİSTESİ.....	xiii
ŞEKİL LİSTESİ.....	xv
1. GİRİŞ ve AMAC	1
2. GENEL BİLGİLER	1
2.1 CAD /CAM Sistemlerinin Gelişimi	1
2.2 CAD / CAM Sistemi	2
2.3 CAD / CAM Sisteminin Bileşenleri	3
2.3.1 Tarayıcıların sınıflandırılması	5
2.3.2 Tasarım yazılımı.....	10
2.3.3 Dijital üretim süreçleri.....	11
2.4 Sınırlamalar ve Gelecekteki CAD / CAM	15
2.5 CAD /CAM Materyalleri	16
2.5.1 Feldspatik seramikler.....	17
2.5.2 Lösitele güçlendirilmiş cam seramik.....	18
2.5.3 Lityum disilikatla güçlendirilmiş cam seramikler.....	19
2.5.4 Oksit seramikler	21
2.5.4.1 Cam infiltre edilmiş oksit seramikler.....	21
2.5.4.2 Sinterize oksit seramikler	22
2.5.5 Nanoseramikler	25
2.5.6 Hibrid seramikler	26
2.5.7 Lityum disilikat seramikler	26
2.5.8 Kompozitler	27
2.5.9 Polimerler.....	27
2.5.10 Metaller	27
2.6 Eklemeli (Tabakalı) Üretim	28
2.7 Tabakalı Üretim Tekniklerinin Tarihçesi	30
2.8 Tabakalı Üretim Tekniğinde Kullanılan Malzemeler.....	31
2.9 Tabakalı Üretim Yöntemlerinin Sınıflandırılması	32
2.9.1 Stereolitografi (SLA), litografi (fotopolimerizasyon)	32
2.9.2 Eriyik yiğma modelleme (FDM).....	34
2.9.3 Seçici elektron ışınılı ergitme (SEBM).....	35
2.9.4 Seçici lazer sinterleme (SLS) ve seçici lazer ergitme (SLM)	36
2.9.5 Mürekkep baskı üretim tekniği	38
2.10 Eklemeli Üretim ve Diş Hekimliği.....	39
2.10.1 Selektif lazer sinterleme ve diş hekimliğinde kullanımı.....	39
2.10.2 Eklemeli üretimde kullanılan materyaller.....	41
2.10.2.1 Polimerler	41

2.10.2.2 Seramik	42
2.10.2.3 Bağlayıcı / toz kombinasyonu	43
2.10.2.4 Metaller	43
2.10.3 Eklemeli üretim uygulamaları	47
2.10.4 Mevcut eklemeli imalat makinelerinin doğruluğu	49
2.10.5 Eklemeli üretiminin avantajları.....	51
2.10.6 Eklemeli üretiminin sınırlamaları	52
2.11 Kenar Uyumu.....	53
2.11.1 Kenar uyumunu etkileyen faktörler	55
2.11.2 Diş preparasyonu.....	55
2.11.3 Simantasyon.....	57
2.11.4 Materyal seçimi.....	58
2.11.5 Hekim ve teknisyen	59
2.12 Kenar Uyumunun Ölçülmesinde Kullanılan Yöntemler	59
2.12.1 Direkt yöntem	59
2.12.2 Silikon replika yöntemi	60
2.12.3 Kesit alma yöntemi	60
2.12.4 Üç boyutlu tarama yöntemi	60
3. GEREÇ VE YÖNTEM.....	63
3.1 Çalışmada Kullanılan Cihaz ve Materyaller	63
3.2 Ana Modellerin Oluşturulması	64
3.3 Örneklerin Elde Edilmesi:	65
3.4 Üretilen Metal Alt Yapıların Simantasyonu	68
3.5 Örneklerin Akrilik İçine Gömülmesi	69
3.6 Mikroskop İncelemeleri	71
4. BULGULAR	73
4.1 İstatistiksel Analiz Yöntemi	73
4.2 Üretim Sistemlerinin Kendi Aralarında Değerlendirilmesi	73
4.2.1 Genel ortalamalarına göre karşılaştırma.....	73
4.2.2 Kenar aralığının değerlendirilmesi.....	74
4.2.3 Basamak aralığının değerlendirilmesi	75
4.2.4 Chamfer aralığının değerlendirilmesi	76
4.2.5 Aksiyal aralığının değerlendirilmesi	77
4.2.6 Aksiyal-okluzal açı aralığının değerlendirilmesi	78
4.2.7 Okluzal aralığın değerlendirilmesi	79
4.2.8 Genel ortalama internal aralığın değerlendirilmesi.....	80
5. TARTIŞMA	81
6. SONUÇ VE ÖNERİLER.....	99
KAYNAKLAR.....	101
ÖZGEÇMİŞ.....	123

KISALTMALAR

°	: Derece
µm	: Mikrometre
3D	: 3 boyutlu
Ag	: Gümüş
Al	: Alüminyum
Al₂O₃	: Alüminyum Oksit
Au	: Altın
ark.	: Arkadaşları
CAD	: Bilgisayar Destekli Tasarım
CAM	: Bilgisayar Destekli Üretim
Co	: Kobalt
Cr	: Krom
CoCr	: Kobalt Krom
C-CoCr	: CAM / CAD Kobalt Krom Kazıma
C-Ti	: CAM / CAD Titanyum Kazıma
C-Zi	: CAM / CAD Zirkonyum Kazıma
C-PEKK	: CAM / CAD PEKK Kazıma
DLP	: Digital Light Projection
DMLS	: Direkt Metal Lazer Sinterleme
DMLS-C	: Direkt Metal Laser Sintering Kobalt Krom
Kg	: Kilogram
MPa	: Megapaskal
N	: Newton
n	: Örnek Sayısı
Ni	: Nikel
NiCr	: Nikel Krom
nm	: Nanometre
no	: Numara
PEEK	: Polietereterketon
PEKK	: Polieterketonketon
Pt	: Platin
SD	: Standart Sapma
SLA	: Stereolithography Apparatus
SLS	: Seçici Lazer Sinterleme
sn	: Saniye
Ti	: Titanyum
UV	: Kızılıtesi
ZrO₂	: Zirkonyum Oksit, Zirkonya
×	: Kat



ÇİZELGE LİSTESİ

	<u>Sayfa</u>
Çizelge 2.1: Dijital İş Akışı	29
Çizelge 3.1: Araştırmada Kullanan Materyaller	63
Çizelge 3.2: Araştırmada Kullanan Cihazlar	64
Çizelge 3.3: Örneklerin Gruplandırılması	66





ŞEKİL LİSTESİ

Sayfa

Şekil 2.1: Kazıma cihazının farklı çalışma eksenleri: 3 uzaysal yön X, Y ve Z (3 eksenli freze cihazları); 3 X, Y, Z eksenleri ve A rotasyonu (4 eksenli freze cihazları); X, Y, Z eksenleri , A rotasyonu ve freze mili B rotasyonu (5 eksen freze cihazları)	13
Şekil 2.2: SLA Üretiminin Tekniği	33
Şekil 2.3: FDM Üretim Tekniği.....	35
Şekil 2.4: SEBM Üretim Tekniği.....	36
Şekil 2.5: SLS Üretim Tekniği.....	37
Şekil 2.6: Mürekkep Baskı Üretim Tekniği	39
Şekil 2.7: Marjinal Aralık Tanımı A = İç Boşluk; B = Marjinal Boşluk (bu çalışmada ölçülen); C = Fazla Uzatılmış Kron Kenarı; D = Kısa Kalmış Kron Kenarı; E = Dikey Marjinal Uyumsuzluk; F = Yatay Marjinal Uyumsuzluk; G = Mutlak Marjinal Uyumsuzluk	54
Şekil 2.8: Diş kesimi basamak çeşitleri (a) Bıçak ağızı, (b) Bevel,(c) Chamfer, (d) Shoulder, (e) Bevel'lı shoulder.....	56
Şekil 3.1: Prepare Akrilik Diş	65
Şekil 3.2: Ana CoCr Day.....	65
Şekil 3.3 : Ana Modelin Dublikasyonu	66
Şekil 3.4: Yenascan Tarayıcı	67
Şekil 3.5: Exocad Tasarım Programında Altyapıların Tasarımı	67
Şekil 3.6: Üretilmiş Altyapılar	68
Şekil 3.7: Altyapıların Simantasyonu	68
Şekil 3.8: Simante Edilmiş Altyapıların Akrilik İçine Alınması	69
Şekil 3.9: Mod Dental MKC-100 Hassas Kesme Makinası	69
Şekil 3.10: Standardize Edilmiş Kesim Hattı Frez İlişkisi	70
Şekil 3.11: Örnek Kesitleri	71
Şekil 3.12: Digital Video Mikroskop, 21 MP Canon Dslr Fotograf Makinesi	72
Şekil 3.13: Holmes ve Ark. Tarafından Belirtilen Noktaların Standardizasyon İçin İşaretlenmesi.	72
Şekil 3.14: Image J Yazılımında Aralık Ölçümlerinin Yapılması	72
Şekil 4.1: Kron Altyapılarının Toplam Aralık Ölçümlerinin Ortalama ve SD Değerleri	73
Şekil 4.2: Kron Altyapılarının Kenar Aralık Ölçümlerinin Ortalama ve SD Değerleri ..	74
Şekil 4.3: Kron altyapılarının basamak aralık ölçümlerinin ortalama ve SD değerleri... <td>75</td>	75
Şekil 4.4: Kron Altyapılarının Chamfer Aralık Ölçümlerinin Ortalama ve SD Değerleri	76
Şekil 4.5: Kron Altyapılarının Aksiyal Aralık Ölçümlerinin Ortalama ve SD Değerleri	77
Şekil 4.6: Kron Altyapılarının Aksiyal Aralık Ölçümlerinin Ortalama ve SD Değerleri	78
Şekil 4.7: Kron Altyapılarının Okluzal Aralık Ölçümlerinin Ortalama ve SD Değerleri	79

Şekil 4.8: Kron Altyapılarının Genel İInternal Aralık Ölçümlerinin Ortalama ve SD
Değerleri..... 80



FARKLI CAD / CAM KRON ALTYAPILARIN INTERNAL VE MARJİNAL UYUMLARININ İN VİTRO İNCELENMESİ

ÖZET

Bu in vitro çalışmada, iki farklı yapım yöntemi ile üretilen tam seramik kron altyapılarının; DMLS(doğrudan metal sinterleme) CoCr ve CAM (bilgisayar destekli tasarım) / CAM (bilgisayar destekli üretim) kazıma (CoCr, titanyum, zirkonya, PEKK (polieterterketon) altyapılar) ; internal ve marjinal uyumları incelendi. Hazır akrilik sağ üst çene 1. büyüğünü diş kesim prensiplerine göre hazırlandı. Hazırlanan dışten metal ana model oluşturuldu. Altyapı üretimi için metal ana model alçı ile duplike edildi ve 100 adet alçı model üretildi. Her biri 20 adet örnek içeren ($n=20$) beş gruba ayrıldı.

Altyapılarının tümü, alçı dış örnekleri üzerine test örneği olarak hazırlandı. Sonra, altyapılar rezin siman ile simante edildi. Üretimi tamamlanan altyapıların internal ve marjinal uyum ölçümleri, kesit alma tekniği ile dikey yönde gerçekleştirildi. Ölçüm işlemi, alınan fotoğraflar üzerinde, Image J programı kullanılarak yapıldı. Her bir kron için toplam 90 ölçüm değeri elde edildi ve ortalaması alındı.

Veriler istatistiksel olarak analiz edildi. İki farklı yapım yöntemi ile üretilen altyapıların internal ve marjinal uyumları arasında istatistiksel olarak anlamlı bir fark olduğu bulundu ($p<0,05$).

Grupların toplam ölçüm ortalaması arasında istatistiksel olarak anlamlı fark bulundu ($p<0,05$, $F= 39,566$).

Yapılan post hoc testleri sonucuna göre DMLS CoCr grubuya CAD / CAM kazıma grupları arasında farklılık ortaya konuldu, DMLS CoCr grubunun uyumunun daha iyi olduğu, istatistiksel anlamlı farkın olduğu tesbit edildi ($p>0,05$).

CAD / CAM grubunda en iyi uyumun C-Zi grubunda olduğu, C-CoCr ile C-PEKK grubunun, C-Zi ile C-Ti grubunun uyumluluğunun benzer olduğu istatistiksel olarak anlamlı farkın olmadığı tesbit edildi ($p>0,05$). Gruplar arasında kenar uyum ölçümleri arasında istatistiksel olarak anlamlı fark bulundu ($p<0,05$, $F= 20,335$).

Yapılan istatistik testlerin sonucuna göre DMLS-C grubuya C-Zi grubu arasında kenar aralığının benzer olduğu ortaya konuldu, istatistiksel anlamlı farkın olmadığı tespit edildi ($p>0,05$).

DMLS-C grubundaki kenar aralığı uyumunun diğer CAD / CAM gruplara göre daha iyi olduğu, istatistiksel olarak aralarında anlamlı farkın olduğu ortaya konulmuştur ($p<0,05$). CAD / CAM kazıma grubunda en iyi kenar uyumunun C-Zi grubunda olduğu tesbit edilmiştir.

İn vitro araştırmamızda kullanılan DMLS ve CAD / CAM kazıma sistemleri ile üretilmiş tek kron alt yapılarının marjinal ve internal uyumlarını incelediğimizde her iki yönteminde klinik olarak kabul edilebilir olduğu söylenebilir.

Anahtar Kelimeler: *CAD / CAM coping, laser sintering coping, tek kron, yapım yöntemi, iç ve kenar uyumu*



IN VITRO EXAMINATION OF INTERNAL AND MARGINAL ADAPTATION OF DIFFERENT CAD / CAM CROWN COPINGS

ABSTRACT

This in vitro study examined the internal and marginal adaptation of all ceramic crown copings; DMLS (direct laser metal sintering) CoCr (cobalt-chrome) ve CAD (Computer Aided Design) / CAM (Computer Aided Manufacturing) milling (CoCr, titanium, zirconia, PEKK (polietheretherketon) copings); prepared with two different fabrication methods in posterior tooth.

Prefabricated acrylic crown, maxillary right 1. molar tooth, was prepared according to the preparation methods and rules. Metal master model of prepared tooth was made. Hundred posterior stone tooth models were produced by duplication of this metal model. These models were divided into 5 groups, 20 samples ($n=20$) for each coping group.

All copings were fabricated over these stone models as test specimens. Then, copings were luted to the stone models with resin cement. Internal and marginal gap of all copings were measured after cementation by using cutting measurement technique. Measurements were made on digital images by using Image J program. A total of 90 measurements were made for each coping and the mean values were calculated.

Data were analyzed statistically. There was a statistically significant difference between the internal and marginal compatibility of the copings produced by two different produce methods ($P<0.05$).

There was a statistically significant difference between the mean of total measurements between the groups ($p<0.05$, $F = 39,566$). According to the results of statistical tests, DMLS CoCr and CAD / CAM milling groups were found to be different, and DMLS-C group had better correlation and statistically significant difference ($p>0.05$). There was no statistically significant difference between C-Zi group and C-CoCr and C-PEKK group and C-Zi and C-Ti group were similar ($P>0.05$). A statistically significant difference was found between the groups in terms of marginal fit measurements ($p<0.05$, $F = 0,335$).

According to the post hoc tests, the margin gap was similar between the DMLS CoCr group and the CAD / CAM zirconia group. There was no statistically significant difference ($p>0.05$).

In the DMLS-C group, it was found that the marginal gap was better than the other CAD / CAM groups and there was a statistically significant difference between them ($p <0.05$). In the CAD / CAM milling groups, the best marginal fit was found in the C-Zi group.

When we examine the marginal and internal fitting of single crown copings produced with direct metal laser sintering and CAD / CAM milling systems used in our in vitro research, it can be said that both methods are clinically acceptable.

Key Words: *CAD / CAM coping, laser sintering coping , fabrication method, internal and marginal adaptation, single crown*



1. GİRİŞ ve AMAÇ

CAD / CAM sistemi, restorasyonların bilgisayar desteğiyle üretiminin yapıldığı dış hekimliğinin yararlı bir bölümündür. (Andersson ve dig. , 1996) CAD / CAM sisteminin avantajı geleneksel ölçü ve üretim tekniklerine birçok alternatif oluşturmasıdır. Bu sayede geleneksel yöntemlerle kullanılmayan farklı malzemeler de kullanılır hale gelmiştir (Kamada ve dig. , 1998; Andersson ve dig. 1996; Mc Laren ve Terry , 2002).

Bilgisayar destekli dizayn ve üretim (CAD / CAM) teknolojileri ; zirkonya, kompozit ve akrilik rezinlerinde içinde bulunduğu farklı dental materyallerden standardize ve tekrarlanabilir dental restorasyonların yapımını sağlarlar. Bunlar döküm metodunun yerini alma özelliklerine sahiptirler.

Bu arada kimyasal olarak stabil; gerilim, dayanım ve bükülme gibi mekanik durumlara karşı dirençli polieterketonketon (PEKK) dental CAD / CAM materyali olarak dişhekimliğine girmiştir.

PEKK malzemeleri, polietereterketon (PEEK) malzemeleriyle birlikte, poliakrilketonlara (PAEK) ait olup, yüksek biyolojik stabilitet sunar ve hem keto grubunu hem de eter grubunu taşıır. PEEK malzemeleriyle karşılaşıldığında, PEKK malzemeler, keto grubunun yüksek oranına bağlı olarak cam ve polimer zincirlerinin daha katılmasını sağlar; Bu nedenle, daha yüksek bir erime sıcaklığına ve daha yüksek sıkıştırma özelliğine sahiptir (Valderhaug ve dig. , 1997).

Bununla birlikte, PEKK ile yapılan restorasyonların marginal ve iç uyumu konusunda herhangi bir araştırma yapılmamıştır. Marginal ve internal uyum zayıf olduğunda, plak birikimi, periodontal yıkım, diş çürüğünün nüksetmesi ve sonuç olarak restorasyonun başarısızlığı ortaya çıkabilir. Bu nedenle, protezlerin uzun süreli başarısında önemli bir rol oynamaktadır (Kim ve dig. , 2013a; Song ve dig. , 2013; Hamza ve dig. , 2013).

Metal-seramik kronlar başarılı bir tedavi yöntemidir (Najeeb, 2016). 1990'ların başlarından beri titanyum alt yapılar altın ve diğer metal-seramik alaşımlarına alternatif olarak kullanılmaktadır (Wang ve Fenton , 1996).

Titanyum, kronlar veya sabit kısmi protezler (FPD) için bir altyapı olarak (coping) kullanılır (Wang ve Fenton , 1996). Düşük malzeme maliyetleri, iyi mekanik özellikler, düşük termal iletkenlik ve biyolojik uyumluluk altın alaşımına alternatif olarak titanyumun çekici bir materyal olmasını sağlamaktadır (Wang ve Fenton, 1996; Tschnitschek ve dig. , 2005).

Titanyumla ilgili ilk üretim problemi, bir döküm metali olarak yüksek derecede erimiş titanyumun revetmana afinitesi nedeniyle yüzeyde reaktif bir tabakanın (alfa kutup) oluşmasıydı (Takahashi ve dig. , 1990). Bu, seramiklerin titanyuma yetersiz bir şekilde bağlanması neden olmakta ve dolayısıyla klinikte başarısızlıklar ortaya çıkmasına sebep olmaktadır (Kaus ve dig. , 1996; Walter, 1994). Ayrıca, döküm titanyum restorasyonlar işlenmiş titanyum restorasyonlardan korozyona daha duyarlıdır (Tschnitschek ve dig. , 2005). Buna ek olarak, ince ve kırılgan mum kron bölgelerini dökmek, titanyumda zordur. Ayrıca ayrı kısımları kaynakla birleştirmek de zordur (Kononen ve Kivilahti , 2001). Amerikan Dişhekimleri Birliği (ADA) Bilimsel Çalışma Konseyi, döküm titanyum dental restorasyonlarında başarıyı sağlamak için teknik ve laboratuvar işlemlerinde dikkatli olunmasını bildirmektedir (Affairs., 2003).

Bu tür doğal sorunları önlemek için diş laboratuvarına yönelik ticari olarak özel imalat yöntemleri geliştirildi (Wikowski, 2005). Şu anda, daha iyi kontrollü döküm prosedürlerine ek olarak, altyapılar endüstriyel prefabrike bloklarından makineler kullanılarak kazınabilir veya kazıma tekniği ile birlikte elektron boşaltımıyla üretilmekte (Andersson ve dig.1989).

Bu, değiştirilmiş bilgisayar sayısal kontrol (CNC) donanımı veya bilgisayarla destekli tasarım / bilgisayar destekli imalat (CAD / CAM) sistemleriyle yapılır.

Bu şekilde üretilen alt yapıların özellikleri, yüzeyde reaktif bir katman olmaksızın titanyumun ince ve homojen yapısı ile karakterizedir (Wang ve Fenton , 1996).

Kronların ve FPD'lerin marginal doğruluğu klinik bir endişe kaynağıdır. McLean ve von Fraunhofer, kron marginal uyumsuzluklarının simantasyondan sonra 120 mm'ye kadar değişim能力和ını ve yine de klinik olarak kabul edilebilir olduğunu belirttiler. (McLean ve Von Fraunhofer , 1971). Çeşitli araştırmalar titanyum seramik kronlar için 120 mm'lik marginal açıklık elde edebildiğini göstermiştir (Blackman ve dig. , 1992; Ortorp ve dig. , 2003; Leong ve dig. , 1994).

Suarez ve arkadaşları, döküm ve veneer kronların simantasyonundan sonra ortalama 128 mm'lik bir marginal boşluk bildirdiler (Van Noort, 2013). Makine tarafından imal edilen titanyum kronların doğruluğuna ilişkin çeşitli araştırmalar, klinik olarak kabul edilebilir marginal uyumsuzluklarını göstermiştir. (Blackman ve dig. , 1992)

Altyapının uygunluğunu artırmak için manuel ayarlamanın gerekliliği genel olarak kabul edilmektedir; Bununla birlikte, daha önce bahsedilen araştırmalardan hiçbir, titanyum kaplamalar için üretim sürecinin ara aşamalarında marginal doğruluk hakkında bilgi sağlamamaktadır ve bu nedenle veri temelli kanıt mevcut değildir (Blackman, 1992; Ortorp, 2003; Leong, 1994).

Diş laboratuvarında metalik restorasyonların üretimi geleneksel olarak kayıp mum döküm tekniği ile gerçekleştirılmıştır (Blackman ve dig. , 1992). Dental döküm alaşımları, NiCr ve CoCr alaşımları gibi soy alaşımlara ve baz metal alaşımlarına ayrılabilir (Huang ve dig. , 2015; Pimenta ve dig. , 2015; Kane ve dig. , 2015; Nesse ve dig. , 2015; Sakaguchi, 2012). NiCr ve CoCr alaşımları metal seramik restorasyonlar için kullanılabilir, ancak CoCr alaşımları nikel alerjik olduğu bilinen hastalar için tercih edilmektedir (Kane ve dig. , 2015; Wataha ve dig. , 2004; Roberts, 2009). Bununla birlikte, CoCr döküm alaşımının yüksek erime derecesinden dolayı dökümden önce yüksek sıcaklıklara ısıtılması gerekmektedir. Bunun diş laboratuarında manipüle edilmesi zordur (Van Noort, 2013; Huang ve dig. 2015; Roberts, 2009).

Bilgisayar destekli tasarım ve bilgisayar destekli imalat (CAD-CAM) prosedürlerinin geliştirilmesi, otomatik üretim süreçlerini başlattı (Kane ve dig. , 2015; Nesse ve dig. , 2015; Seker ve dig. , 2016; Koutsoukis ve dig. , 2015; Jang, ve dig. , 2015). Eksiltici imalat üzerine kurulu CAM kazıma üretimi,

geleneksel döküm tekniği ile birlikte diş restorasyonlarının üretimi için piyasaya sürüldü (Kane ve dig. , 2015; Nesse ve dig. , 2015; Koutsoukis ve dig. , 2015; Krug ve dig. , 2015). Bundan sonra diş protezlerinin imalatı için eklemeli üretim kullanımını başlamıştır. Çeşitli eklemeli tekniklerinden seçici lazer eritme (SLM) ve seçici lazer sinterleme giderek diş protezlerinin üretimi için kullanılmaktadır. (Kane ve dig. , 2015; Koutsoukis ve dig. , 2015; Van Noort, 2012)

SLM, odaklanmış bir lazer ışını kaynağı vasıtasyyla ince metal katmanlarını kaynaştırarak 3 boyutlu (3D) CAD modelinden doğrudan metal bileşenleri üretir (Kane ve dig. , 2015; Nesse ve dig. , 2015; Koutsoukis ve dig. , 2015; Kim ve dig. , 2013a). Dental restorasyonların imalatı için bir diğer yeni gelişme, yumuşak (önceden preslenmiş) bir bloğun kazınması ve ardından kazınmış protezin tam yoğunluğa kadar sinterlenmesini içeren bir prosedürdür. (Stawarczyk ve dig. , 2014; Kohorst ve dig. , 2009)

SLM'de dahil olmak üzere bu teknikler, mevcut tüm diş hekimliği alaşımlarından restorasyon üretebilse de, diş hekimliği araştırmaları CoCr alaşımına odaklanmıştır. Diş hekimliğinde bu yeni CAD-CAM tabanlı teknikler, geleneksel döküm tekniğinin yerini alabilir (Koutsoukis ve dig. , 2015).

İyi kenar uyumu sabit diş restorasyonlarının uzun vadeli başarısında önemli bir faktördür, çünkü plak birikimi, tekrarlayan çürük ve periodontal hastalıkları minimize eder. CAD-CAM teknolojisiyle imal edilen restorasyonların doğruluğu, döküm gibi diş protezi üretimi süreçlerinde tutarlı olmayabilir (Nesse ve dig. , 2015; Seker ve dig. , 2016; Quintas ve dig. , 2004). Bununla birlikte, yeni üretim teknikleriyle imal edilen alaşımların marjinal farklılığı ile ilgili sınırlı bilgi mevcuttur.

Marjinal uyumu ölçmek için her biri avantaj ve dezavantajlara sahip olan çeşitli yöntemler önerilmiştir. Bunların arasında kron iç yüzeyi ve diş dış yüzeyleri arasında bir silikon ölçü malzemesi ile yapılan uyumsuzluk kopyalarını kullanan silikon replika tekniği, marjinal uygunluğu değerlendirmek için sıkılıkla kullanılmıştır (Van Noort, 2013; Kane ve dig. , 2015; Nesse ve dig. , 2015; Quante ve dig. , 2008).

Bu teknikin eksiklikleri, ölçüm alanındaki silikon materyal kusurları ve mikroskop ile film kalınlığının değerlendirilmesindeki hatalardır. Mikro bilgisayarlı tomografi (mCT), nesnenin birden çok projeksiyonunu yaparak nesnenin iç yapısının tahribatsız olarak özel yazılım ile görselleştirilmesini ve ölçülmesini sağlar (Pimenta ve diğ. , 2015).

Diş kronlarının klinik başarısı için hassas kenar ve iç uyumu en önemli ölçütlerden biridir. Kronlar için aşırı marjinal uyumsuzluk siman çözülmesci ve mikro çatlakları arttırm ve canlı pulpanın iltihaplanması neden olabilir (Bindl ve Mörmann , 2005). Kronların zayıf marjinal adaptasyonu, plak retansiyonunu arttırm ve subgingival mikroflora kompozisyonunu değiştirir ve periodontal hastalığın ortayamasına neden olabilir. (Valderhaug ve Birkeland , 1976; Valderhaug ve Heloe , 1977)

Dental kronların ve sabit kısmi protezlerin kabul edilebilir marjinal boşluğu konusunda önemli bir anlaşmazlık vardır. McLean ve Von Fraunhofer, 100 μm 'lik bir boşluğun tolere edilebilir olduğunu ve klinik koşullar altında 80 μm 'den küçük kenar farklılıklarının bulunmasının zor olduğunu belirtti (McLean ve Von Fraunhofer , 1971). Kashani ve arkadaşları, 100 μm 'den büyük marjinal açıklıkların kabul edilemez olduğunu düşünüyor (Kashani, ve diğ. 1981).

Oysa Blackman ve ark. göre kabul edilebilir bir aralık 50 μm 'den fazla olmamalıdır (Blackman ve diğ. , 1992). Bindl ve Mörmann, farklı tam seramik CAD / CAM kron altyapılarının chamfer preparasyonları üzerindeki marjinal ve internal boşluk genişliğinin ikisini de değerlendirmiş ; marjinal boşluk genişliği için 17 μm 'den 43 μm 'ye, iç boşluk için 81 μm 'den 136 μm 'a kadar değişen sonuçlar bildirmiştir (Bindl ve Mörmann , 2005).

Kokubo arkadaşları yakın zamanda, seramik kronlar için kısmi marjinal boşlukları belirlemek için siman yerine light-body silikonu kullandı. (Kokubo ve diğ. , 2005) McLean ve von Fraunhofer daha önce siman film kalınlığını hesaplamak için light-body bir silikon kullandı, diş kronlarının iç uygunluk değerlendirmesi için light-body silikonunun kullanılması uygun bir yöntem olduğunu bildirdiler. Çünkü, sertleşmiş siman bölgesinin 3 boyutlu hacmi için siman miktarının kısmi ölçümü elde edilmiştir (McLean ve Von Fraunhofer ,

1971). Nakamura ve ark., May ve arkadaşları iç boşlukları ölçmek için test silikonunu kullanmıştır (Nakamura ve diğ. , 2003; May ve diğ. , 1998).

Bu belirtilen bilgiler ışığında CAD / CAM teknolojisi için üretilen prefabrike PEKK, CrCo, Zr, Ti bloklardan elde edilen altyapıların ve selektif laser teknolojisi elde edilen altyapıların internal ve marjinal uyumlarını inceleyen, gerçek siman aralığını ölçen bir araştırmaya rastlanılmamaktadır.

Diş kronlarının klinik başarısı için hassas marjinal ve internal uyum en önemli ölçütlerden biridir. Kronlar için aşırı marjinal uyumsuzluk siman çözümnesini ve mikro çatlakları artırrı ve canlı pulpanın iltihaplanması neden olabilir. Kronların zayıf marjinal adaptasyonu, plak retansiyonunu artırrı, subgingival mikroflora kompozisyonunu değiştirir ve periodontal hastalığın ortaya çıkmasına neden olabilir.

Boş hipotezimiz (null) (H_0) : “ Kullanılan farklı üretim tekniklerine ve CAD / CAM bloklarına bakılmaksızın, CAD / CAM kazıma ve DMLS yöntemiyle elde edilen altyapılar arasında önemli derecede farklı marjinal ve internal aralık değerlerinin yokluğuudur.”

Araştırmamız sonuçları farklı CAD / CAM bloklarından ve DMLS (Selective Laser Sintering) yöntemiyle elde edilen alt yapıların birbirlerine karşı avantaj ve dezavantajlarını ortaya koyacak, yapılacak olan uzun dönem başarılı kron protezleri için rehber bilgiler sağlayacaktır.

2. GENEL BİLGİLER

2.1 CAD /CAM Sistemlerinin Gelişimi

İlk dental CAD / CAM (Bilgisayar Destekli Tasarım, Bilgisayar Destekli Üretim) restorasyonunu 1983'te Dr. Duret tarafından yapıldı (Priest, 2005). 1985'de Fransız Dişhekimleri Birliği'nin uluslararası kongresinde bir saatten daha kısa bir sürede karısına bir posterior kron yaparak sistemini gösterdi (Preston ve Duret, 1997). Dr. Duret daha sonra Sopha sistemini geliştirdi.

İlk ticari olarak CAD/ CAM sistemini geliştiren kişi Dr. Mormann 'dır. Optik olarak dişleri taramayı düşünen elektrik mühendisi Dr. Marco Brandestini ile görüştü. 1985 yılında, ekip optik tarayıcı ve freze cihazının bir kombinasyonu kullanılarak ilk hasta başı inley yapımını gerçekleştirdi. Onlar bu cihaza CEREC (bilgisayar destekli seramik rekonstrüksiyonu) adını verdiler (Mormann, 2006). 1980'lerin ortasında Dr. Rekow Minnesota Üniversitesi'nde arkadaşlarıyla, dental CAD / CAM sistemi üzerinde çalıştı. Bu sistem, fotoğraf ve yüksek çözünürlüklü bir tarayıcı kullanarak veri elde etmek ve 5 eksenli bir makineyi kullanarak restorasyonları üretme üzere tasarlanmıştır (Rekow D. , 1987). Dr Andersson, kronların yüksek hassasiyetle yapımı için Procera (şimdi Nobel Procera, Nobel Biocare, Zürih, İsviçre olarak bilinen) üretim yöntemini geliştirdi (Nobelbiocare., 2010). Dr. Andersson, ilk kompozit veneer restorasyonu yapan kişidir (Andersson ve diğ. , 1996).

Bu teknoloji ilk olarak, inley onley ve tek kronların yapımına izin verdi. Daha sonra sabit bölümlü protezler ve implant protezlerin yapımını olanaklı hale getirdi. Diş hekimliğinde CAD/ CAM 'ın bir diğer kullanım alanı da ortodontidir. Buna örnek, dişleri düzeltmek için CAD / CAM ile üretilmiş takılıp çıkarılabilir şeffaf apareylerden oluşan Invisalign (Align Technology, Inc, Santa Clara, CA, USA) sistemidir. CAD/ CAM sistemlerinin, diş kliniklerinde kullanımı zaman geçikçe artmaktadır. Dünya çapında 30.000 'den fazla diş hekiminin kendine ait tarayıcı ve kazıma makineleri bulunmaktadır.

Bunların 10.000 yakını Kanada ve Amerika'dadır. Dünya çapında yalnızca 15 milyondan fazla CEREC sistemi kullanılarak imal edilmiş restorasyon bulunmaktadır (Sirona, 2011).

Diş hekimliğinde geçtiğimiz 10 yıl içerisinde bilgisayar destekli dizayn ve üretim hızla gelişti. Çeşitli sanallaştırma ve tarama sistemlerinin diş hekimliğine girişinin hızlanmasıyla kullanım oranı arttı (Van Noort, 2012). Bununla birlikte CAD / CAM teknolojisinin hızla gelişmesi, polimerik matriks içeren yeni gelişmiş materyallerin ve polikristalin seramiklerin üretimini sağlamıştır (Ruse ve Sadoun , 2014; Denry ve Kelly , 2014). CAD / CAM, arka dişler için çeşitli materyallerden klinik sonuçları kabul edilir restorasyonların yapımını sağlamıştır. (Batson ve dig. , 2014) CEREC sistemle üretilmiş restorasyonlar için başarı 5 yıl için % 97 , 10 yıl için % 90 olarak rapor edilmiştir (Fasbinder, 2013). Son zamanlarda blok halinde farklı kimyasal ve fiziksel özelliklere sahip materyaller kullanıma girmiştir. Yüksek sertlik ve dayanım değerlerine sahip olan yoğun seramikler henüz istenilen elastiklik modülüne sahip değildir. Çünkü onların elastiklik modülü dental dokulardan daha yüksektir. (Ruse ve Sadoun , 2014)

2.2 CAD / CAM Sistemi

CAD / CAM 'in hızlı gelişimi, özellikle protetik ve restoratif diş hekimliği alanları başta olmak üzere tüm diş hekimliği branşlarında oldukça büyük bir etki yaratmıştır. Bu teknolojik sistemlerin yüksek mukavemetli seramiklerden zirkonyum gibi biyomateryallerdeki ilerlemelerle birlikte kullanımı, diş hekimliği eğitimi ve hasta tedavileri için büyük değişimlere yol açmıştır. Dişhekimliğinin tüm alanlarında, maliyet, zaman verimliliği ve en önemlisi postoperatif klinik tedavi sonuçlarının öngörülebilirliği açısından değişimlere sebebiyet vermiş ve verecektir. (Arias ve dig. , 2013; Lin ve dig, 2015)

Günümüzde CAM / CAD restorasyonlar, restorasyonun yapılacak alandan verilerin optik veya lazer tarayıcılar kullanarak bilgisayar ortamına aktarılarak modellenmesi, daha sonra bilgisayarlı freze sistemiyle hazır seramik blokların aşındırılmasıyla üretilmektedir. CAD/ CAM sistemi dişhekimliğinde iki yönlü olarak ilerlemiştir. Birincisi görüntülemenin ve restorasyonun tek seansda yapıldığı hastabaşı sistemler, ikincisi modelleme ve restorasyonun

laboratuvarlarda yapıldığı sistemlerdir (Strub ve diğ. , 2006). CAD / CAM teknolojisinin avantajları, dijital ölçü, dijital model, sanal artikülör ve yüz arkı olmak üzere, üç ana başlık halindedir (Zandparsa, 2014).

Ayrıca protetik tedavi, hasta, öğrenci klinisyen, fakülte klinisyeni ve ticari laboratuvarları içeren çoklu, ardışık tekniklerinin karmaşık bir entegrasyonu haline gelmiştir.

2.3 CAD / CAM Sisteminin Bileşenleri

Tüm CAD / CAM sistemleri üç bileşenden oluşur:

1) Sayısallaştırma Aracı / Tarayıcı

- a) Optik tarayıcılar,
- b) Mekanik tarayıcılar.

2) Yazılım

3) Bir üretim makinesi

CAD / CAM sistemini oluşturan bölümler:

1- Verinin hazırlanması : Restorasyonun yapılacak olduğu alandan, komşu ve karşıt yapılardan verinin toplanması ve daha sonra bunları sanal ölçülere dönüştüren bir veri toplama birimi (tarayıcı sistem) (klinik için CAD / CAM veya klinik için CAD veya görüntü yakalama sistemleri) veya indirekt olarak geleneksel bir alçı modelden görüntü sağlayarak sanal ölçüler oluşturulmuş tarayıcı sistemi ifade eder.

2- Yazılım: Sanal bir çalışma modeli üzerinde restorasyonun sanal olarak tasarılanması ve üretim için freze parametrelerinin girilmesinde kullanılan yazılım

3-Üretim: Sert bir restoratif blok materyalinden restorasyonun yapılabilmesi için bir bilgisayarlı freze makinesi veya eklemeli imalat ile üretim yapan makinedir.

CAD / CAM sistemleri, laboratuvar sistemleri ve hastabaşı sistemleri olarak sınıflandırılmıştır. Laboratuvar sistemi ayrıca, kendi tarayıcı ve frezeleme ünitelerine varlığına göre sınıflandırılır. (örn. Amann Girbach, 3M ESPE,

Sirona Dental Sistemler, Zirkon Zahn, vhf camfacture AG, Weiland Dental, Pou-Yuen ve U- En iyi Dental, Planmeca, KaVo Dental, Dentsply Prosthetics)

CAD (Bilgisayar Destekli Tasarım) sistemlerde sadece tarayıcı var iken CAM (Bilgisayar Destekli Üretim) sistemler milleme (kazıma) ünitesine sahiptir.

Hastabaşı CAD / CAM sistemleri ayrıca;

(1) Kendi tarayıcı ve freze üniteleri bulunan hasta başı CAD / CAM sistemleri (Sirona ve Planmeca).

(2) Sadece tarayıcı içeren, görüntü almaya yarayan, tasarım özellikleri olmayan sistemler (örn. True Definition Scanner, 3M ESPE; iTero, Align Technology, Inc; Trios, 3Shape; Apollo DI, Sirona; CS 3500, Carestream Dental LLC). Bunlar, restorasyonun tasarlanması için açık bir laboratuar tarayıcısına bağlanmalıdır.

CAD / CAM sistemler ayrıca veri paylaşımına göre açık ve kapalı olarak sınıflandırılabilir (Tapie ve dig. , 2005).

Kapalı sistemler, aynı şirket tarafından veri toplama, sanal tasarım ve restorasyon üretimi dahil tüm CAD / CAM prosedürlerini sunmaktadır. Ayrıca, tüm adımlar tek bir sisteme entegre edilmiştir ve diğer şirketlerin farklı sistemleri arasında değişebilirlik yoktur. Açık sistemler, orijinal dijital verilerin CAD yazılımı tarafından kullanımına ve farklı firmaların CAM cihazlarına uyarlanmasıını sağlar.

Laboratuvar CAD sistemleri her zaman açık bir sistem olmalıdır, çünkü veriler toplanıp ve restorasyon tasarlandıktan sonra, veriler bir STL dosyasında (STEReoLithography veya Standard Tessellation Language) saklanmalıdır. Ancak, birçok üretici kendi veri formatlarını kullanmaktadır. Bu sebepten, restorasyon programlarının verileri birbirleriyle uyumlu olmamaktadır (Zimmermann ve dig., 2015). Daha sonra restorasyonun üretileceği bir laboratuvar CAD sisteminden, bu tip STL dosyasını kabul eden açık bir laboratuar CAM sistemine gönderilir. Ek olarak, görüntü alma birimi her zaman açık bir sistemdir ve nihai restorasyonun STL dosyası için açık bir laboratuvar CAD sistemi tarafından tasarım için kabul edilebilir olmalıdır. Daha sonra restorasyon ve modelin üretimi için açık CAM sistemine gönderilir.

İmplant bar veya tutucuları gibi karmaşık restorasyonların imal edilmesi planlandığında, model açık laboratuvar CAD / CAM veya laboratuar CAD sistemleri yoluyla taranmış olmalıdır. STL dosyası farklı üretim merkezine restorasyonun tasarım ve üretimi için (örneğin InfiniDent, Sirona; Procera) gönderilir (Nobel Biocare, Lava, 3M ESPE, TurboDent, Pou-Yuen ve U-Best Dental, Ceram M-merkezi, Amann Girrbich, Plan EasyMillTM, Planmeca).

Ayrıca, dijital modelin, dişlerin intraoral olarak taranmasıyla üretilmesi amaçlandığında, görüntü alma biriminin veya hastabaşı açık CAD / CAM sisteminin STL dosyası, freze (kazıma) veya ekleme teknolojisi ile üretilerek dijital model için bir farklı laboratuvara gönderilebilir (Tariq ve dig. , 2016).

2.3.1 Tarayıcıların sınıflandırılması

Ağız içi tarayıcılar

İtraoral kameralar, optik tarayıcılar iki tipe ayrılabilirler: (Zimmermann ve dig. , 2015; Ting-Shu ve Jian , 2015; Abdel-Azim ve dig., 2015)

1-Dişlerin tek tek görüntülerini kaydeden tek görüntülü kameralar. iTero (Hızalama Teknolojisi), PlanScan (Planmeca), CS 3500 (Carestream Dental LLC) ve Trios (3 shape) kameralar, tek bir görüntüde üç diş kaydeden tek görüntülü kameralardır. Diş arkının daha geniş bölgelerini kaydetmek için, yazılım programı bunları daha büyük bir üç boyutlu sanal modele aktarabilisin diye bir dizi örtüşen ayrı ayrı görüntüler kaydedilir. Sadece oklüzal bir görüntü elde edildiğinde, kameranın ulaşamadığı, kontur yüksekliğinin altındaki verilerin doğru bir şekilde kaydedilmesini sağlamak için kamera farklı açılarda konumlandırılır. Örtüşen görüntülerde kamera tarafından görüntülenmeyen bu alanlar, yazılım programı tarafından tahmin edilir ve sanal moddaki eksik veri alanları doldurulur.

2-True Definition tarayıcı (Lava Chairside Oral Scanner, COS'un en yeni sürümü), Apollo DI (Sirona) ve OmniCam (Sirona) sistemleri tarafından kullanılan video kameralar.

Laboratuvar tarayıcıları

(1) Kameranın, dijital algılayıcısına kaydettiği diş yapıları üzerinde, belirli açı altında faz değişimiyle meydana gelen ışık karelerinin ölçümünün yansımmasını

kullanan optik tarayıcılardır. Bilgisayar, diş yapısının 3D verilerini derinlik modülasyonlu ölçüm karelerinin görüntüsünden hesaplar.

(2) Tarayıcı ile (örneğin, Nobel Biocare'den Procera Scanner), 3D ölçümleri elde etmek için bir yakut top yardımıyla bir ana modeli mekanik olarak okuyabilen mekanik tarayıcılar.

Tarama için protokol:

Sisteme bağlı olarak, klinisyen nihai restorasyonu oluşturmak için intraoral olarak iki tarama seçeneğine sahiptir:

1-Preoperatif tarama : Mevcut anatomik konturu ve okluzal düzlemleri nihai restorasyona dahil etmeyi sağlayan preoperatif taramadır.

2-Postoperatif tarama : Preparasyonun, sadece CAD tasarımı ile elde edilen görüntüdeki seçilmiş veri noktalarından tahmin edilen ve bilgisayar veri tabanında yer alan diş anatomik tasarımlarının var olduğu bir iç kütüphanesi ile birleştirilebilen postoperatif taramadır.

Destek diş klinikte standart preparasyon kurallarına göre hazırlanır. (Podhorsky ve diğ. , 2015). Preperasyon kenarları, bir diş ipi (kord) retraksiyon tekniği (çift veya tek kord teknikleriyle retraksiyon kordlarının kullanımı) veya diş ipsiz retraksiyon tekniği (Expasyl, Kerr; Racegel, Septodont; Traxodent, Premier; GingiTrac, Centrix) ile aşağı çıkartılabilir. Kenar boşluğu açıldıktan sonra operatör, tarayıcı tarama ucunu, görüntülerin yakalanması için üreticinin sıralı protokolüne bağlı olarak, dişin üzerinde birden fazla yönde kaymasını sağlamak için kontrolü harekete geçirir; çünkü çoğu sistem, doğru tarama sonuçları elde etmek için belirli bir tarama yoluna ihtiyaç duyar. Hazırlanan dişin taranması tamamlandıktan sonra, karşıt çenenin antagonistleri aynı şekilde taranır.

Bir CAD / CAM restorasyonunun yapılabilmesine yönelik bilgiler, son ölçü veya çalışma modelinden de ağız dışında edinilebilir. Ek olarak, bazı tarayıcılar titanyum abutment gibi parlak, yansıtıcı bir yüzeyden görüntüyü kaydedebilirken, diğer tipler opak bir toz gerektirir (Alghazzawi ve diğ. , 2015). Restorasyonu son haline getirebilmek için dişten görüntü transferi dört yöntemle sağlanabilir. Bunlar;

Yöntem 1: Herhangi bir model olmaksızın dişlerin ve implantların taranmasını içerir,

Yöntem 2 : Dişlerin taranmasını ve dijital modellerin üretilmesini içerir,

Yöntem 3 : Fiziksel bir ölçü artı taramayı içerir

Yöntem 4 : Fiziksel bir ölçü alımını ve elde edilen alçı modellerin taranmasını içerir.

Yöntem 1'de dişler ve implantlar dahil olmak üzere maksiller ve mandibular arkalar intraoral tarayıcı veya görüntü sağlama birimi kullanılarak taranır.

Sanal interokluzal kayıt, hasta maksimum interküspidasyon iken ve bu statik pozisyondaki karşıt arktaki dişlerin bukkal tarafı taranarak elde edilir. Bu yöntem çoğunlukla sadece monolitik restorasyonlar için belirtilmiştir (Cunha ve diğ. , 2015; Schmitter ve diğ. , 2012; Kurbad ve Kurbad, 2013).

İmplant üstü kronlar için, optik olan iyileşme abutmentleri doğrudan taranabilir veya diş hekimi implant üzerine yerleştirilmiş bir tarama gövdesini dijital olarak tarayabilir. Tarama gövdesi, implant pozisyonunun 3 boyutlu kaydını sağlayan taranabilir olan bir plastik veya metal kapaklıdır. (Rauscher, 2014; Lin ve diğ. , 2013).

Tüm intraoral tarayıcılar, implant tarama gövdelerini tarayabilir, ancak önemli olan, intraoral tarayıcının farklı implant üreticileri ile uyumluluğudur. Örneğin, Sirona CAD / CAM sistemi, Certain1 (harici bağlantı), Astra Tech OsseoSpeed ve Frialit / Xive gibi hastabaşı tarayıcı CEREC Omnicam ile implant abutmenti yapımı için tarama yeteneğine sahiptir. Gövde taraması yapıldıktan sonra, çene içinde implant seviyesinin konumu belirlenir ve kaydedilir. Bu 3D veri dosyası, kron tasarımları ve kazıma (milling) için kullanılabilir. Bu klinikte asistan veya diş teknisyeni tarafından, hastabaşı yapılabilir. Bir monolitik dayanak kronun yapımını içerebilir bu dosya kron veya abutment yapımı için CAD / CAM donanımlı laboratuar veya üretim merkezine gönderilebilir. Alternatif olarak, optik özelliklere sahip iyileştirme abutmentleri, bir intraoral tarayıcı ile taranabilir ve ölçü materyalleri, implant ölçü başlıklarları, analogları ve alçı olmadan implant abutmentleri ve siman tutuculu restorasyonlar yapılabilir (Nayyar ve diğ. , 2013).

Yöntem 2'de, bu yapım metodu poliüretan çalışma modellerinin üretilmesine izin verir. Maksiller ve mandibular intraoral taramanın ardından bir görüntü alma birimi veya CAD / CAM sistemi kullanılarak dişler ve implantlar içeren arkalar taranır. Görüntüler bir CAD dosyası kullanılarak laboratuvar CAD sistemine veya dışarıdaki üretim merkezine elektronik olarak iletilir. Daha sonra poliüretan çalışma modelleri frezeleme veya eklemeli imalat ile üretilir. Çalışma modelleri yapıldıktan sonra üst çene modeli bir facebow kullanarak artikülatöre monte edilir ve mandibular model bir standart fiziksel interokluzal kayıt kullanılarak üst çene modeline uygun şekilde artikülatöre bağlanır. Kullanılan laboratuvar tarayıcının türüne bağlı olarak, alt ve üst çene modelleri artikülatöre alındıktan sonra laboratuvar tarayıcısı içine yerleştirilir veya alt ve üst çene modelleri transfer kiti ve plağı ile artikülatörden transfer edilip, tarama sistemi içine yerleştirilir. Bu yöntem poliüretan modellerin avantajlarından dolayı en iyi kabul edilir. (Anadioti ve diğ. , 2015; Patzelt ve diğ. , 2014)

Yöntem 3'te sadece dişleri içeren ölçüler, bir laboratuvar tarayıcısı ile taranır. Standart bir interokluzal kayıt da elde edilir. Bu yöntem ikili bir seçenek sunar. İlk seçenek, fiziksel kaydın 3D sanal modelleri elde etmek için ölçünün taranmasıdır; ve ikinci seçenek, yöntem 2 ile aynı protokolü izler. Bu yöntem, restorasyonun kenar doğruluğunu, ölçüden taramanın artırdığını kanıtlayan herhangi bir literatür olmadığı için tavsiye edilmez ve preparasyonda bir undercut varsa doğruluk oranı azalabilir. (Anadioti ve diğ. , 2015)

Yöntem 4'te, alınan ölçüler dişler ve implantlar da dahil olmak üzere alçı ile dökülür. Maksiller ve mandibular modeller iki farklı protokolle kullanılabilir. (Anadioti ve diğ. , 2015; Patzelt ve diğ. , 2014; Nam ve Tokutomi , 2015; Mehra ve Vahidi , 2014)

(A) Maksiller model, bir yüz arkı kullanarak artikülatöre monte edilir ve mandibular model, fiziksel bir interokluzal kayıt kullanılarak üst modele monte edilir. Bir kez daha, kullanılan tarayıcı tipine bağlı olarak, fiziksel artikülatör, monte edilmiş maksiller ve mandibular modeller ile laboratuvar tarayıcısı içine yerleştirilir veya alt ve üst çene modelleri artikülatörden transfer kiti ve plağı ile laboratuvar tarayıcısı içine transfer edilir.

(B) Üst ve alt çene modelleri interokluzal kayıt olmaksızın laboratuvar tarayıcı içine yerleştirilir. Tarama yapıldıktan sonra sanal artikülatörde sanal olarak kayda alınır. Bu yöntem, en yaygın kullanılan yöntemdir. Kron alt yapıları, iskeletler ve monolitik restorasyonlar için endikedir. Flugge ve ark., ağız içi tarayıcıyla (iTero) tarama yapmanın, tükürük, kan, hareketli dişeti ve dişlerin translüsenliği nedeniyle, laboratuvar tarayıcı (D250) ile taramadan daha az doğru olduğunu bildirmişlerdir. iTero ile yapılan intraoral tarama, iTero ile model taramasından daha az doğrudur (Flugge ve dig. , 2013).

Tedavi planlaması ve diş destekli apareylerin yapımı, için iTero ile oluşturulan sanal modeller kullanılabilir. Genişletilmiş bir tarama protokolü, bazı bölgelerde tarama sonuçlarını iyileştirebilir (Flugge ve dig. , 2013). İntraoral tarama, bilgisayarlı tomografi, konik-ışıklı bilgisayarlı tomografi ve ekstraoral yüzey taraması ile elde edilen veriler, implant tedavisi planlaması için birleştirilebilir, implantların mandibular kanal ve maksiller sinüs gibi anatomik yapılara göre uygun bir şekilde konumlandırılmasını sağlar (Yilmaz, 2015).

Sanal artikülatörler ve yüz arkları

Facebow (yüz arkı) üst çene modelinin uzayın 3 boyutlu düzlemdeki kondiller menteşe eksenile ilişkisinin, artikülatöre aktarılmasında kullanılır.Yüz arkı mekanik bir aygıttır. 3 nokta kullanılır 2 nokta arkada TME (temporomandibular eklem) lokasyonu içindir. Anterior referans noktası ise üst çenenin yatay düzleme dikey olarak ilişkisinin referans noktasıdır. Bu transfer büyük ağız rehabilitasyonu için önemlidir (Maestre-Ferrin ve dig. , 2012). Transfer iki yöntemle yapılabilir. CAD / CAM sanal artikülatör tam ayarlanabilir bir mekanik artikülatörü taklit eder.

Birinci yöntemde, mekanik yüz arkı hastaya adapte edilir ve ardından maksiller model artikülatöre bağlanılır. Sıklıkla alt ve üst çene modelinin bağlı olduğu mekanik artikülatörün sanal artikülatöre aktarımı yapılır (örneğin, Ineos X5 Sirona) ya da üst çene ve alt çene modelleri bir transfer parçasıyla (Ceramill map400, Amann Girrbach) veya plağı (ör. D2000, 3 Shape) ile sabitlenerek yapılır. Bu laboratuvar tarayıcısının türüne bağlıdır. Bu yöntem tam protezler için kullanılamaz.

Bazı firmaların CAD / CAM sistemi için klasik sanal bir artikülatörleri vardır. Pratikte bu uygulamayı kullanan şirketler Amann Girrbach, Smart Optics ve Zirkonzahn'dır. Bu nedenle, mekanik artikülatörlerin seçimi laboratuvar tarayıcısının tipine bağlı olmalıdır. Restorasyonların üretilmesinden sonra küçük post-operatif ayarlama için aynı tipte artikülatöre uyan ve artikülatöre özgü karşılık gelen transfer mekanizmasının veya plakanın bulunduğu laboratuvar tarayıcısı olmalıdır. Bu yöntem, altyapılar, iskeletler, katmanlı restorasyonlar veya eklemeli teknolojinin kullanılması amaçlandığında kullanılır.

İkinci yöntem, sanal artikülatöre maksiller modelin tam konumunu aktarmak için kafa üzerindeki enine yatay eksenlerde altı noktaya tarama yaparak tersine mühendislik temelli optik tarama ve yeni metodoloji kullanılarak sanal bir yüz arkı gerçekleştirilebilmesidir. Maksiller ve mandibular ark, bilgisayara bağlı bir optik tarayıcı (intraoral tarayıcı) ile taranır. Yatay düzlem oluşturmak için hasta kafasında (temporomandibular eklemlerde iki nokta ve sol gözün hemen altındaki infraorbital noktası) üç ekstremité noktası belirlenir. Daha sonra, üst çene dişlerine yerleştirilen yüz arkının düz metal ısimra çatalına artikülasyon kağıdı yerleştirilir ve okluzal düzlemi oluşturmak için üç adet intraoral nokta (en belirgin tüberküller) belirlenir. Altı nokta toplamı, hastanın kraniyal koordinat sisteminin sanal artikülatörün kraniyal koordinat sistemine denk geldiği farklı tersine mühendislik yazılımı ile bir kraniyal koordinat sistemi oluşturabilir. Bu nedenle, maksiller dijital model sanal artikülatör yazılımına aktarılır (maksiller modelin sanal artikülatöre sentrik okluzyon halinde sanal olarak monte edilmesi). Son olarak, hastanın ağını sentrik okluzyonunda kapatma talimatı verilir ve bukkal tarama (dijital okluzal kayıt) üç farklı yönden (sağ, sol, ön) yapılır. Alt çene merkezi okluzyonda sanal artikülatöre bağlanır (mandibular modelin maksiller modele sanal olarak bağlanması). Bu yöntem, sadece frezeleme ile imal edilecek tam kron restorasyonları için endikedir. (Solaberrieta ve dig. , 2015; Solaberrieta , ve dig. , 2013; Solaberrieta ve dig. , 2014a; Solaberrieta ve dig. , 2014b)

2.3.2 Tasarım yazılımı

Çeşitli türdeki diş restorasyonlarının tasarımları için üreticiler tarafından özel yazılım sağlanmaktadır. Farklı üreticilerin farklı yazılımları ile altyapılar ve

sabit bölümlü protez (FPD) iskeletleri, tam anatomik kronlar ve FPD’ler , inley, onleyler, veneerler, preperasyonsuz veneerler, FPD (sabit protetik restorasyonlar) ve gövdeler dahil olmak üzere çeşitli tasarımlar uygulanabilir. Fiziksnel modeller, post ve çekirdek, teleskoplar, özelleştirilmiş abutmentler ile teşhis mumlamaları, konumlandırma kılavuzları, implantlar, FPD ve barlar, cerrahi kılavuzlarla implant planlaması, çıkarılabilir bölümlü protezler, protez tasarımına uygun ölçü kaşıkları, splintler, model üretimi (kron ve FPD / İmplantlar), ortodontik apareyler tasarlanabilir.

Ön bölge restorasyonları, anterior rehberliği sağlamak için geçici restorasyon modellerinin bir kopya taraması ile üretilebilir. Bu sistemlerde, birden fazla diş morfolojisini kendi bünyesinde bulunan dijital kütüphanelerde mevcuttur. Bununla birlikte, bu CAD / CAM sistemleri tarafından sunulan genel diş morfolojisini formları sadece temel şekilleri sağlayabilir. Her bir hasta farklı olduğundan ve her dişin farklı olan kendi morfolojik özelliklere sahip olmasından dolayı her zaman bazı manuel değişiklikler ve modifikasyonların gerekliliği söz konusudur (Van Noort, 2012; Torabi K, 2015).

Alternatif yöntem, bir hastanın bireysel okluzal morfolojisini belirlemek ve taklit etmek için biyojenerik diş morfolojisinin veri tabanını kullanmaktadır. Dijital CAD modelin bilgisayar monitöründe görünmesi ile, dosyayı üretim sürecine iletmeden önce modelin kritik alanlarını değerlendirmek için üç boyutlu olarak döndürülebilir. Ayrıca, önerilen siman aralığı seçilebilir. Böylece farklı renklerle die-spacer’ın elle uygulaması ortadan kaldırılabilir (Mously ve dig. , 2014).

2.3.3 Dijital üretim süreçleri

Bu CAD / CAM sürecinin son aşamasıdır. Bir CAD modelinden hastanın ağızına yerleştirilmeden önce yapım, tesviye ve parlatma işlemeye tabi tutulan fiziksnel bir parçadan bir restorasyon üretimini içerir (Van Noort, 2012).

Bu restorasyonları imal etmek için kullanılan iki temel yöntem mevcuttur. Bunlar, çalışma (eksiltme ve kazıma) veya eklemeli üretim (Hızlı Prototip, RP veya 3D baskı) olabilir. Freze / işleme teknolojisi, büyük katı bloklardan madde eksiltme prensibine dayalı üretim teknolojisini kullanan bir restorasyon fabrikasyonudur. Bu teknoloji ile çalışan diş hekimleri ve teknisyenler, tüm

adımlarla istenilen geometriyi elde etmek için bilgisayar programı tarafından kontrol edilen bir kazıma ünitesini kullanır. Kazıma ünitesi malzemeyi mekanik olarak kesen keskin bir kesme aletine sahip takım tezgahlarının kullanıldığı işlemelere dayanan, bilgisayarlı sayısal kontrollü makinadır.

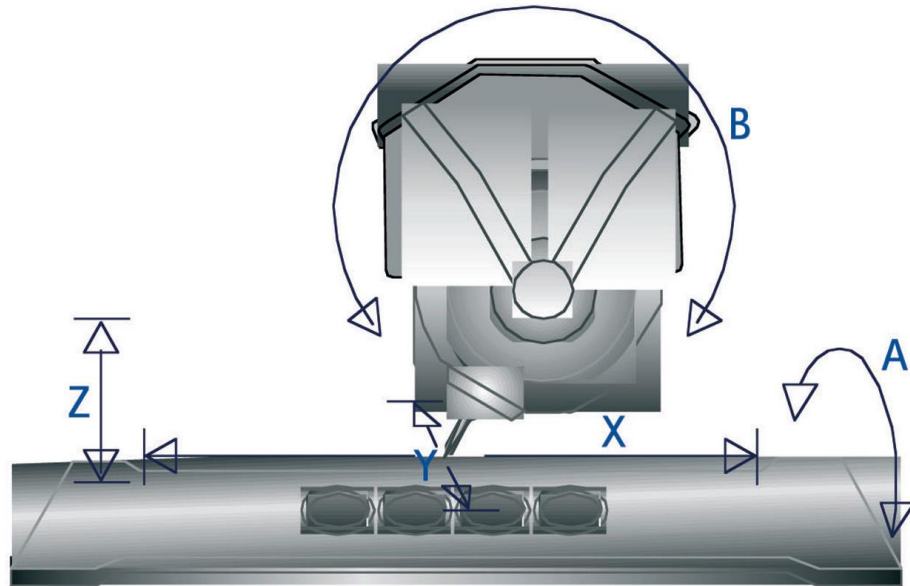
Kazıma üniteleri, iki sınıfa ayrılır:

(A) Kuru / Islak / kazıma ve aşındırma , kazıma malzemeleri, kuru bazıları da ıslak frezelemeye ihtiyaç duyur.

(B) Eksen sayısına göre (3 eksen veya 4,5 eksen)

4 eksenin ve 5 ekseninin her ikiside, farklı eksenlerde (X, Y, Z) doğrusal olarak yukarı ve aşağı hareket ederler. Ana fark, rotasyonların sayısıdır, blok / disk sadece X eksenleri etrafında dönebilir (A rotasyon), fakat 5 eksende, blok/disk X eksenini etrafında (A dönüşü) ve kazıma mili Y eksenini etrafında döner (B dönüşü). Ayrıca 5 eksenli frezeleme ünitesi ile frezelenmiş restorasyonların 4 eksenli frezeleme ünitesi ile frezelenmiş olandan hassasiyet oranı daha fazladır. Çünkü 5 eksenli frezeleme ünitesi tüm yönlerde undercut alanlarında kesme yapabilir. (Abduo ve diğ. , 2014) (şekil 2.1)

5 eksenli freze ünitelerinin hepsi, A ve B rotasyonlarının miktarındaki farklılıklardan dolayı aynı değildir. Daha küçük çaplı bir döner kesme aleti daha hassas bir frezeleme işlemine yol açar (Bosch ve diğ. , 2014). Frezeleme teknolojisinin ana dezavantajı, freze prosedürünün doğruluğu en küçük frez çapı tarafından belirlenir (Ortorp ve diğ. , 2011). Bu nedenle, kazıma frezinin çapından daha az olan herhangi bir yüzey detayından dolayı kazıma aşırı olacak ve restorasyonun tutuculuğunun azalmasına sebep olacaktır. Ofis içi ve laboratuar freze üniteleri arasında, frez sayısı, eksen sayısı (4 veya 5 frezeleme ekseni), ıslak / kuru, frezeleme / kazıma açısından fark vardır.



Şekil 2.1: Kazıma cihazının farklı çalışma eksenleri: 3 uzaysal yön X, Y ve Z (3 eksenli freze cihazları); 3 X, Y, Z eksenleri ve A rotasyonu (4 eksenli freze cihazları); X, Y, Z eksenleri , A rotasyonu ve freze mili B rotasyonu (5 eksen freze cihazları)

Anadioti ve arkadaşları lava dijital ölçü kullanarak yapılan preslenmiş kron grubundan elde edilen iç boşluğun ($0.211 \text{ mm} \pm \text{SD } 0.041$) diğer gruplardan elde edilenden anlamlı derecede daha yüksek olduğunu bildirmiştir. ($P < .001$) (Anadioti ve diğ. , 2015)

Ancak silikon ölçü kullanılarak yapılan preslenmiş kronlar ($0.111 \text{ mm SD } 0.047$), ile silikon ölçü kullanılarak CAD / CAM ile üretilmiş kronlar ($0.116 \text{ mm SD } 0.02$) ve lava dijital ölçü kullanılarak yapılan CAD / CAM kronlar ($0.145 \text{ mm SD } 0.024$) arasında anlamlı fark bulunmamıştır.

Eklemeli üretim, genellikle 3D model verilerinden nesneler oluşturmak için malzemelerin birleştirilmesi işlemi olarak tanımlanır, genellikle katman üzerine katman ilavesi söz konusudur (Keating ve diğ. , 2008). CAD tasarıımı tamamlandıktan sonra, çok kesitli görüntülere ayrılır. Malzemenin her bir milimetresi için, makinenin son şekli oluşturmak üzere kaynaştığı arka arkaya sıvı veya toz malzeme birleşiminden oluşturulan 5–20 katman vardır. Bunu, fazla malzemenin ve destekleyici çerçeveyin çıkarılması için arıtma izler. Bu tip imalatla ilgili temel sorun, yapım sırasındaki ve sonrasındaki büzülme ve tabakaların çok ince olmasından dolayı nihai model üretiminde farklılıkların olabilmesidir.

Doğrudan Metal Lazer Sinterleme (DMLS), StereoLithogrAphy (SLA), Tarama, Selektif Fotoküring (3SP), PolyJet ve Doğrudan Işık Projeksiyonu (DLP) dahil olmak üzere eklemeli üretim teknolojisine dahil edilebilecek çeşitli teknikler vardır.

Birincil fark, restorasyonların dikey bileşenlerini temsil eden Z düzleminin geliştirilmesi ile ilgilidir (Keating ve dig., 2008). Dijital bir model basmak, frezeleme işleminden daha hassastır, Nam ve Tokutomi (2015) ve geleneksel alçı modellerden daha doğrudur (Kim ve dig., 2014a).

Bununla birlikte, beş eksenli frezeleme kullanılarak bir implant cerrahi şablonunun üretimi, hızlı prototiplemeden daha doğru bir şekilde üretilmiştir (Park ve dig. 2014). İmplant vakalarında yumuşak doku modelleri için 3D yazıcı kullanılabilir ve implant analogunun yerleştirilmesi için soket hazırlanabilir. Ayrıca, sanal modele hasta adı ve kayıt numarası yazılabilir. Nihai kronun tasarımına bağlı olarak, dişhekiminin preparasyonun şeklini ve miktarını kontrol etmesine yardımcı olmak için bir hazırlık kılavuzu kolayca oluşturulabilir. Abutment tasarımını, kemik yapının görselleştirilmesiyle geliştirilebilir.

Çıkarılabilir bölümlü protez ile ilgili olarak, iskelet tasarımlı çalışma modeline çizilir ve daha sonra bir laboratuvar tarayıcısı kullanılarak taranır. Iskelet her zaman bir fotopolimerik iskelet olarak 3D yazıcıyla üretilir ve daha sonra krom kobalttan dökülebilir veya doğrudan metal lazer sinterleme yoluyla krom kobalttan yapılabilir. Tam protez dijital olarak üretilebilir; dijital protezlerin üreticilerine göre bazı klinik prosedürler yerine getirildikten sonra, tam protezler yapılır. (Bidra ve dig., 2013; Bilgin ve dig., 2015; Kattadiyil ve dig., 2013 ; Goodacre, ve diğerleri, 2012 ; Infante ve dig., 2014; Bidra, 2014; Yamamoto ve dig., 2014) Bazen tam protez üretiminde protez kaidesini kazınır ve daha sonra prefabrik protez dişler kazınmış protez kaidesinin (Weiland ve AvaDent) girintilerine bağlanır. Bazen de hem protez kaidesi hem de dişler bir ünite (AvaDent) olarak frezelenir. Alternatif bir yöntem, kaidenin ve dişlerin bir bütün olarak 3D baskısıdır (Pala ve Dentica).

Protez kaidesi ve dişleri tek bir ünite (AvaDent) olarak kazınır. Alternatif bir yöntem, kaide ve dişlerin tek bir ünite halinde (Pal ve Dentica) 3D baskısıdır.

Altyapı ve iskelet, eklemeli üretim teknolojisi (reçine alt yapılar ve iskeletlerin 3D yazıcıyla basılması ve daha sonra cam seramik ile tabakalama) veya kazıma/aşındırma yoluyla üretildikten sonra porselen kaplama, üç farklı yöntemle yapılabilir. Bunlar porselenin geleneksel katmanlanması, presleme tekniği ve CAD-on kaplama tekniğidir. (bilgisayar, hazırlanan dış ile karşıt dış / hazır dış arasındaki karşılıklı mesafeyi hesaplayacaktır) CAD-on tekniğinde bilgisayarda aynı anda hem altyapı hem de kaplama porseleni tasarlınır. Alt yapılar / iskelet bir zirkonya diskinden kazınırken, kaplama porseleni (CAD-on kaplama) bir lityum disilikat bloğundan kazınır. İki parça olacak füzyon camı veya ışınılı siman ile birbirine yapıştırılır.

CAD-on kaplama tekniği,

- (1) Boşluk veya eksiklikler yoktur (Beuer , ve diğerleri, 2009).
- (2) Veneer (kaplama) porseleninin istenilen kalınlıkta olması sağlanır
- (3) Soğutmanın herhangi bir etkisi yoktur.
- (4) Daha az sayıda fırınlama vardır.
- (5) Astar gerektirmez.
- (6) Daha düşük termal genleşme katsayıısı vardır. (zirkonyaya yakın)
- (7) Yaşlanmaya karşı dirençlidir, katmanlama ve presleme tekniklerine kıyasla veneer seramigi ile zirkonya arasında daha yüksek bağ mukavemeti vardır (Kim ve diğ. , 2014c; Renda ve diğ. , 2015).

Bu nedenlerden dolayı daha popüler hale gelmektedir.

2.4 Sınırlamalar ve Gelecekteki CAD / CAM

Kamera sadece kamera merceğine görülebilir olanı kaydedebilir. Bu nedenle, tükürük, kan veya yumuşak doku tarafından gizlenen bu yapılar veya kenar aralıkları kamera tarafından görülemez ve doğru şekilde kaydedilemez (Ting-Shu ve Jian , 2015; Logozzo ve diğ. 2014a; Logozzo ve diğ, 2014b). Disk formunda cam seramiklerin olmaması bir eksikliktir. Disk formunda mevcut olduğunda, presleme tekniği büyük olasılıkla ortadan kalkacaktır. Ayrıca, eklemeli teknoloji polimerik ve metalik materyaller ile sınırlıdır. Seramik içeren malzeme bulunmamaktadır.

Bir diğer kısıtlama ise, dijital ölçülerin, geleneksel ölçülere kıyasla sınırlı tam çene doğruluğunun olmasıdır (Ender ve Mehl, 2015; Patzelt ve dig., 2014; Ender ve Mehl, 2013; Nedelcu ve Persson, 2014). Ayrıca zirkonya altyapılar daha uzun kavisli altyapı gerektiren dişler üzerinde, uyum ve adaptasyonu potansiyel olarak etkileyebilecek olan, kısa düz altyapıdan daha büyük bir sinter distorsiyonuna maruz kalırlar. Zirkonya altyapılar kısmi ark için doğru uyum sergiler (Abduo, 2014). Gelecekte, diş etini retraksiyon ipleri olmaksızın invaziv olmayan bir şekilde penetre etme özelliğine sahip tükürük, sulkuler sıvı ve kandan etkilenmeyen ultrasonik dalgalar kullanarak alınan ultrasonik ölçüler uygulanacaktır. Bu, belirli avantajlara, ilerlemelere yol açacaktır. Ağız boşluğu ve diş yapısı ile ilişkili yapıların kurutulması ve detaylı temizliği gereksiz hale gelir, ayrıca tedavi süresini azaltır ve optik ölçülere göre hasta konforunu arttırmır. (Chuembou ve dig., 2015; Vollborn ve dig., 2014). Ayrıca, restorasyonlar, zirkonya ve cam seramiklerin lazer frezeleme ve /veya doğrudan enjeksiyon yöntemi ile üretilicektir. Ek olarak, monolitik restorasyonlarla uyumlu olarak ultrasonik ölçüler kullanılacaktır (Kazama-Koide ve dig., 2014; Ebert ve dig. 2009).

2.5 CAD /CAM Materyalleri

Estetik ve fonksiyonel beklentilerin artması, CAD / CAM sisteminin kullanımının yaygınlaşması, istenilen özelliklere sahip beklentileri karşılayacak farklı materyaller üzerinde çalışmalara neden olmuştur. Restorasyonların yapımında kullanılacak materyallerin tipi, restorasyonun ağızdaki konumuna, hastanın sosyo-ekonomik durumuna, beklentisine ve hekim tercihine göre farklılık göstermektedir. CAD/ CAM sistemleri ile kullanılan çeşitli materyaller mevcuttur.

Bu materyaller şu şekilde sınıflandırılmaktadır: (Fasbinder, 2010; Fasbinder, 2012).

1. Feldspatik (camsı) seramikler
2. Lösite güçlendirilmiş cam seramikler
3. Lityum disilikatla güçlendirilmiş cam seramikler
4. Oksit seramikler

- a. Cam infiltre oksit seramikler
- b. Sinterlenen oksit seramikler
- 5. Nanoseramikler
- 6. Hibrid seramikler
- 7. Zirkonya ile güçlendirilmiş lityum disilikat seramikler
- 8. Kompozitler
- 9. Polimerler
- 10. Metaller

2.5.1 Feldspatik seramikler

Diş hekimliğinde CAD / CAM sistemleriyle kullanılan ilk bloklar feldspatik seramik içerikli bloklardır. 1985'den bu yana yaygın olarak kullanılmaktadırlar. Bu bloklardan üretilmiş inlay restorasyonlarında başarı 10 yıllık periyot için %90,4 gibi oldukça yüksektir (Otto ve de Nisco , 2002).

Feldspatik blokların yapısı (Vitablocs Mark II, Vita Zahnfabrik, Germany) potasyum feldspar, albit gibi doğal feldspardan oluşur. Doğal feldspar malzemelerin avantajı; diğer seramikler ile karşılaştırıldığında saflik derecesinin ve erime sıcaklığının yüksek olmasıdır (Seghi ve Sorensen , 1995). Cam matriks içerisinde 3-4 μm boyutlarında %30 oranında ve homojen biçimde dağılmış, feldspar partikülleri bulunmaktadır. Kırılma dirençleri 150 MPa, elastiklik modülleri ise 45-63 GPa'dır (Fasbinder, 2012). İnley, onley, veneer, kronlar için önerilirler (Sannino ve diğ. , 2014).

Kimyasal içeriğinin ; %56-64 SiO₂, %20-23 Al₂O₃, %6-9 Na₂O, %6-8 K₂O, %0,3-0,6 CaO, %0,1 TiO₂'den olduğu belirtilmektedir.

Feldspatik blokların yapıları laboratuvara sinterlenen seramiklere göre daha homojen ve stabildir. Bunun sebebi standardize edilmiş olarak endüstriyel üretilmeleri ve vakum altında sinterlenmiş olmalarındandır (Giordano, 2006). Monokromatik, dikromatik ve polikromatik olmak üzere 3 çeşit feldspatik seramik blok vardır.

Monokromatik blokların estetik özellikleri artırmak için dikromatik ve polikromatik bloklar geliştirilmiştir (Trilux, Triluxe Forte) (Fasbinder, 2010).

Dikromatik bloklarda küresel bir dentin çekirdeği ve etrafında translusent mine tabakası bulunmaktadır (Reich ve Hornberger, 2002).

Polikromatik blokların kullanılmasıyla elde edilen sonuçlar tek renk bloklardan daha iyidir. Bu bloklarda dentin ve mineyi taklit etmek amacıyla renk geçisi 3D olarak hazırlanmıştır (Reich ve Hornberger, 2002).

Farklı renk doygunluğu ve ışık geçirgenliklerinden dolayı doğal dış yapısını taklit edilebilmektedir (Vitablocks Real Life). Böylece doğal dişe benzerlikten dolayı restorasyonun mevcut doğal dişlerle uyumluluğu sağlanmaktadır. Kroma derecesi kesici kenardan kolleye doğru artmaktadır. Doğal dişteki katman yapısına benzemektedir. Aynı özelliklere sahip materyalde CEREC Vita Blocks Mark II bloklar, ince taneli tozlar kullanılarak üretilir (Reich ve Hornberger, 2001). İnce taneli boşluksuz seramiklerdir. Bu özellik sayesinde cilalanabilirlik özelliği artar, mine tabakasının aşınması azdır, direnç özelliği artar. Bu materyalin dayanım özelliği aşağı yukarı 130 Mpa'dır. Parlatılıp, glazür yapıldığında 160 Mpa veya daha fazla olur.

İnlay, onlay, laminate veneer, parsiyel kron ve full kron yapımında kullanılmaktadırlar. Ön ve arka bölgede tam kron yapımına uygundurlar. (Denry ve Kelly , 2008). Bu bloklar tek veya çok renkli olabilmektedirler. İçeriklerinde bulunan yoğun camsı yapıdan dolayı hidroflorik asitle pürüzlendürülebilirler ve rezin kompozitlerle yapıştırılmaları mümkündür. Adeziv simantasyonda oksit seramiklerden daha başarılı sonuçlar verirler. Mekanik cilalanabilirlikleri de oldukça yüksektir. Bu bloklar, tüm bu özelliklerden dolayı hastabaşı (chairside) uygulamalarına çok daha uygundur. (Sorensen ve diğ. , 1991; Sorensen ve Munksgaard, 1995)

2.5.2 Lösite güçlendirilmiş cam seramik

Seramik yapıdaki cam matriks içinde bulunan lösit kristalleri birçok kontrollü aşama ile üretilmektedir. CAD / CAM sisteminde kullanılan lösit esaslı seramik temel olarak silisyum oksit (SiO_2), aluminyum oksit (Al_2O_3) ve potasyum oksitinden (K_2O) meydana gelmiştir (Pröbster ve diğ. , 1997). Silikat cam matriksin %30-40 yakın kısmını, 1-5 μm boyutlarındaki lösit kristalleri oluşturur (Kelly ve diğ. , 1996). Materyalin aşınma ve translüscent özelliği doğal

dişe benzer, bükülmeye karşı direnci ise 160 MPa'dır (IPS empress CAD) (Giordano, 1996).

Lösit kristalleri materyal direncini 2 farklı şekilde artırmaktadır. Bunlardan ilki lösit kristallerinin çatlaşın yönünü değiştirmesi ve çatlak ilerlemesini durdurmasıdır (Albakry ve dig., 2014). Diğer ise soğuma anında seramiğin camsı kısmında fazla baskı gerilimlerinin meydana gelmesidir. Seramik yapının %40'ını, lösit kristalleri oluşturmaktadır. Lösit kristalleri cam matriks içerisinde bulunmasına rağmen cam matriks yapıdan daha fazla genleşme katsayısına sahiptir. Isıtma sonrası seramik soğurken lösit kristalleri büzülür, cam matriks lösit kristallerine doğru çekilir ve oluşan iç basınç mikro çatlakların ilerleyip büyümeyesine engel olur (Tinschert ve dig. , 2000).

Materyalin estetik ve mekanik özellikleri doğal dişle benzerlik göstermektedir. Restorasyonların dayanıklılığı, diş dokusuyla olan adezyona bağlıdır ve adeziv simantasyon gerektirmektedir. Endikasyonları, laminate veneerler ve ön bölge kronlarıyla sınırlıdır (Fasbinder, 2002).

Renk özelliklerine göre 3 tip blok vardır. HT bloklar yüksek translüsentrliğe, LT bloklar ise yüksek parlaklık değerine sahiptir. HT blokların inley onley restorasyonlarının yapımında kullanımı daha uygundur. LT bloklar ise geniş restorasyonların yapımında tercih edilebilmektedir. Multi bloklar ile doğal dişlerde yakın restorasyonlar yapılabilmektedir (Reich ve Hornberger, 2002).

2.5.3 Lityum disilikatla güçlendirilmiş cam seramikler

Cam seramiklerin daha geniş endikasyon alanında kullanılabilmeleri için daha yüksek dayanım ve kırılma direncine sahip materyallerin geliştirilmesine ihtiyaç duyulmuştur (Höland ve dig. , 2000). Lösit cam seramiklere kıyasla çok daha yüksek miktarda kristal içeriği bulunmaktadır. Bu kimyasal yapı altyapı seramiğini güçlendirir. Materyalde % 70 oranında lityum disilikat kristalleri kullanılmaktadır, üstyapı seramiği ise florapatit kristallerinden oluşmaktadır. (Pagnianove dig. , 2005; Rosenstiel ve dig. , 2006.)

CAD / CAM sistemlerinde kullanılmak üzere hazırlanan blokların üretim aşamasında; lityum disilikat materyalinin kırılgan ve zor freze edilmesinden dolayı farklı prosedürler gerekmektedir (Ritzberger ve dig. , 2010). Lityum disilikat bloklar; quartz, lityum dioksit, fosfor oksit, alümina oksit, potasyum

oksit ve diğer komponentlerden oluşur. CAD / CAM için üretilmiş lityum disilikatla güçlendirilmiş cam seramiklerin üretiminde seramik kısmı olarak kristalize edilmektedir. Kısmi kristalize blokların ana yapısını lityum metasilikat oluşturur, bu aşamada ilave renklendiricilerden dolayı mavi görünümdedir. Lityum metasilikat kristalleri mevcut hacmin % 40' nı teşkil eder ve kristallerin boyutu yaklaşık 0,5 mikrondur. Kısmi kristalizasyonun amacı blokların hem kolay ve hızlı bir şekilde freze edilebilmesini sağlamak, hem de frezeleme işlemi sırasında çatlak oluşumunu engellemektir (Harder, 2010; Harrer, 2012). Materyalin bu aşamadaki dayanımı 130-150 MPa'dır.

Mavi fazdaki bloklar iki aşamalı kristalizasyon işlemine maruz kalırlar. İki aşamalı kristalizasyon ilk adımda lityum metasilikat kristallerinin çökeldiği kontrollü çift nükleasyon aşamasından oluşur. Frezeleme işleminden sonra ikinci bir ısıl işlemede metasilikat faz tamamen eriyip dağılır ve lityum disilikat kristalize olur. Kristalizasyon süresince, seramik lityum metasilikat kristal fazdan lityum disilikata dönüşür. Baştan sona bu dinamik ısıl işlemede frezeleme aşamasında stabiliteyi sağlayan lityum metasilikat kristalleri cam matriks içine geri emilir ve lityum disilikat kristallerinin gelişmesi için ham materyal olarak görev görür. Bu ısıl işlem yaklaşık 840-850 derecede bir porselen fırınında gerçekleşir. Kristalizasyon süresi yaklaşık 25 dk.'dır (Reich ve Schierz, 2013).

Lityum disilikat seramiklerde büzülme oranı % 0,2' dir. Bu büzülme kenar, arayüz ve okluzal uyumu etkilememektedir (Tysowsky, 2009). Dayanım 360-400 MPa'a çıkar ve mavi renkten asıl seçilen renk tonuna geçiş olur. Cam seramik bu aşamada yaklaşık %70 hacimde lityum disilikat kristalleri içerir, Kristal boyutları yaklaşık 1,5 μm 'dur (Ritzberger ve dig. , 2010). Simantasyon öncesi lityum disilikat ile güçlendirilmiş seramik restorasyonların yapıştırma yüzeyine asit uygulanması ile cam matriks erir ve gömülü kristaller açığa çıkar. Bu kristaller kenetlenmiş bir ağ şeklinde homojen olarak yayılmıştır. Yoğun kristalin kütlesi çatlak yayılımını engeller ve mekanik dayanıklılığı artırır. Çatlak oluşmuşsa bile kristaller tarafından dolayı bir şekilde tutulur ve daha fazla ilerlemesi engellenir (Albakry ve dig. , 2003).

Parsiyel kristalize bloklardaki temel kristal faz lityum metasilikattır. Bu blokların mekanik ve kimyasal direnç zayıftır. 850°C 'deki kristalizasyon

işleminden sonra, lityum metasilikat dirençli ve dış rengindeki lityum disilikat haline dönüşür (Ritzberger, 2010).

Işık geçirgenliği farklı üç tip (HT,LT, MO) lityum disilikat CAD /CAM blokları mevcuttur. Translüsent özelliği yüksek HT bloklar komşu yapıların rengini absorbe edebilme (bukalemun efekti) özelliğinden dolayı oldukça estetiktirler. Onley ve inley gibi restorasyonların yapımında kullanılabilirler. Düşük translüsensiye sahip LT bloklar çeşitli renk seçenekleri ile tam anatomik restorasyonların yapımında kullanılabilmektedir. Renklenmiş dişlerin tedavisinde, tabakalama tekniğiyle MO blokların kullanımı uygundur. Daha estetik bölgelerde cut-back teknigi ile üst yapı porseleni uygulanabilir (Guess ve diğ. , 2010).

Köprü yapımında lityum disilikat güçlendirilmiş cam seramik bloklar tercih edilir ve zaman geçtikçe endikasyonları artmaktadır. Yapılan çalışmalarda bu bloklardan yapılan arka bölge köprülerinin metal-porselen köprüler kadar başarılı olduğu tespit edilmiştir. (Kern ve diğ. , 2012)

Üretici firmaların önerdiği şekilde 0,8 mm kalınlığında hazırlanan altyapıların kırılma direnci 400 MPa'ya kadar çıkmaktadır. Bu sayede kron protezlerinin yapımının yanında, 3 üyeli köprü protezlerinin yapımı da mümkün olmuştur. İkinci küçük azı dişlerinden itibaren, ön bölge köprü protezleri endikasyon alanına girmektedir (Taskonak, 2005).

2.5.4 Oksit seramikler

2.5.4.1 Cam infiltre edilmiş oksit seramikler

Frezeleme işlemi sonrasında poröz yapının giderilmesi amacıyla cam infiltre CAD / CAM blokların esas yapısını oluşturan alumina veya alumina zirkonya karışımının kristalleri arasındaki boşluklara cam infiltrasyonu yapılarak yapının devamlılığı sağlanmaktadır.

Materyalin tamamına geniş bir şekilde yayılan ve iç içe geçmiş en az iki faz bulunur. Gerçek son sertliklerine ulaşmaları için lantan oksit cam infiltrasyonu işlemeye tabi tutulurlar. Poröz bloklar alt yapı hazırlanması için millenir. Sonra bloklar porselenle kaplanmak (veneerlenmek) üzere yüksek yoğunluğa ulaşmaları için farklı oranlarda cam seramik infiltrasyonuna tabi tutulurlar. Bu

bloklar In-Ceram Spinell, In-Ceram Alumina ve In-Ceram Zirkonia olmak üzere üç çeşittir.

1994 yılında In-Ceram Spinell opak altyapıya sahip In-Ceram Alumina' ya materyaline estetik açıdan daha başarılı bir alternatif olarak üretilmiştir In-Ceram Spinell, In-Ceram sistemleri arasında en yüksek translüsentriliğe sahip olan materyaldir. İçeriğinde magnezyum alüminyum oksit ($MgAl_2O_4$) kullanılır. Sinterleme işleminden sonra 'spinell' adı verilen gözenekli bir yapı oluşur. Bu yapıya daha sonra ışık geçirgenliğinin de sağlanması yardımcı olan lantan oksit cam infiltre edilir. Bükülme direnci In-Ceram Aluminadan % 25 daha az, tranlüsentriliği ise 2 kat fazladır. Bükülme direnci 350 MPa'dır. Translüsent özelliği sayesinde ön bölge restorasyonlarda tercih edilirler (Magne ve Belser, 1997; Fradeani ve Redemagni , 2002).

İlk olarak 1989 yılında üretilen In-Ceram Alumina, yüksek oranda sinterlenmiş poröz alumina altyapı materyaline, düşük viskoziteli sodyum lantan oksit cam infiltrasyonuyla elde edilmiştir (Kelly ve diğ. , 1996). Bükülme direnci 600 Mpa'dır (Giordano ve diğ. , 1995). Ön, arka bölge kronlarında ve üç üyeli ön bölge köprülerinde alt yapı materyali olarak kullanılabilir (Sorensen ve Torres, 1992). Vita InCeram Alümina blokları tebeşirimsi yapıdadır, freze edilirken daha büyük boyutta tasarlanır ve sonra sinterlenerek yoğunlaşır.

Zirkonyumun stres bağımlı transformasyon özelliği ile alumina matriksin birleştirilmesiyle sağlanan avantaj, zirkonya ile güçlendirilmiş alumina (ZTA) üretiminin oluşmasına sebep olmuştur. Son yıllarda üretilen In-Ceram Zirconia aluminyum oksit içeriğine ilave olarak %33 oranında seryum stabilize zirkonyum (12Ce-TZP) katılarak piyasaya sürülmüştür. InCeram zirkonya ise yüksek dayanıklı, tranlüsensitesi az olan bir materyaldir. In-Ceram 1100 °C'de 2 saat sinterlendikten sonra cam infiltrasyonu gerçekleşmektedir. Camsı kısım yapının son halinin yaklaşık %23'ünü meydana getirmektedir (Deville ve diğ. , 2003; Guazzato ve diğ. , 2004).

2.5.4.2 Sinterize oksit seramikler

a. Alüminyum oksit (Al_2O_3)

Aluminyum oksit kristalleri içeren yarı sinterlenmiş, yüksek dayanıklılığa sahip oksit bloklarıdır. Presinterize durumdaki bloklar ve restorasyon elde edildikten

sonra 1520 °C'de fırınlama işlemine tabi tutulurlar. Blokların kırılma direnci 500 MPa'dan fazla olup, bükülme direnci de yaklaşık 610 Mpa'dır. Elastiklik modülü ise 380 GPa'dır. Freze işlemi sonrası cam infiltrasyonuna gerek kalmaz. Bu bloklar tek renkten oluşmaktadır; fakat daha sonra üzerine yiğilacak porselen rengine göre boyama sıvısıyla renklendirilme işlemi yapılabilir. (Guazzatove dig. , 2004).

b. Zirkonyum oksit (ZrO₂)

Tam porselen restorasyonlarının alt yapılarının yapımında en çok kullanılan materyal olarak öne çıkan Y-TZP yüksek mekanik dirence, kimyasal ve boyutsal stabiliteye sahiptir (Conrad ve dig. , 2007). Üretim şekillerine göre zirkonyum dioksit bloklar 3 grupta incelenir:

Sinterlenmemiş zirkonyum dioksit bloklar, (yeşil faz - green stage) üretim aşamasında zirkonyum dioksit tozunun herhangi bir sinterleme işlemi uygulanmadan basınçsız bir şekilde preslenmesi ile üretilen bloklardır. Oldukça yumuşak bir yapıya sahip oldukları için kolayca aşındırılabilirler. Aşındırma işlemi sonrasında sinterleme işlemi uygulanır. Herhangi bir ısı uygulaması yoktur. Seramik tozu ve bağlayıcı ajanlardan preslenerek elde edilir. Herhangi bir sinterleme işlemi olmadığı için malzeme tebeşir tozuna benzer. Kolayca aşındırılabilirler. Stabiliteleri oldukça azdır, taşınma ve uygulama problemleri ortaya çıkar. Likit soğutmasız metal karbit aşındırıcılarla işlenebilir. Bu yeşil aşama porözitelidir. Fırınlama sırasında lineer olarak % 25' lik çekme büzülmesi beklenir. Zirkonyum oksit yeşil fazda CAD / CAM sistemleri için satılmazlar. (Beuer ve dig. , 2008)

Yarı sinterlenmiş (Non-HIP) zirkonyum dioksit bloklar, (beyaz faz - white stage) zirkonyum dioksit tozu ile bağlayıcı maddenin birlikte ısı kullanılmadan preslenmesiyle üretilirler. Elde edilen bloklar 1350-1550 °C ısıda ön sinterleme işlemine tabi tutulur (Denry ve Kelly , 2008). Sinterleme sonucunda beyaz bloklar % 5' lik çekme büzülmesine sahip olurlar. Beyaz bloklardan CAD / CAM ürünlerinin üretimi yapıldığında % 20' lik çekme büzülmesi göz önünde bulundurulmalıdır. Beyaz bloklar soğutmasız metal karbit aşındırıcılar veya su soğutmalı elmas aşındırıcılarla işlenebilirler.

Tam sinterlenmiş (HIP) zirkonyum dioksit bloklar: (hot isostatic pressed) HIP olarak adlandırılan tam sinterlenmiş bloklar ilk olarak yaklaşık 1300 °C'de sinterlenir ve %95 yoğunluğa ulaşır. Oluşan yapı çok sert olduğu için aşındırma işlemi uzun zaman almaktadır. Elmas aşındırıcılarla su soğutmasıyla işlenirler (Beuer ve diğ. 2008).

Avantajları:

- 1-) Sertleşme büzülmesi ve distorsiyonu yoktur.
- 2-) Sinterleme fırınına ihtiyaç yoktur.
- 3-) Sinterleme işlemi için ek zamana gerek yoktur

Dezavantajlar:

- 1-) Yüksek rıjitleğe ve stabiliteye sahip cihazlar gereklidir.
- 2-) Daha uzun frezeleme süreleri, cihazların daha yavaş kullanımı.
- 3-) Frezler kısa sürede aşınır.
- 4-) Hiç renkli blok satılmamaktadır.

Zirkonyum dioksit mükemmel mekanik karakteristik özelliklere sahip yüksek performanslı oksit seramiktir. Bu diğer dental seramiklerle kıyaslandığında yüksek burkulma ve kırılma dayanımından dolayı sabit bölümlü protezler için alt yapı ve kişisel implant abutmentlerinin yapımında kullanılabilir. Yitrium oksit (Y_2O_3) moleküllerinin ilavesi sonucunda oda sıcaklığında tetragonal faz stabilizasyonu sağlanır. Monolitik fazda dönüşüm seramik içindeki çatlakların ilerlemesini engeller (transformasyon direnci). Bu dönüşüm sonucunda % 4'lük bir hacim artışı görülür. Bu artış, stres yoğunluğunu azaltır ve çatlak büyümeyi engeller (Beuer ve diğ. , 2008;Dirxen ve diğ. , 2013). Kırılma dayanımı 900-1200 MPa arasında olup, elastiklik modülü ise yaklaşık 210 Gpa'dır (Zimmermann ve diğ. 2013). Renklendirme likitiyle renklendirilirler (Guazzato ve diğ. , 2004).

Geleneksel zirkonya üç fazda bulunur. Oda sıcaklığında saf zirkonya izmonokliniktir. Artan sıcaklıkla, malzeme yaklaşık 1170 ° C'de tetragonal'e dönüşür, sonra yaklaşık 2370 ° C'de başlayan bir kübik florit yapısına, 2716 ° C'de eriyerek döner. Zirkonyumun tetragonal fazı genellikle opaktır; klinik

olarak kullanıldığında feldspatik porselen ile katmanlanmıştır. Bu tür altyapı kaplama sistemlerinde, üst yapı porseleninin kırılması ve parçalanmasının, tek kronlar için % 2 - % 9 ve 1 ila 5 yıl sonra simante restorasyonlar için % 3 - % 36 olduğu bildirilmiştir. Okluzal yük ve porselen kalınlığı da, restoratif başarısızlıklarda ilave bir etkiye sahiptir (Guess ve diğ. , 2011).

Monolitik zirkonya bloklar, yüksek dayanıklılık ve translüscent (yarı şeffaflık) özelliğine sahiptir. Polikristalin seramiklerin şeffaflığı materyalin kimyasal yapısına ve mikro yapısına göre değişir. Materyallerin içerisindeki düzensiz partiküller ve poroziteler ise ışık geçirgenliğini azaltır. Standart zirkonya blokların içeriğinde dayanıklılığını arttıran ancak optik özelliklerini olumsuz yönde etkileyen organik bağlayıcılar bulunmaktadır. Solid ya da translüscent olarak da adlandırılan bu blokların yapısındaki atomlar ise, herhangi bir organik bağlayıcı olmadan birbirinin içine geçmektedir. Yapıdaki nano-partiküller sayesinde porözite içermemesi ve alumina içeriğinin % 0,01'e kadar indirilmesi ışık geçirgenliğinin artmasını sağlamaktadır (Kelly, 2006).

Monolitik zirkonya altyapı materyali olarak kullanılabildeği gibi, üstyapı porseleni ihtiyacı olmadan tam kron olarak uygulanabilir. Okluzal aralığın yetersiz olduğu durumlarda, restorasyon 0,3-0,5 mm kalınlığa kadar inceltilerek kullanılabilir. (Kelly, 2006).

2.5.5 Nanoseramikler

Nanoteknolojinin endüstriyel sektörden dış hekimliğine geçmesi ile birçok yenilik sağlanmıştır. Nanoseramikler bunlardan biridir. Yapıları nano seramik partikülleri ve UDMA içerikli reçine matriksten meydana gelmektedir. Yapı içerisinde 4-11 nm çapında zirkonya nanomerler ve 20 nm çapında silika nanomerler bulunmaktadır. Blokların üretim aşamasında, reçine matriks ve nanomer yapı arasında kimyasal bağlantı yapıya katılan silan ile sağlanmaktadır (Fradeani ve Redemagni , 2002). Materyalin elastiklik modülü yaklaşık 10-20 Gpa'dır. Bu değer dentinin elastiklik katsayısına yakındır, bu yüzden stresi cam seramiklerden daha iyi absorbe eder. Materyalin kırılma dayanımı (204 Mpa) lityum disilikat bloklara yakın; feldspatik, lösit ve kompozit bloklara göre fazladır. (Zhang ve diğ, 2013). Nanoseramiklerin kuvvet absorbe etme özelliklerinin olduğu ve implant üstü restorasyonlarda seramiklere nazaran daha

başarılı sonuçlar verdiği bildirilmektedir. Ayrıca karşı dişte meydana getirdikleri aşınma, cam seramiklere kıyasla çok daha azdır (Raigrodski, 2004b).

2.5.6 Hibrid seramikler

Bu bloklar freze işleminden sonra sinterlenmezler. Yüzey parlatma işlemleri mekanik olarak yapılır ve bükülme dayanımları 150-220 MPa'dır. Kırılma doygunlukları yüksektir, aşınmaya karşı direnclidirler. Adeziv rezin simanlar ile dış dokularına bağlanmaları son derece iyidir.

Bu blokların yapısında yoğun oranda bulunan seramik ağı, birbiri içerisinde tamamen entegre olan bir polimer ağı ile güçlendirilmiştir. Seramik ve kompozitlerin avantaj sağlayan özelliklerini bir arada toplamak için üretilmiş bir materyaldir (Enamic, Vita Zahnfabrik, Germany ve Lava Ultimate, 3M ESPE, Germany). Ağırlıkça %86'sını, hacimce %75'ini seramik yapı oluşturur. Bu seramik çeşitleri sinterlenmiş matriks yapılarının arasında kalan boşlukların polimer materyali ile doldurulmasıyla elde edilirler. Polimer ağı, yüzeyi modifiye edilmiş polimetilmetakrilattan (PMMA) oluşmaktadır. Polimer ağı sayesinde seramikte sık karşılaşılan çatlak ilerlemesi sorunu azaltılmıştır. Yüksek yükleme kapasiteleri sayesinde özellikle arka bölgede yapılacak kron restorasyonlarında yapılması gereken aşındırma daha az olmaktadır.

2.5.7 Lityum disilikat seramikler

Cam seramiğin optik özellikleri ve zirkonyanın olumlu mekanik özellikleri birleştirilerek elde edilen bir materyaldir (Suprinity, Vita Zahnfabrik, Germany, Celtra Duo, Dentsply, U.S.). Yapısındaki zirkonya partikülleri (%8-10) sayesinde oldukça dayanıklıdır (Kruger ve dig., 2013). İnce kristalin yapı yaklaşık 0,5 μm boyutlarında ve homojen olarak dağılmıştır.

Lityum disilikat seramik bloklar, CAD / CAM sistemleri ile kullanılan ilk bloklardan birisidir. Bu bloklar mekanik açıdan güçlendirilmiş, zirkonya infiltre lityum disilikat seramik bloklar üretilmiştir. Seramik yapıda %56-64 SiO₂, %15-21 Li₂O, %1-4 K₂O, %3-8 P₂O₅, %1-4 Al₂O₃, ve %8-12 ZrO₂

bulunmaktadır. Frezeleme sonrası kırılma direnci 210 MPa iken, kristalleşme sonrası kırılma direnci 420 MPa'a ulaşır (Güth ve dig. , 2013).

2.5.8 Kompozitler

Yapısal, fiziksel, biyolojik ve estetik avantajlarından dolayı kompozit reçine esaslı materyaller ile akrilik reçine esaslı bloklardan daha estetik ve biyolojik özelliklere sahip uzun süreli geçici restorasyonlar yapılmaktadır. Ayrıca özellikle bruksizmli hastalarda, çığneme kuvvetlerini absorbe edebilen ve karşı dişte daha az aşınmaya neden olan bu tür malzemelerle inley, onley ve tek diş kron restorasyonlarının hazırlanması da mümkündür (Höland ve dig. , 2000).

2.5.9 Polimerler

Resin materyaller uzun süreli direkt kron sabit bölümlü protezlerin alt yapısı veya geçici tam anatomik protezler olarak kullanılırlar (Telio CAD, Ivoclar Vivadent, Liechtenstein). Dentin , mine tabakasına sahip yarı özel hazır bloklar bir üretici tarafından sağlanmaktadır (artebral imCrown, Merz Dental). Kronun dış kısmının şekli anatomik olarak tam ön diş formuna uygun iken kronun iç yüzeyi bloğun içерiden dışarıya kazınmasıyla oluşur (Beuer ve dig. 2008). Bazen rezin malzemeden restorasyonlar üretilir, kenar uyumu ve estetik görüntüsünden emin olduktan sonra daha pahalı seramik bloklardan üretime geçilmektedir. Bunun için monokromatik, polikromatik ve PMMA içermeyen bloklar mevcuttur. Geleneksel döküm teknigideki mum modelaj yerine, rezin esaslı bloklar CAD / CAM sistemlerinde kazınarak altyapı modelajları yapılabilmekte ve cerrahi plakların da üretimi mümkün olmaktadır. (Lauvahutanon ve dig. , 2014).

2.5.10 Metaller

Diş hekimliğinde genel olarak krom-kobalt, titanyum alaşımları ve saf titanyum alaşımları kullanılmaktadır. Pahalı olmaları ve yüksek madde kaybı yüzünden ilgi görmemişlerdir (Beuer ve dig. ,2008). CAD / CAM sistemlerinin gelişimiyle birlikte, özellikle metal destekli seramik restorasyon ya da implant üstü restorasyonlarda bar yapımında dökümden kaynaklanan büzülmeleri ve uyumsuzlukları engellemek ve pasif uyumu sağlamak amacıyla bu materyallerden üretilmiş bloklar kullanılır (Mehl ve dig. , 2013).

Eskiden beri kullanılan geleneksel metal blokların yanı sıra sinterlenen metal bloklarda üretilmiştir. Bu blokların içeriği % 63,3 kobalt, % 28,5 oranında kromdur. Elastiklik modülü 165 GPa'dır. Bu metal bloklardan üretim, zirkonya bloklardan restorasyon üretimine benzerdir. Kısmi olarak sinterlenmiş olan bu metal bloklardan üretilen restorasyonlar sinterleme sonrası meydana gelen büzülme göz önünde bulundurularak %10 daha büyük freze edilerek yapılırlar. Elde edilen restorasyon argon gazının bulunduğu ortamda sinterlenir, mekanik ve boyutsal olarak son halini alır (Zimmermann ve diğ. , 2013).

2.6 Eklemeli (Tabakalı) Üretim

Son birkaç on yılda dünya bir dijital devrim geçirdi. Bu sadece günlük yaşamımızda nasıl davranışımızı etkilemekle kalmadı, sorunları çözme şeklimizde de bir etki yarattı (Barnatt, 2001). Bu eğilim tıp ve diş hekimliği alanlarında da yansındı. Daha doğru tarama ve üretim teknikleri, daha iyi planlamaya, geniş üretim ağı ve daha fazla otomatik üretim tekniklerine imkan sağlamaktadır. Dijital teknolojinin diş hekimliğine girmesi o kadar önemli hale gelmiştir ki, uluslararası konferanslarda uzmanlık alanlarındaki ana temalardan biri halini almıştır (ITI, 2014)

Bu teknolojinin kullanımının artması restorasyonların elle üretiminde birçok yapım aşamasını ortadan kaldırmıştır. Bu yaklaşımı diş hekimliğinde dijital iş akışı (digital workflow) adı verilmektedir (Almeida e Silva ve diğ. , 2014 ; Brawek ve diğ. , 2013). Dijital iş akışı Çizelge 2.1'de gösterilmiştir (Brawek ve diğ. , 2013). Digital iş akışını üç ana unsura dayalıdır. Tarayıcılarla dataların eldesi, CAD programı vasıtasyyla sanal tasarım ve CAM ile üretilmendir. Üretim aşamasında, eksiltmeli üretim olarak da bilinen frezeleme yöntemlerine alternatif kullanımı hızla artan diğer yöntem, üç boyutlu (3D) baskı olarak bilinir. "tabakalamalı üretim" ve "hızlı prototipleme" olarak da adlandırılan bu teknoloji, daha önce eksiltmeli imalat ile gerçekleştirilen bazı imalatların yerini almıştır (Van Noort, 2012).

Tabakalı üretim teknikleri döküm ve bloktan kazıma yöntemleri ile üretilemeyecek karmaşık şekilli nesnelerin kısa sürede, el degmeden, standart ve daha ucuza üretimini sağlamaktadır, döküm ve bloktan kazıma yöntemlerinin

olumsuzluklarını ortadan kaldırır. Tabakalı üretim, diğer adı ile hızlı üretim, tekniklerinin yaklaşık 30 yıllık bir geçmişi mevcuttur (Bibb ve dig. , 2009).

Çizelge 2.1: Dijital İş Akışı

İş akış basamakları	1.	2.	3.	4.	5.
Direkt dijitalizasyon (örn. CEREC, Planmeca veya TRIOS)	Ağızıcı tarama	Sanal tasarım	Kazıma (hastabaşı/laboratuvar) (Altyapı veya tam kron)		
Direkt dijitalizasyon (örn. LAVA COS veya True Definition veya iTero)	Ağızıcı tarama	Fiziksel model	Klasik mum modalaj	Döküm veya preslenmiş dental materyal	
Direkt/indirekt dijitalizasyon (örn. LAVA COS veya True Definition veya iTero ve laboratuvar tarayıcısı)	Ağızıcı tarama	Fiziksel model	Laboratuvar tarama	Sanal tasarım	Kazıma
İndirekt dijitalizasyon(örn. Laboratuvar tarayıcısı)	Klasik elastomer ik ölçü	Fiziksel model	Laboratuvar tarama	Sanal tasarım	Kazıma

Tabakalama yöntemi 1980'lerde prototip, model ve döküm örneklerin üretiminde kullanılmaya başlanmıştır. Bu teknikler CAD ile üretilen üç boyutlu model verileri doğrultusunda tabaka-tabaka fiziksel modeller üretirler (Santos ve dig. , 2006; Chua ve Leong , 1997; Beaman, ve dig. , 1997). 3D CAD dosyasından kesitsel katmanlar oluşturulur ve her katman diğerine üzerine işlenerek 3D nesne elde edilir. Tabakalı üretim yöntemleri çalışma şekilleri, uygulama alanları ve malzeme seçenekleri, üretim

zamanı, fiyat, büyülüklük yönleriyle kullanıcıya farklı alternatifler sunmaktadır. Oldukça karmaşık geometrisi olan şekillerin tabakalı üretim sayesinde hassas, doğru ve kısa sürede hazırlanması gibi avantajları vardır (Kovalev ve dig. , 2000).

Fotopolimerizasyon, fotolitografi, stereolitografi, ink-jet yazıcı, 3D yazıcı, selektif lazer sinterleme, lazer mikrosinterleme, selektif lazer ergitme ve üç boyutlu lazer kaplama tabakalı hızlı üretim yöntemlerindendir (Santos ve dig. , 2006; Wang ve dig. 2002).

2.7 Tabakalı Üretim Tekniklerinin Tarihçesi

1971'de Ciraud ilk patentli tabakalı üretim tekniğini alarak bu sistemin temellerini atmıştır (Ciraud, 1971). Ciraud, üç boyutlu lazer kaplama teknolojisinin de öncüsü olan ve seçici lazer sinterleme (SLS) ve seçici lazer ergitme (SLM) sistemlerinin kavramlarını tanımlamıştır. Bu sistemlerin patentini 1977 yılında almıştır (Deckard, 1989). 1986'da Teksaş Üniversitesi'nde Deckard tarafından yapılan çalışma, ilk masaüstü üretim makinesi olarak tanımlanmıştır. 1992 yılında Deckard geliştirmiş olduğu bu sistemi nesnelerin seçici sinterleme ile tabakalı oluşturulması olarak adlandırmış, daha sonra bu ismi seçici lazer sinterleme (SLS) olarak değiştirmiştir. 1994 yılında Electrolux ve EOS GmbH optik sistem firmaları tarafından EOS makinesi üretilmiştir. EOS, SLS sisteminin kullanıldığı ilk makinedir. 1995 yılında MCP Teknolojileri firması çalışanları Fockele ve Schwarze SLM tekniği ile çalışan sistem geliştirilmiş ve MCP Realizer adını vermişlerdir. Daha sonra 2004'te EOS GmbH firması DTM ve lazer sinterizasyon ile ilişkili üç boyutlu sistemlerin tüm patent haklarını almıştır (Shellabear, 2004).

Diğer önemli gelişmeler 1988 ve 1990 yılında Westinghouse Elektrik şirketinin, Sandia Ulusal Laboratuvarlarıyla çalışarak aldığı patentlerdir. Arcella'daki Johns Hopkins Üniversitesi tarafından Westinghouse projesi geliştirilmiş ve 1997'de Aeromet'in tanıtımı yapılmıştır. Günümüzde, Aeromet lazer yapılı net şekillendirme (LENS) tekniğini kullanarak, havacılık endüstrisi için titanyumdan karmaşık parçalar üretmek üzere özelleşmiştir. Aynı zamanda

1997 yılında Optomec de kendi LENS sistemini Sandia Ulusal Laboratuarları ile çalışarak piyasaya sürmüştür.

SLM ve üç boyutlu lazer kaplama (3D laser cladding) temelli iki makinenin tanıtımını TRUMPF 2003 yılında yapmıştır: TrumaForm LF 250, TrumaForm DMD 505 ve TRUMPF tam ergimeli tek içerikli metallerin, toz yataklı doğrudan lazer teknolojisi ile metal üretim haklarını elinde tutmaktadır. (Bibb ve diğ. , 2009)

Tabakalı üretim yöntemlerinin avantajları aşağıdaki şekilde sıralanabilir.
(Akova ve diğ. , 2008 ; Ucar ve diğ. , 2009)

1. Kullanım kolaylığı sağlar.
2. Maliyeti azalır.
3. Malzeme sarfiyatını azaltır.
4. Çok sayıda parçayı kısa sürede üretemek mümkündür.
5. Elde edilen ürün nettir.
6. Mekanik olarak daha dayanıklı parçalar elde edilir.
7. Yüksek biyoyumluluğa sahip iyonizasyonun az olduğu parçalar üretilir.
8. Yüksek kimyasal yapıya sahip korozyona karşı dirençli parçalar üretilir.
9. Fiziksel ölçüye gerek yoktur.
10. Üretilen parçalarda porözite yoktur

2.8 Tabakalı Üretim Tekniğinde Kullanılan Malzemeler

Toz ve sıvı haldeki tüm materyaller tabakalı üretim için kullanılabilmektedir. Birçok alanda bu teknikle bugüne kadar kullanılmakta olan malzemeler metaller, (alüminyum, demir, bakır, çelik, titanyum, nikel alaşımları, kobalt alaşımları,) polimerler (biyopolimerler, döküm mumu, polikarbonatlar, akrilik, naylon, termoplastik elastomerler) ve seramikler (alümina , silika , zirkonya vb.)'dır. Üretimde kullanılabilecek malzemelerin çeşitliliğinin fazla olmasından dolayı havacılık sektöründen medikal sektöré kadar birçok sektörde tabakalı üretim yöntemi kullanılabilmektedir.

2.9 Tabakalı Üretim Yöntemlerinin Sınıflandırılması

Günümüzde, farklı birçok tabakalı üretim tekniği mevcuttur. Bunlardan en yaygın olanları; fotopolimerizasyon, stereolitografi, mürekkep baskı, 3D yazıcı, birleştirilmiş eriyik yiğma modelleme, selektif lazer sinterleme veya ergitme ve daha az yaygın olan tabakalı obje üretimi ve lazer kaplama işlemleridir. (Santos ve diğ. , 2006) (Santos ve diğ. , 2004)

Protetik tedavi ve diğer sektörlerdeki eklemeli üretim teknolojisi; ücret, hız, güvenilirlik ve maliyet yönünden geleneksel üretim ile rekabet halindedir. (Çelik ve diğ. , 2003) Bu teknolojinin protetik tedavi alanında kullanım türleri şunlardır:

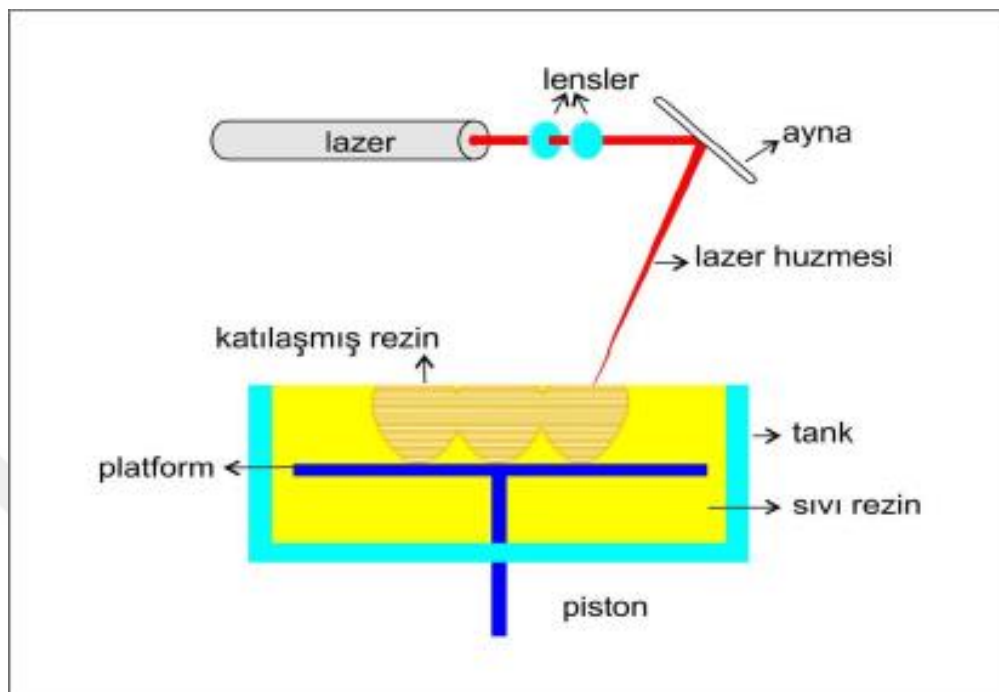
- Stereolitografi (SLA), Litografi, teknigi.
- Eriyik yiğma modelleme (FDM-fused deposition modelling) teknigi
- Seçici elektron ışınılı ergitme (SEBM-selective electron beam melting) teknigi
- Seçici lazer sinterleme (SLS-selective laser sintering) teknigi
- Seçici lazer ergitme (SLM-selective laser melting) teknigi
- Mürekkep baskı (inkjet printing) teknigi

2.9.1 Stereolitografi (SLA), litografi (fotopolimerizasyon)

1986 yılında bu sistemi Charles W. Hull tanıtmıştır. Bu yöntem ince tabakalar halinde ultraviyole ile sertleşen materyalin üst üste yiğilmasıyla katı objelerin yapımı olarak tanımlanmıştır. Üretim aşamaları şunlardır:

Yapılmak istenen nesnenin üç boyutlu bir CAD modeli oluşturulur. CAD modeli bir yazılım ile ince kesitlere ayrılır. İlk tabaka tank içinde bulunan sıvı haldeki rezinin lazerle taranıp ve sertleşmesiyle oluşturulur. Platform tank içinde 1 milimetreden daha az miktarda aşağıya iner. Sonra lazer yeniden rezini tekrar tarar ve yeni tabakayı oluşturur. Model oluşuncaya kadar bu işlem üst üste tabakalar halinde tekrar edilir.

Modelleme bitince nesne bir çözücü ile temizlenir ve rezin tam sertleşmesi için ultraviyole fırınına yerleştirilir. (Van Noort, 2012). SLA üretim tekniği Şekil 2.2'de şematik olarak gösterilmiştir. (Ozyemişci Cebeci ve Hancı, 2018)



Şekil 2.2 : SLA Üretiminin Tekniği

Üretimde ışıkla sertleşen rezin kullanılır (Elomaa ve dig., 2013). Protetik tedavideki kullanımı; geçici kron yapımı, Van Noort, (2012), kayıp mum teknığında kullanılacak rezin model, cerrahi plak yapımı, Van Noort., (2012); Ruppin ve dig., (2008), kulak muflası yapımı, Liacouras ve dig., (2011), çalışma modellerinin yapımı, Cho ve dig., (2015); Karatas ve dig., (2011), ağız koruyucusu yapımı, Cho ve dig., (2017), ve okluzal splint yapımıdır (Salmi ve dig., 2013).

Üretilen cismin boyut ve miktarına bağlı olarak her tabakanın meydana gelmesi 1-2 dakika allığından hızlı bir işlem değildir. Tabakalar yaklaşık 25 μm civarındadır (Liu ve dig., 2005).

Litografi, SLS teknolojisine benzer, sinterleme lazer yerine ışık yayan diyon (LED, light emitting diode) kullanılarak yapılmaktadır. SLS yöntemindeki gibi taranan ürün CAD programına aktarılıp STL formatına dönüştürülmemekte ve eklemeli üretim yapılmaktadır (Rudgley, 2001). Litografi cihazında özel bir görüntüleme sistemi vardır. Bu sistemde gelişmiş LED teknolojisini kullanılmaktadır, tabakalı bilgi aktarımını sağlamaktadır. Bu sistem sayesinde

ince detayların ve küçük yapıların üretimi mümkün olmaktadır. Seramik de dahil olmak üzere farklı malzemeler bu yöntem ile kullanılabilir. Cihaz, ışığa duyarlı reçine ile homojen dağılan seramik toz granülerini birbirine bağlayarak litografik temelli seramik üretimini (LCM) sağlamaktadır.

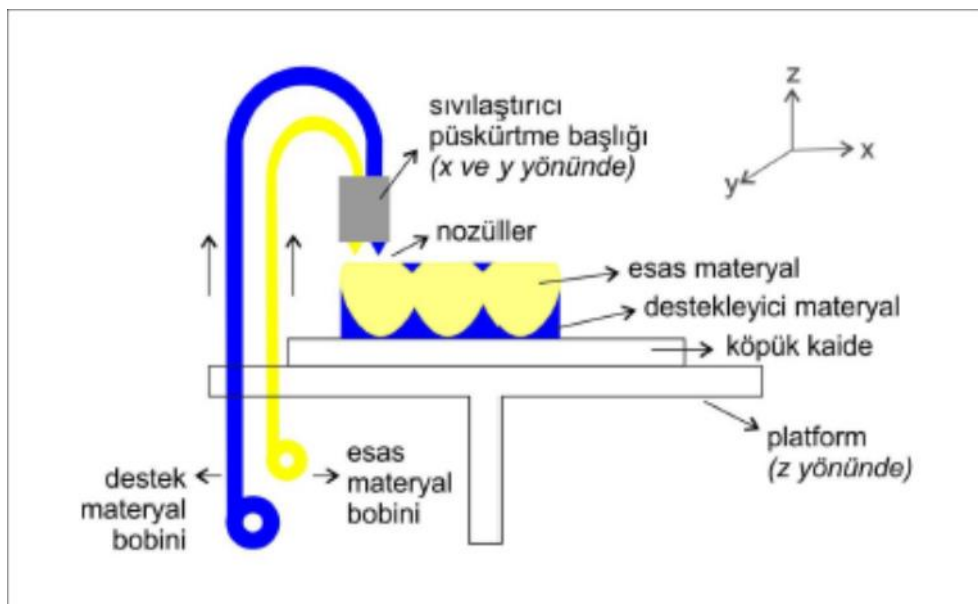
Bu teknolojide üretimin bel kemiğini fotopolimerler oluşturmaktadır. LED ile aktive olan fotopolimerler seramik parçalar arasında bağlayıcı olarak hareket edip, tabaka tabaka nesnenin yapılmasını sağlamaktadır. (Rudgley, 2001)

2.9.2 Eriyik yığma modelleme (FDM)

Bu yöntemin birkaç şekli mevcuttur. Genel olarak bunların hepsi bir nozilden materyallerin sıkılması esasına dayanır. Isı ile eriyen üretim malzemesinin küçük bir ağız üzerinden beslenmesi ile erilmiş filament üretimi gerçekleşir. Bir başka yaklaşım ise materyalin bir hizneden enjektör aracılığıyla beslenmesidir. 1980'lerde S. Scott Crump tarafından geliştirilmiştir (van Noort, 2012). Tabaka kalınlığı yaklaşık $127\mu\text{m}$ 'dir (Liu ve diğ. , 2005). Üretiminin aşamaları şunlardır: 3D bir cad modeli oluşturulur. Oluşturulan model bir programla ince kesitlere ayrılır. Bobinlerden üretilcek materyal ve buna destek olacak materyal olmak üzere iki materyal çözülmerek nozule gider. Nozulun ısınması ile materyaller erir. Yazılım kontrolünde nozül dikey ve yatay eksende hareket eder. Nozilden çıkan damlacıklar sertleşir ve tabakaları oluştururlar. Modelin tamamlanmasını takiben destekleyici materyal mekanik karıştırıcı cihazla kolaylıkla çözünür.

FDM üretim tekniği Şekil 2-3'de şematik olarak gösterilmiştir. (Ozyemişçi Cebeci ve Hancı, 2018) Bu üretimde termoplastik polimerler (akrilonitril butadien stiren, polilaktik asit, mum, ışıkla polimerize olan rezin), Van Noort (2012), ve seramik, Barazanchi ve diğ (2017), kullanılır.

Protetik tedavide kullanımı; döküm için mum modelaj örneğin hazırlanması, Van Noort (2012), anatomik modellerin eldesi, Dawood ve diğ. (2015), kulak muflası yapımı, Zmudzki ve diğ. (2017), bireysel kaşık yapımı, Chen (2016), ve yüz defektlerinin tedavisinde cerrahi modellerin yapımıdır (Naghieh, 2016).

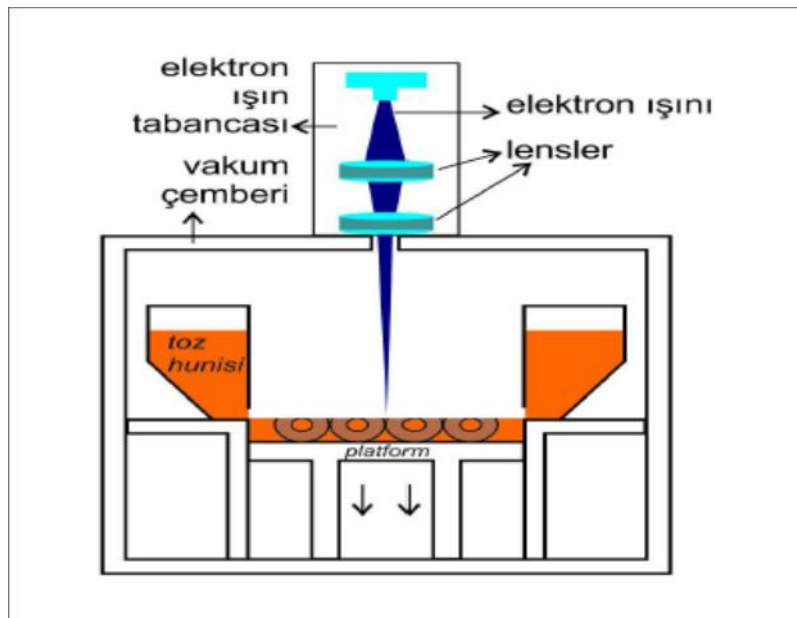


Şekil 2.3: FDM Üretim Tekniği.

2.9.3 Seçici elektron ışınılı ergitme (SEBM)

Metal cisimlerin yapımında kullanılır. Elektron ışınının yüksek vakum altında metal tozunu ergitmesi esasına dayanır. İlk cihaz 1997'de ARCAM şirketi tarafından üretilmiştir. Üretim aşamaları şunlardır: CAD programında istenen nesnenin üç boyutlu bir modeli oluşturulur. Oluşturulan model programla kesitlere ayrılır. Tungsten filament ısıtılıarak elektron ışını üretilir. Üretilen ışın elektromanyetik lenslerle üretimde kullanılacak toza yönlendirilir ve odaklanır. Elektron ışını düşüğü yerdeki tozu eritir. Tabakayı oluşturan toz eridikten sonra platform, katman kalınlığı kadar aşağıya iner. İlave toz, dağıtım haznelerinden sertleşmiş katmanın üzerine yayılır. Tabaka tabaka ürün elde edilene kadar bu işleme devam edilir. İşlem tamamlandıktan sonra soğutulma yapılır. Model üzerinde erimeden arta kalan yapışmış tozlar, imalatta kullanılan aynı tozla basınç altında temizlenir (Attar, 2011).

SEBM üretim teknigi Şekil 2.4'te şematik olarak gösterilmiştir. (Ozyemişçi Cebeci ve Hancı, 2018)



Şekil 2.4: SEBM Üretim Tekniği

Bu üretim tekniğinde metaller (Cr-Co ve titanyum alaşımları) kullanılır. Protetik tedavide kullanımı; çene yüz defektlerinin düzeltilmesinde kullanılan implantların eldesi, Van Noort, (2012), kron ve köprü protezlerinin altyapılarının üretimidir. (Koutsoukis ve dig., 2015).

2.9.4 Seçici lazer sinterleme (SLS) ve seçici lazer ergitme (SLM)

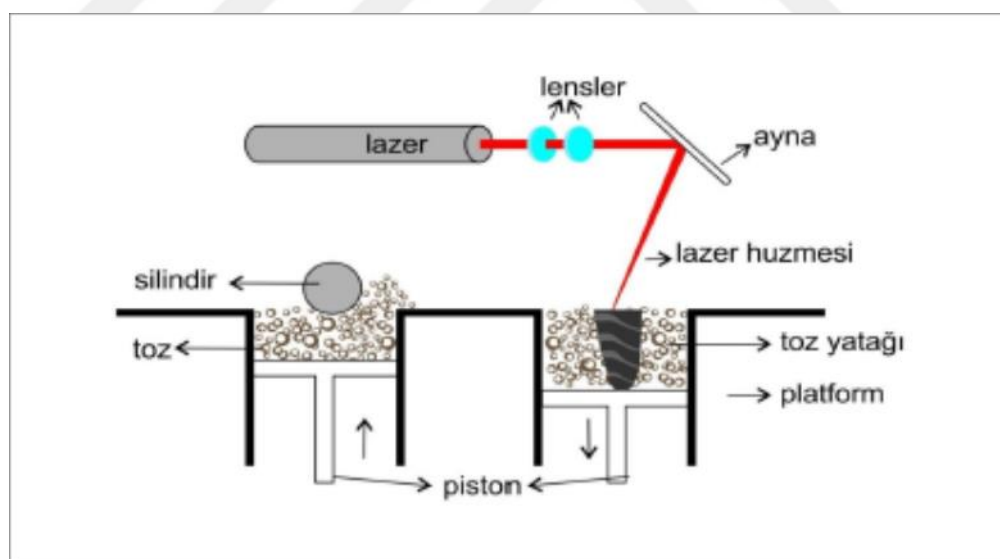
Bu iki teknikte birbirine çok benzer, ince toz halindeki materyale aynalar aracılığı ile lazerin yönlendirilmesi esastır. Bu teknolojiler ile çok karmaşık şekildeki nesnelerin üretilmesi mümkündür. SLS tekniğinin üretim aşamaları şunlardır: İstenen nesnenin üç boyutlu bir modeli CAD programında oluşturulur. Oluşturulan model CAD programıyla katmanlara ayrılır. Lazer ışının materyale temas etmesiyle, ışının sahip olduğu termal enerji sonucu ergiyerek birleşir. Her tabakanın taranmasından sonra üst tabakayı oluşturmak için platform bir tabaka kalınlığı kadar aşağıya iner. Tabaka tabaka model tamamlanana kadar bu işlem tekrar edilir (Van Noort, 2012).

SLS üretim tekniği Şekil 2.5'te şematik olarak gösterilmiştir. (Ozyemişçi Cebeci ve Hancı, 2018).

SLM tekniğinde kullanılan lazerin enerjisi daha yüksektir. SLM'nin farkı "kullanılan tozun homojen şekilde tamamen ergitmesi" olarak belirtilmektedir. Fakat bu fark çok belirgin değildir. Çünkü SLS tekniğinde kullanılan materyal

tek olduğunda "tamamen ergime" gerçekleşmiş olur. Bu materyalle birlikte bağlayıcı farklı materyal kullanılırsa kısmen ergime gerçekleşmiş olur. Bu iki tekniğin asıl sistemden ziyade elde edilen üründen kaynaklanmaktadır. SLS ile elde edilen ürünlerde tek materyal varken, SLM ile üretilen ürünlerde birden çok materyal vardır. (Kruth J. P. , 2005). SLM metal ürünlerin üretiminde kullanılırken, SLS genellikle polimer ve seramik kullanılır. Direkt metal lazer sinterleme (direct metal laser sintering) ifadesi SLM metal ve metal合金 ürünlerinde kullanıldığından kullanılmaktadır.

Her iki teknikte de sinterleme işlemi sonrası meydana gelen ısıl gerilim ve poroziteler büzülmeye, mekanik direncin azalmasına, yüzey yapısında düzensizliklere ve boyutsal stabilitede değişikliklere neden olabilmektedir. Meydana gelen bu istenmeyen etkileri azaltmak için "son işleme" (post-processing) veya "post-sinterizasyon" olarak adlandırılan ikincil bir fırınlama (tavlama) işlemi uygulanır. Bu işlem termal gerilimlerin miktarını azaltarak, yapısal bütünlüğün korunmasında ve mekanik özelliklerin geliştirilmesinde fayda sağlamaktadır (Kaleli ve Sarac, 2014).



Şekil 2.5: SLS Üretim Tekniği

Bu teknikte, kullanılan materyaller, seramik yapılar, (alümina porselen, zirkonya), metaller, (titanyum, Cr-Co, nikel合金ları) ve mumdur (Barazanchi ve diğ. , 2017).

Protezde kullanım alanları; döküm için mum modelaj örneğin hazırlanması, Kumar ve Ghafoor, (2017), diş implantlarının yapımı, kron ve köprü

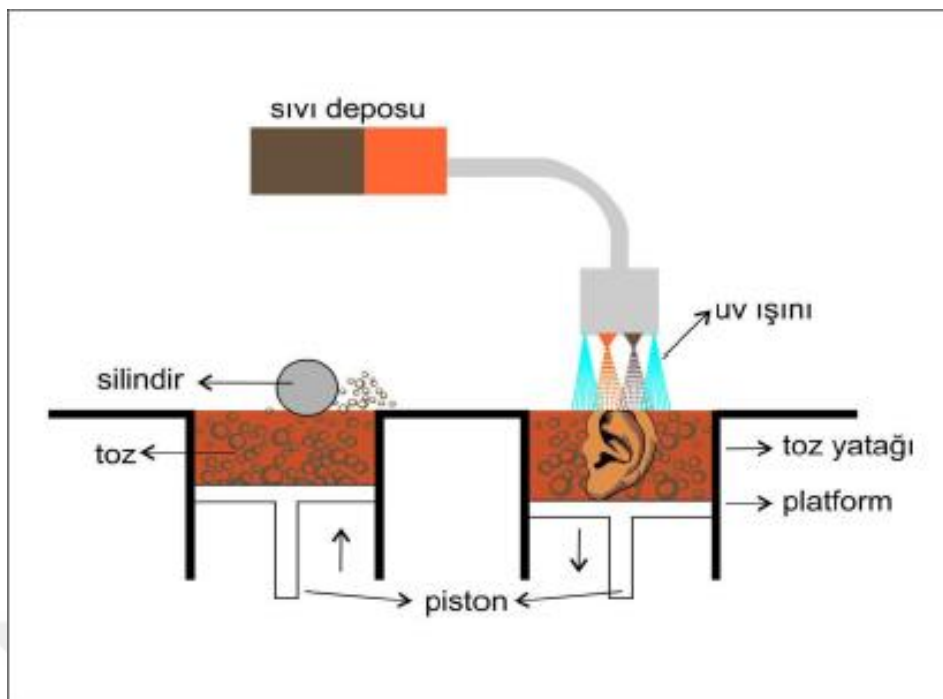
altyapılarının ve hareketli bölümlü protezlerin iskeletlerinin hazırlanmasıdır (Van Noort, 2012).

2.9.5 Mürekkep baskı üretim tekniği

1867'de bu tekniğin ilk cihaz patenti Lord Kelvin tarafından alınmıştır (Cahill, 2017). Mürekkep damlacıklarının bir alt yapıya püskürtülmesi üretimin ana prensibidir. Mürekkep olarak ifade edilen materyal renklendirici, bağlayıcı solüsyon olabildiği gibi seramik süspansiyonu veya hücre solüsyonu da olabilmektedir. Üretim aşamaları şunlardır; yapılacak nesnenin üç boyutlu bir modeli CAD programında oluşturulur. Oluşturulan model CAD programında tabakalara ayrılır. Üretim materyali küçük kanal içerisinde basınçla damla şeklinde, ısı veya vibrasyon ile çıkmaya zorlanır. Püskürtülen damlacıklar birikir ve sertleşir, tamamlanan tabakanın sertleşmesinden sonra yeni tabakaya geçilir. Sertleşme işlemi kullanılan malzemeye göre farklılık arz etmektedir. Sertleşme işlemi kurutma, ısıtma, ultraviyole ışığı veya kimyasal reaksiyon ile gerçekleşmektedir.

Mürekkep baskı üretim tekniği Şekil 2-6'da şematik olarak gösterilmiştir (Ozyemişci Cebeci ve Hancı, 2018).

SLM ve SLS üretimine benzer bundan başka metot daha vardır. Bu teknikte yayılı ince toz tabakasına bağlayıcının (lazer yerine) mürekkep püskürtürü ile gönderilmesidir. Bu metot çok renkli nesnelerin üretilenbildiği tek teknolojidir (Van Noort, 2012). Materyalin rezin esaslı malzeme olmasından dolayı bu yöntem "photopolymer jetting", Dawood ve dig. (2015), veya "polyjet printing" , Grant (2015), olarak da bilinmektedir. Toz tabaka üzerine sıvı püskürtme yöntemine "toz bağlayıcı baskı (powder binder printing)" adı verilmiştir.



Şekil 2.6: Mürekkep Baskı Üretim Tekniği

Mürekkep baskı üretim teknliğinde kullanılan materyaller; alçı, Dawood ve diğ. (2015), seramik rezin, Mai ve diğ. (2006), ve renklendiricilerdir.

Protetik tedavide kullanımı ise model yapımı, çene yüz protezi yapımı, seramik altyapı üretimi, geçici kron-köprü yapımı cerrahi plak yapımı, cerrahi plak, ağız koruyucusu ve apne apareyi yapımıdır (Karatas ve diğ. , 2011).

Bu teknik, ortodontik braketler için rehber plakların ve ortodontik apareylerin yapımında kullanılmaktadır Bu tekninin en belirgin ayırt edici özelliği farklı özelliklerde iki malzeme kullanılarak bir nesne elde edilebilmesidir. Örneğin farklı renk yumuşak ve sert alanları olan ağız koruyucusu veya doku rengine uygun renkli epitez yapımı mümkündür. Tabaka kalınlığı yaklaşık 12 μm 'dir (Liu ve diğ. , 2005).

2.10 Eklemeli Üretim ve Diş Hekimliği

2.10.1 Selektif lazer sinterleme ve diş hekimliğinde kullanımı

Lazer enerjisi kullanılarak gerçekleştirilen tabakalı üretim tekniklerindendir. Diş hekimliğinde en sık kullanılan tabakalı üretim teknigidir. Alaşım tozu bir yatak üzerine yığılır, toz yatağına sabit kalınlıkta alaşım tozu yerleştirilmesi toz yatağının üzerinden geçen bir silindir ya da seviyeleme sistemi yardımı ile

sağlanır. Bu aşama sırasında partiküllere silindir ile basınç uygulanarak partiküllerin daha da küçülmesi sağlanmış olur. Toz alaşım tabakasının kalınlığı 20-100 μm arasındadır.

Katman kalınlığının 20 μm olarak ayarlanması sebebi diş hekimliğinde üretilen nesnelerin oldukça küçük olmasıdır. Lazer demeti galvano aynaların rehberliğinde üretilecek cismi oluşturmak üzere her tabakadan sonra cisim tamamlanıncaya kadar defalarca toz yatağını tarar.

Tarama işlemi termal ve mekanik olarak üç boyutlu nesne tamamlanana kadar devam eder. Lazer işinin taramadığı toz kısmı aynı halde kalır ve üretilen parçaya destek sağlar. Üretimin yapıldığı alan kapalıdır ve süreç oksidasyonu engellemek için nitrojen ya da argon gazının bulunduğu inert bir atmosferde gerçekleştirilir. Yoğunluğu % 60'ı geçen parçalar üretebilme amacı ile hazırlanmış özel toz karışımı selektif lazer sinterlemede kullanılır (Santos ve dig. , 2006). SLS yöntemi tip ve diş hekimliğinde birçok alanda kullanılabilmektedir (Akova ve dig. 2008; Ucar ve dig. , 2009; Quante ve dig. , 2008; Mangano ve dig. , 2011; Mangano ve dig. , 2013a ; Mangano ve dig. , 2013b; Mangano ve dig. , 2014a; Mangano ve dig. , 2014c; Mangano ve diğerleri, 2015; Castillo-Oyagüe ve dig. , 2013). Diş hekimliğinde başlıca kullanım alanları kranial, dental implantlar, hareketli protezlerin metal iskeletleri, sabit protetik restorasyonların metal altyapıları, implant üstü restorasyonların alt yapıları ve çalışma modellerinin eldesidir (Akova ve dig. , 2008; Santos ve dig. , 2004; Quante ve dig. , 2008). Döküm tekniğiyle üretimde metal altyapılarda meydana gelen büzülmeler SLS yönteminde yok denilecek kadar az olduğundan metal alt yapıların tekrardan üretim gereksinimi neredeyse yoktur. Doğru bir ölçü alınıp doğru bir model elde edilirse, metal altyapının tekrar yapılmasına gerek kalmaz. Bu hasta, hekim ve teknisyen açısından büyük avantaj sağlar. İşlemler kısa sürede ve hassas bir şekilde yapılmış olur. Metal provada uyumlamanın yapılmasına ya da metal altyapının tekrarına gerek kalmaz. Bu ekonomik kazanım adına önemlidir.

Seçici lazer ergitme (SLM), selektif lazer sinterlemeye çok benzer bir yöntemdir. Fakat selektif lazer ergitmede yüksek enerji sayesinde kullanılan toz tamamen ergimeye uğrar. Bundan dolayı, selektif lazer ergimedede daha yüksek yoğunlukta nesneler üretilebilir (Santos ve dig. , 2006; Wang ve dig. , 2002).

SLM yöntemiyle yoğunluğu tam nesneler üretilebilmektedir. Fakat doğru kontrollü işlemler yapılmazsa, üretilen parçalarda işlem esnasında oluşan yüksek sıcaklık değişimlerinden dolayı yüksek iç gerilimler ve zayıf yüzey bitimi meydana gelir (Tolochko ve diğ. , 2004).

2.10.2 Eklemeli üretimde kullanılan materyaller

2.10.2.1 Polimerler

Çok çeşitli maddeler içerirler. Eklemeli üretim makineleri, programlanmış yapılar oluşturmak için hammadde olarak polimerler kullanır. Termoplastikler bu gibi polimerlerin bir örneğidir. Bunlar genellikle termoplastik malzemeden filamanların ısıtıldığı, daha sonra hassas yapılar oluşturmak için nozilden ekstrüze edilen erimiş çökeltme modeli (FDM) makineleri tarafından kullanılır. Örnekler arasında akrilonitril bütadien stiren (ABS) ve daha çevre dostu polilaktik asit (PLA) polimeri bulunmaktadır (Turner ve diğ. , 2014). Polilaktik asit (PLA) ABS ile karşılaşıldığında güçlü darbe dayanımı ve toksik olmayan yüzeyi nedeniyle geçici bir malzeme olarak da olsa, ağız içinde kullanım için daha uygundur.

Bazı çalışmalarında, FDM makineleri tarafından ekstrüze edilen filament dolgularına biyolojik bileşikler eklendi. Biyoaktif tri-kalsiyum fosfatlı termoplastik madde içeren biyolojik olarak çözünebilir polyesterin dış hekimliğinde doku iskelet yapılarının inşasında kullanılmaya yönelik umut verici olduğu görülmüştür (Yefang ve diğ. , 2007). Mum, eklemeli tekniklerde yaygın olarak kullanılan bir başka polimerdir. Her ne kadar çeşitli eklemeli teknikler ile yapı için bir destek malzemesi olarak kullanılmış olsa da, kompleks protetik vakaların mum modelajları (wax-ups) için bir yapı malzemesi olarak kendi başına kullanılmıştır (Van Noort, 2012). Eklemeli üretiminde yaygın olarak kullanılan bir başka polimer grubu, fotopolimerizan reçinelerdir. Stereolitografi (SLA) makinelerinde genellikle yapı malzemesi olarak bu tip polimerler kullanır. UV ışığı veya lazeri kullanarak tabakalar oluşturulur. Bu polimerler, renk, sertlik ve bileşenlere göre çok daha fazla çeşitlilik sunar. Bunlar biyoaktif cam gibi biyo-uyumlu ve biyoaktif bileşenlerle de karıştırılabilir. Çalışmalar aynı zamanda eklenmiş bileşiklerin eşit dağılmاسını ve biyoaktif özelliklerin in vitro ortamda görüntülenmesini mümkün kılar

(Elomaa ve diğ. , 2013). Işıkla sertleştirilmiş reçineler, aynı zamanda, kayıp mum döküm işleminde manuel mumlama aşamasının bir alternatif olarak da kullanılabilirler. Üniform, hassas nihai yapılar oluşturabilen döküm için bir modelaj kalıp oluşturabilirler (Kim ve diğ. , 2013a).

2.10.2.2 Seramik

Doku iskeletleri veya seramik dış protezleri olarak kullanılmak üzere seramik yapıların üretimi için çeşitli eklemeli teknikler kullanılmıştır. Bunlar , seramiğin seçici lazer sinterlemesi (SLS) veya yeşil seramik formunun ekstrüzyonu ve tam sertleşmeyi elde etmek için ürünün sinterlemesini içeren tekniklerdir (Ebert ve diğ. , 2009). SLS teknolojisinin kullanılması, seramik tozu veya önceden sinterlenmiş bir seramik içerir. Bununla birlikte, günümüz'e kadar, seramik tozunun doğrudan SLS'si, yüksek yoğunluğun sağlanması zor olduğu, gözenekli yapılara neden olmuştur. Bu nedenle, çoğunlukla, biyoaktif doku iskeletlerinin üretimi için cam seramiklerinin modifiye edilmesinde kullanılmıştır. Ancak, porselen bulamacı üzerinde SLS teknikleri yoğun bir nihai seramik yapının yapımını sağlamıştır (Tian ve diğ, 2009). Toz yataklı mürekkep püskürtmeli 3D baskı ve vakum infiltrasyonunu içeren bir başka eklemeli tekniğin, yüksek yoğunluklu ve tatmin edici mukavemete sahip, yoğun alümina takviyeli seramik yapı oluşturduğu bulunmuştur (Maleksaeedi ve diğ. , 2014). Ham zirkonya protezleri de benzer bir yöntemle üretilmiştir (Ebert ve diğ. , 2009). Yoğun alümina takviyeli seramik yapılar SLA makinelerinde başarılı bir şekilde yoğun alümina içeren fotopolimerizan reçineler ile üretilmiştir. Bu teknik umut vericidir, çünkü SLA makineleri şu anda mevcut olan en doğru eklemeli teknolojilerden biri olarak kabul edilmektedir (de Hazan ve diğ. , 2012). Bununla birlikte, eklemeli teknikler kullanılarak üretilen yeşil haldeki seramik sinterlenirken anizotropik (belirli fiziksel doğrultulara göre özelliği değişen cisimler) bütünlük ile ilgili sorunlara sahiptir. Üretim sürecinin doğası gereği merdiven basamaklı bir yüzey etkisi gösterir ve bu yüzden bunun sadece bir doku iskeleti olarak faydalı olduğu görülmüştür (Denry ve Kelly, 2014).

2.10.2.3 Bağlayıcı / toz kombinasyonu

Mürekkep püskürtmeli 3D baskı teknolojisi ile toz yatağından, yüksek doğrulukta özel bir bağlayıcı ile püskürtür. Bu bağlayıcı / toz kombinasyonları, alçıdan çeşitli metallere ve seramiklere kadar değişimdir. Seramikler, kendi başlıklarında ayrıntılı olarak tartışılmaktadır.

2.10.2.4 Metaller

Bu alanda yapılan araştırmalar, temel olarak titanyum, CoCr ve nikel alaşımlarından yapılmış metalik yapıların üretimi için SLS tabakalama tekniğinin kullanımına odaklanmıştır. İlk yapılar genellikle çeşitli faktörlere bağlı olarak zayıf bir yüzey kalitesine sahip ve gözenekliydi. Metal tozu birbirine bağlamak için polimer kullanıldığından, lazer sinterleme sırasında bağlayıcı ortadan kalktığı için gözenekli bir yapı üretildi ve yeterli yoğunluğa ulaşmak için infiltrasyonu içeren diğer adımlar gereklidi. Ayrıca, ilk SLS makinelerinde vakum sistemi yoktu, lazer çapı ve gücü yeterli yoğunluğu sağlamak için uygun değildi. Bunların hepsi, yük taşıma kapasitesine sahip alt metalik yapıların üretimi için verimsizdi (Kathuria, 1999 ; Khain ve diğ. , 2001; Osakad ve Shiomi, 2006). Fakat bu konular son birkaç yılda büyük ölçüde aşıldı. Nikel içeren alaşım, nikel alerjisi riskinden dolayı artık dış protezlerinde kullanılmazken, eklemeli teknikler kullanılarak imal edilen titanyum yapıları üzerinde araştırmalar yapılmıştır.

Bu araştırmalarda tabakalama teknikleri kullanılarak imal edilen titanyum yapılarının, bazı yüzey pürüzlülüğü olsa bile, elverişli bir akma mukavemetine, nihai gerilme mukavemetine ve süneklige sahip olduğu gösterilmiştir (Frazier, 2014). Klinik araştırmalar ayrıca üretilen yapıların maksillofasiyal protezlerde ,Jardini ve diğ. , (2014a) ;Jardini ve diğ. , (2014b), kullanılmak üzere biyoyumlu olduğunu ve iç yüzey pürüzlülüğünün implantların osseointegrasyonuna yardımcı olduğunu göstermiştir. (Figliuzzi ve diğ. 2012, Mangano ve diğ. , 2014b)

SLS kullanılarak imal edilen titanyum alaşımı (özellikle Ti6Al4V) özellikleri üzerinde pek çok iyi tasarlanmış çalışmamasına rağmen, aynı teknoloji kullanılarak üretilemeyecek diğer malzemeler üzerinde çalışma çok azdır. Mevcut hamaddenin baz metal CoCr ve kıymetli metalleri içerir. Geleneksel döküm ve

frezeleme sırasında karşılaşılan zorlukların üstesinden gelmek için doğrudan metal lazer sinterleme (DMLS) gibi eklemeli üretim tekniklerinin kullanımı CoCr gibi sert malzemeler için büyük bir olasılıktır. Döküm sırasında meydana gelen büzülme ve kazıma için CoCr sertliğinin yüksek olması gibi zorluklar, DMLS teknolojisi kullanıldığında aşılır, çünkü yapıların üretimi sırasında aktif bir kuvvet uygulaması yoktur. (Abduo, ve diğ. , 2014) DMLS üretim teknikleri kullanıldığında az miktarda geri dönüştürülemeyen atık üretilir. Dijital imalatta değerli metallerin kullanımını, hala nispeten pahalı olsa da, bu tekniklerde mümkündür (Berman, 2012).

Kobalt krom

Kıymetli alaşımalarla karşılaşıldığında, diş protezlerinin alt yapısında kullanılmak üzere baz metal CoCr kullanımı, kısmen değerli alaşımaların maliyeti ve hastalar üzerindeki ekonomik baskiya bağlı olarak artmış, CoCr 'nun özellikleri üzerine araştırmalar ortaya çıkarmıştır. Sadece değerli alaşımalar üzerinde maliyet açısından avantaj sağlamakla kalmaz, aynı zamanda protez alt yapılarda kullanılan diğer metallere kıyasla porselen ile daha iyi bağlanma özelliğine sahiptir. Daha yüksek Young modülü, daha yüksek sertlik, düşük yoğunluk ve iyi korozyon direnci özelliklerine sahiptir. Bu özellikler protezlerin daha uzun süreli yüklerle karşı daha dayanıklı olmalarını ve uzun vadede ağız içerisinde hizmet vermelerini sağlar.

CoCr yapılarının mevcut üretimi

Baz metallerin, değerli alaşılardan dökülmeleri daha zordur. Uygun bir şekilde üretilmeleri için önemli bir deneyime gereksinim duyulmasından dolayı kullanımları daha zordur. Sertleşme sırasında meydana gelebilecek büzülme, alt yapının bozulmasına neden olabilir. Alaşımın doğal yüksek sertliği aynı zamanda teknisyenler veya diş hekimleri tarafından yapılan düzenlemeleri daha zorlaştırır. (Anusavice ,1996)

Buna karşılık, dijital iş akış yöntemleri, geleneksel tekniklere göre daha tatmin edici olabilmektedir. Bu teknikler gelişmekte ve daha da artmaktadır. Bununla birlikte, daha önce belirtildiği gibi, mevcut eksiltme üretim tekniğinin malzeme israfı, kesme uçları üzerindeki stres ve işlem sırasında büzülme ile ilgili sorunları vardır. Bu yüzden CoCr yapılarının üretimi için freze makineleri ideal

olmayabilirler (Choi ve dig. 2014). Protetik tedavide kullanılan diğer metalller ile karşılaşıldığında yüksek Young modülü, yüksek sertlik , düşük yoğunluk, iyi korozyona karşı direnç vardır (Li, 2015).

Eklemeli üretim CoCr üretimi için umut verici bir yöntemdir. Geçmişte, SLS tabanlı makineler, üretim sonrası birçok işlem gerektiren oldukça zayıf ve gözenekli yapılar üretmişlerdir (Liu ve dig. , 2005). Bununla birlikte, tekniğin bir varyasyonu doğrudan metal lazer sintering (DMLS) olarak adlandırılmıştır.

Sinterleme (DMLS), yoğun son ürünlerin üretimini sağlamaktadır. DMLS teknolojisi kullanılarak üretilen porselen metal (PFM) kronların doğruluğunu karşılaştırın çalışmalar, bu metodla üretimin dış protezlerinde kullanılmak üzere tatmin edici bir marginal uyumluluğa sahip olduğunu belirtilmiştir (Ucar ve dig. 2009).

DMLS tekniği ile üretilen cocr yapılarının özellikleri

PFM kronlarında bir alt yapı olarak kullanılmak üzere üretilen CoCr 'un özellikleri açısından, sadece birkaç çalışma yayınlanmıştır (Frazier, 2014). Bu çalışmaların çoğu aranılan özellikleri tatmin edici bir şekilde test etmemektedir. Bir çalışma haricinde, hepsi son 2 yılda yapılmıştır. En çok karşılaşılılmış alt yapılar piyasada ticari olarak bulunan üç makine tarafından üretilen alt yapılardır. Bu makineler : PM 100/PXM (Phenix Systems, Riom, France), Eosint M270/M280 (EOS GmbH, Munich, Germany),ve Bego (Bego Medical, Bremen, Germany)' dur. Bu makinelerin en popüler olanı Eosint makineleridir.

Mevcut üretim teknikleri ile karşılaşıldığında PFM protezlerinde kullanım için DMLS ile üretilen CoCr yapılar test edilirken, belirli özellikler incelenmelidir. Bu içerikler, PFM restorasyonlarında kron seramigine destek sağlamak üzere üretilen CoCr metalinin elastik özelliklerinin ve sertliğinin araştırılmasını içeren fiziksel deneylerdir. Başka bir araştırma noktası, mikroyapı bileşenleri olmalı ve belirtilen fiziksel özelliklerin kanıtlanması için ve metalin yapısal organizasyon şeklinin doğal haliyle ve fırınlama işlemlerinden sonra tespiti olmalıdır. Mikroyapısal analizler yapılmalıdır.

Bahsedilen test ile görülen özellikleri açıklamak için porselen-metal birleştirme yüzeyi incelenmelidir. Porselen ile metal arasındaki yapışma mukavemetinin test edilmesi, yükleme testlerini kullanarak hata noktasını doğru bir şekilde

tespit etme yeteneğine odaklanmalıdır. Bir PFM yapışma enerjisini araştırmak için deney düzeneği, Suansuwan ve Swain tarafından adapte edilen yöntemdir. Metotları, iki katmanlı dış materyallerini, bir çatlak oluşturarak, 4 noktalı bir büküm testi kullanarak, gerilim enerji salınımını ölçerek test eder. İki katmanlı arayüz boyunca devam eden bir çatlak uzantısının gerilim enerji salma miktarı tepit edilir. (Suansuwan ve Swain , 1999) Kırılma alanları aynı zamanda, başarısızlık şeklini belirlemek için dikkatli bir inceleme gerektirir. Çünkü farklı tipteki hatalar, adeziv / koheziv veya karışık da dahil olmak üzere, porselen-metale bağlanma ile ilgili farklı tipteki sorunları gösterir. Mevcut çalışmaları gözden geçirirken, tüm bu özelliklerin yeterince araştırıldığı görülmektedir. DMLS imal edilmiş CoCr 'nun çekme testi için, çoğu standartlaştırmış test kriterlerine göre boyut veya metodoloji içeren numuneler kullanılmamıştır (Al Jabbari ve diğ, 2014 ; Bae ve diğ. , 2014; Takaich ve diğ. , 2013). Diğerleri, CoCr metallerde en yaygın değişikliklerden biri olmasına rağmen, porselen ve metal arasındaki yapışma mukavemetini analiz etmemiştir. Bu dış protezlerinde aynı zamanda başarısızlığın en olası yeridir (Choi ve diğ. , 2014; Wu ve diğ. , 2014; Al Jabbari ve diğ. , 2014; Krug ve diğ. , 2015; Xin ve diğ. , 2014).

Yapılan bağlanma testi araştırmalarında kullanılan örnek sayısı uygun istatistiksel analiz için çok küçüktü, Zhang ve diğ. , (2012), bilinen bir standart test yöntem kullanılmıyordu, Akova ve diğ. (2008) ,veya yanlış yapılmış gibi görünüyordu (Serra-Prat ve diğ. , 2014). Serra-Prat ve arkadaşları yapmış olduğu çalışmada, örneklerin fırınlanması sırasında porselenin küçülmesi doğru bir şekilde telafi edilememiş ve nihai sonuçları etkilemiştir bu yüzden çalışma sonuçlarının tekrarlanabilirliğini zorlaştıran yaklaşık boyutlar kullanılmıştır. Ayrıca, başarısızlık türünü belirlemek için test sonrası kırılma yerlerinin mikroskopik incelemesinde de bir eksiklik vardı (Wu ve diğ. , 2014). Bunun gerekli olmasının bir nedeni, prosedürel hataların (özellikle porselen fırınlama sürecinde) sonuçta bir faktör olmadığını garanti etmektir. Mevcut üretim yöntemleri, eksiltici üretim ve klasik döküm ile karşılaşıldığında, dış protezlerinde kullanılmak üzere DMLS ile üretilen metaller genel olarak, olumlu görülmektedir. Bununla birlikte, dış protezlerinde CoCr kullanılan, mevcut çalışmaların çoğu ciddi titizlik göstermemektedir.

2.10.3 Eklemeli üretim uygulamaları

Eklemeli üretimle ilgili geniş malzeme ve üretim teknikleri, tıp ve diş bilimleri uygulamalarına yönelik kapsamlı araştırmalara yol açmaktadır. Thomson Reuters Web of Knowledge'in verilerine göre, tanı, cerrahi eğitim ve planlama için biyomodellerin üretilmesi, eklemeli üretim teknolojisinin en yaygın kullanımı olarak gözüküyor, ardından implant edilebilir cihazların doğrudan üretilmesi için uygulama izliyordu (Lantada ve Morgado, 2012). Maksillofasiyal cerrahide ve implantolojide, gelişen transmisyon tabanlı tarama yöntemleri (CT ve MRI), herhangi bir invaziv işlem yapılmadan önce yapıları yüksek doğrulukta tarama yeteneğinde bir artış anlamına gelmiştir (Galantucci, 2010). Bu, prosedürlerin önceden planlanmasına ve gerekli olabilecek yapıların doğru şekilde üretilmesine yardımcı olur. Maksillofasiyal protezlerin üretimi ve kranial rekonstrüksiyonda eklemeli üretim kullanımı artmıştır. Bir yüz protezini yaparken duyulan rahatsızlık derecesi, defekt alanının bir modelinin yapılabilmesi için, hastalardan ölçü materyali ile ölçü alınmasıyla ile ilgilidir. Bununla birlikte, yüz taraması bu adımı ekarte edebilir ve direkt sitenin 3D bir modelini oluşturabilir (Hatamleh ve Watson , 2013). Ayrıca, simetri mikrotia (küçük kulak) gibi vakalarda önemlidir, yetenekli teknisyenler modelaj mumlaması sırasında bunu ayarlayabilirler. Teknisyenlerden daha güvenli, kontralateral kulağı basitçe kopyalayabilme, CAD yazılımı ile ayarlayabilme doğrudan kulağı basabilme veya karşıt kulağı dökme için negatif bir kalıp üretebilmeyi sağlarlar. Genel protez üretim maliyeti büyük ölçüde azalır (Watson ve Hatamleh , 2014). Silikon protezler 18 ay içinde değişiklik göstermeye başlarken, (Santos ve dig. , 2012) insan kulağı aynı kalmaktadır; bu yüzden ölçüde tekrar tekrar kullanılabilecek bir dijital kopyaya sahip olmak operatör ve hasta için protezin yeniden yapılmasını kolaylaştırır (Kolodney ve dig, 2011). Maksillofasiyal cerrahide, ilgili alanın taramalarına dayanan bir modelin basılması , karmaşık vakaların daha kapsamlı bir şekilde önceden planlanmasını ve prosedürden önce üretilen parçalarının uygunluğunu test etmeyi sağlar. Bu, imal edilmiş protezlerin uyum doğruluğunu artırmasına ve ameliyat süresinin 30 ile 90 dakika arasında azalmasına yardımcı olmaktadır (Wilde ve dig. , 2012). Ayrıca, büyük kraniyal defektleri tedavi ederken özelleştirilmiş kraniyal yeni yapılandırma implant protezleri gereklidir. DMLS

ekleme teknolojisi kullanılarak özel olarak üretilen titanyum implantların, bu tür kusurlar için kullanımını, ameliyat sırasında geleneksel yöntemlere göre çok daha hızlı üretimi ve yerleştirilmeyi sağlamıştır. Bu, tasarım aşamasında her bir duruma uygun çeşitli modifikasyonların yapıldığı yüksek doğruluk ve kolaylıktan kaynaklanmaktadır (Jardini ve dig. , 2014a; Jardini ve dig. , 2014b). İmplantolojide, cerrahi kılavuzların kullanımı daha iyi planlama ve operasyonel komplikasyonların azaltılması için şiddetle tavsiye edilmiştir (Lal ve dig. , 2006).

SLA kullanılarak üretilen cerrahi kılavuzların uygunluğunun, 2° lik açısal sapma ve hekste 1,1 mm ve apekte 2 mm lineer sapma ile oldukça doğru olduğu gösterilmiştir. Özel implant vidaları da araştırılıp yapılmaktadır (Turbush ve Turkyılmaz , 2012).

SLS eklemeli üretim ile, karmaşık geometri ve gözenekli yüzey yapısına sahip implantlar üretilebilir. Bunun osseointegrasyonu arttırdığı belirtilmiş , Huang ve dig. , (2010); Mangano ve dig. , (2010) ,ve hastalarda başarılı bir şekilde test edilmiştir. (Figliuzzi, 2012; (Mangano ve dig. , 2014b)

Eklemeli üretim teknolojinin diğer kullanım alanı ise doku matriksi üretimidir. Kalsiyum ve fosfat gibi biyoyumlu ve biyoaktif parçacıklarının kolayca yerleştirilmesini ve eşit olarak dağıtalabilmesini kolaylaştırır.

İşlem aynı zamanda doku matrikslerinin üretimi sırasında daha yüksek bir hassasiyet düzeyine de izin verir. Geleneksel yöntemlerde, matriksteki gözeneklerin geometrisini, büyülüğünü ve aralıklarını hassas bir şekilde kontrol etmek zordur (Ge Z Jin ve Cao , 2008). Yapı matriksinin vaskülarizasyon ve osteogenezis sağlamak için 300 µm 'den daha büyük gözenek boyutlarına sahip olması önerilir.

Eklemeli üretim makineleri, yüksek baskı doğruluğu nedeniyle ayarlanabilir boyutlara sahip gözenekler üretebilmektedir (Karageorgiou ve Kaplan, 2005). Bu teknikler, genel sertliği ve çözünme hızını kontrol etmeyi sağlayan, özelleştirilebilir matriks malzemesine sahip kemik greft uygulamaları için kullanılabilir (Habibovic ve dig. , 2008).

Ağız içi protetik uygulamalar için, eklemeli üretim tekniklerinin kullanımını, intraoral taramalardan alçı modellerin eldesi ve diş protezlerinin doğrudan

üretimi, kesin protezlerin planlanması ya da revetmana alınması için mum modelleme, Wilde ve dig. (2012), özel yapımlar dahil olmak üzere, çeşitli yapım alanlarıdır. SLS teknolojisi kullanılarak metalik protezlerin imalatı, titanyum iskeletler ve CoCr yapılarının üretimi için araştırılmaktadır. CoCr çıkarılabilir kısmi protezleri doğrudan üretmek için eklemeli üretiminin kullanılması Bibb ve Eggbeer tarafından araştırılmış ve hastalar için tatminkar olduğu bulunmuştur (Bibb ve Eggbeer , 2006). *In vivo* bir çalışmada, DMLS üretim tekniği kullanılarak imal edilen CoCr bazlı PFM kronlarının kullanımı araştırılmıştır. Bu çalışmada, marginal adaptasyon ölçülmüş ve kullanım için klinik olarak kabul edilebilir doğrulukta olduğu gösterilmiştir. Zirkonya kronları, ekleme teknolojisi kullanılarak başarılı bir şekilde üretilirken ve gelecek için umut vaat etmektedir. Üretim sırasında oluşan gözeneklilik nedeniyle hala uzun süreli yapımı ihtiyaç duydukları için klinik ortamlarında kullanılacaklarsa daha fazla araştırma yapılması gerekmektedir.

Mevcut çok çeşitli üretim metotları ve materyaller sayesinde, bu teknoloji kullanılarak, tam maksiller ve mandibular akrilik protezlerin üretimi dahil olmak üzere birçok başka uygulama araştırılmaktadır. SLA teknolojisi ototransplantasyon prosedürlerine yardımcı olur (Bidra ve dig. , 2013; Shahbazian ve dig. , 2012). Gerçeğe yakın diş ve tıbbi anatomik eğitim modellerinin üretimini sağlar (Rengier ve dig. , 2010). Bu uygulamaların, eklemeli üretim makineleri fiyatlarında beklenen düşüş ve hızla gelişen teknolojiyle birlikte, önumüzdeki yıllarda artmaları beklenmektedir (Van Noort, 2012).

2.10.4 Mevcut eklemeli imalat makinelerinin doğruluğu

Üretilen yapıların doğruluğu, üretilen geometrilere, üretim yöntemine ve kullanılan malzemelere göre değişir. SLA, 25 mikron katman kalınlığına sahip yapılar üretебilir. Mürekkep püskürtmeli baskı, 12 μm 'lik bir katman kalınlığına ulaşabilirken, FDM'nin yaklaşık 127 μm doğruluğu olduğu görülmüştür (Liu ve dig. 2005). Tüm bu üretim tekniklerinin araştırılmakta olan çeşitleri vardır ve nano ölçek yapıların üretiminde umut vaat etmektedir (Vaezi ve dig. , 2012). Pratik olarak eklemeli üretiminin doğru uygulamalarının birtakım örnekleri vardır. Eklemeli üretim kullanılarak üretilen implant abutmentlarının, 11 μm 'lik

bir dikey boşluğa sahip oldukları bildirilmiştir (Abduo ve diğ. , 2011). Bununla birlikte, marjların yeteri kadar üniform tek biçimli olmadığı görülmüştür.

Bu da eksiltici üretimi, implant bileşenlerini imal etmek hala en güvenilir yöntem haline getirmektedir.

Ekleme teknolojisi kullanılarak üretilen implant kılavuzları, 0,4 mm'lik bir boyutsal hata ve 5 dereceden daha az bir açısal sapma göstermektedir (Turbush ve Turkyılmaz, 2012). Yüz protez modellerinde, doğruluk, 0,1 - 0,4 mm'lik bir hata aralığı ile tatmin edici bulunmuştur.

PFM iskeletleri söz konusu olduğunda, DMLS teknolojisinin yakın zamandaki gelişmesi nedeniyle, nispeten az sayıda çalışma vardır. Eklemleri teknikler kullanılarak imal edilen sabit diş protezlerinin iç ve dışsal uyumunu bildirmektedir. Freze makinelerinin marjinal uyumlulukta doğruluğunu araştıran benzer çalışmalarla ölçüm yöntemi, kaydedilen nokta sayısı ve kullanılan ticari makine tipi çeşitlendirilmiş, karşılaştırmalar zorlaştırılmıştır.Çoğu çalışma, muhtemelen maliyeti ve son zamanlarda popülerlik artışı nedeniyle CoCr 'u bir baz metal olarak kullanmıştır (Anusavice K. , 1996). Protezin uyumunu incelerken kullanılan yöntemler, oluşturulan protezin uyum yüzeyinin silikon replikasını yapmak ve daha sonra manuel mikroskopla inceleme ölçümlerini kullanmaktadır. Diğer çalışmalarla silikon kopyaları dijital olarak taranıp ve bir CAD programı kullanılarak uyumsuzluk alanlarını haritalamak için hazırlanan abutmentin 3D modeline bindirilmiştir. Diğerleri hem protez hem de abutment replikasyonu bölümlerine ayırmış, daha sonra mikroskop veya dijital fotoğrafçılığı kullanarak uyum yüzeylerindeki önceden belirlenmiş noktaları ölçmüştür (Ortorp ve diğ. , 2011). Ortalama marjinal boşluk tutarsızlığı 70 - 102 nm arasında değişirken, çoğu yazar bu sonuçların dental kullanım için kabul edilebilir klinik aralığta olduğunu kabul etmiştir (Kim ve diğ. , 2013a; Ucar ve diğ. , 2009; Kim ve diğ. , 2014b; Ortorp ve diğ. , 2011; Tamac ve diğ. , 2014; Xu, ve diğ. , 2014). Sadece bir çalışmada DMLS kullanılarak üretilen protezlerin uyumunun tatmin edici olmadığı anlaşılmıştır, 65-162 μm 'ye kadar değişen tutarsızlıklar tespit edilmiştir.

Bununla birlikte, bu çalışmada, bir döküm grubu veya eksiltmeli bir grup gibi bir kontrol grubu bulunmamaktaydı ve bu nedenle metodları ile ilgili herhangi

bir sorunun varlığı ortaya konulamamış olabilir. Aynı yazarlar, bir sonraki yazında, CoCr PFM kronlarının üretimi için DMLS teknolojisinin yaklaşık 55 μm . civarında bir ortalama uyumluluğa sahip olduğunu belirtmiştir. (Kim ve dig. , 2013a). Son araştırmada bu teknolojiyi, diş hekimliğinde klinik kullanım için, protez yapımında yeterli doğrulukta kabul ettiler.

Düger dijital üretim tekniklerine kıyasla ekleme teknolojisinin, çok çeşitli makinelerin var olması ve kullanım için uygun malzemelerin kullanılma esnekliği dahil olmak üzere birtakım avantajları vardır. Bu, ekleme teknolojisini araştırma için çekici bir alan haline getirir ve dişhekimliğinde kullanılmak üzere yepyeni bir uygulama alanı yaratır. Şu anda teknolojinin belli başlı üreticilerinin sayısı azdır; Ancak, son zamanlardaki patentler nedeniyle birçok yeni şirket, daha düşük maliyetle daha iyi makineler üretmektedir. Malzeme ve makinelerin yüksek maliyeti nedeniyle, SLA üretiminin popüler olmadığı birçok eski çalışmada belirtilmiştir (Van Noort , 2012).

Şimdi 5000 \$ 'a mal olan SLA makineleri vardır, bu makineler 25 μm katman kalınlığına sahip bir yapı hazırlayabilir (Formlabs ,2019).

2.10.5 Eklemlili üretiminin avantajları

Kullanılabilir makinelerden dolayı esneklik: Bazı makineler, yapının yarısını değiştirmeye gerek kalmadan aynı anda yapı boyunca birden fazla malzeme basabilir.

Bu, esas olarak organik veya çok renkli malzemelerin üretilmesiyle sınırlıken, teknolojinin ilerlemesi bir gün karmaşık protetik vakalar için, çok bileşenli diş protezlerinin ve bunların altyapısının, tek bir makinede üretimine izin verebilir. Aynı anda dijital iş akışını tam anlamıyla gerçekleştirir.

Pasiflik: Bu imalat tekniğinin pasif doğası, eksiltmenin bir takım dezavantajlarını da ortadan kaldırmaktadır. Bu özellikle CoCr gibi metalleri işlemek için zordur, bu da kazıma sırasında kazıma kafalarının, gürültü ve ısı üretiminin yanı sıra yapının yüzeyinde hasara neden olur (Abduo,ve dig, 2014).

Azaltılmış hammaddenin düşük yüzdesi: Eksiltmeli üretim, başlangıç malzemenin % 96'sını kaldırabilir ve bu israf, neredeyse geri alınamaz. Karşılaştırıldığında eklemlili üretim makineleri çoğulukla yapı için gerekli

olani kullanma eğilimindedir ve % 40 daha az israfa sahiptir. Buna ek olarak, atıkların yaklaşık % 95 – 98 'i gelecekteki üretim döngülerinde geri dönüştürülebilir (Berman, 2012 : Abduo ve diğer. , 2011). Bu sadece hammaddenin toplam maliyetini azaltmaz, aynı zamanda genel ağırlığın ve boyutların aşırı olduğu durumlarda da önemlidir.

Hammadde bir sorundur. Eksiltmeli üretimde olduğu gibi, önceden oluşturulmuş bir malzeme bloğunun boyutlarına bağlı olmadan, üretim yapmak mümkündür. Üretimin boyutu sadece makinenin kazıma odasının büyülüğu ile sınırlıdır. Bu genellikle freze makineleri için önceden oluşturulmuş diskler tarafından sunulan boyuttan daha büyktür.

2.10.6 Eklemeli üretiminin sınırlamaları

Bu sınırlamalar şunları içerir:

Basamak etkisi: Katman kalınlığı mümkün olan en küçük çözünürlükte ayarlanmadığı sürece, katmanlı üretimin katman katman yapısı, bitmiş ürün üzerinde hala bir basamak efekti bırakır. Fakat bu, yapıların üretim süresini önemli ölçüde artıracaktır (Masood ve dig. , 2003).

Seramik yapıların imalatı: Seramik yapıların (zirkonya ve alümina) imalatında bazı ilerlemeler kaydedilmiştir, ancak yapılar gözeneklidir.

Eklemeli teknik bütünlmeye neden olan kapsamlı bir işlem sonrası yeni işlem (sinterleme) gerektirir. Bu nedenle, eksiltici üretimin önceden sinterlenmiş malzeme bloklarını işlerken ürettiği üniformluğuna sahip değildir ve bütünlme problemini ortadan kaldırılmaz.

Tekrarlanabilirlik: Üretimin hız ve doğruluğu artırılırken birçok ekleme makinesi hala bazı dental uygulamalar için gereken doğruluk veya tekrarlanabilirliği sağlamaz. Artan hassasiyetin aranması durumunda, üretim hızı genellikle azalır (Figliuzzi ve dig. , 2012).

Destek yapılara olan ihtiyaç: FDM ve SLS durumunda, imalat aşamasında kullanım için gerekli olabilecek destek yapılarının manuel olarak veya ön programlama yoluyla eklenmesi ve yapı inşa edildikten sonra çıkarılması için ilave adımların eklenmesi gereklidir. Bu yapım işlemi sırasında görünen tüm çıktıılı yapıları destekler.

Dişhekimliği kullanımında özgüllük: Teknoloji hala dişhekimliği endüstrisinde gelişirken, şu anda mevcut olan çoğu makine, eksiltici üretimde olduğu gibi dental uygulamalar için uygun değildir; bununla birlikte, bazı büyük şirketler özellikle diş hekimliği (3D Systems, Rock Hill, SC; Stratasys, Eden Prairie, MN) için ekleme teknolojisi üretmektedir. Eksiltmeli üretimin de sektörde gelişmesi epey zaman almış durumdadır ve hala beklenilen gibi olmadığı görülmektedir (Miyazaki ve dig., 2009).

Tüm bu konular kapsamlı bir şekilde araştırılmakta ve mevcut ilerleme hızıyla teknoloji gelişikçe daha çok kolay hale gelecektir (Van Noort, 2012; Liu ve dig., 2005; Syam ve dig., 2011).

2.11 Kenar Uyumu

Restorasyonun, ağız içindeki ömrü, preparasyon bitim sınırının iç yüzeyi ile restorasyon arasındaki uyumun iyi olmasına bağlıdır (Shillinburg ve dig., 1997). Diş ile restorasyon arasında meydana gelen uyumsuzluk mikro sızıntılarla, renkleşmelere, sekonder çürükler sebep olur. Bu uyumsuzluk aynı zamanda periodontal hastalıklara ve pulpa irritasyonlarına sebebiyet verir bu yüzden kenar uyumu önemli bir unsurdur (Toman ve dig., 2009; Knoernschild ve Campbell, 2000; Lui, 1980; Knoernschild, 2000).

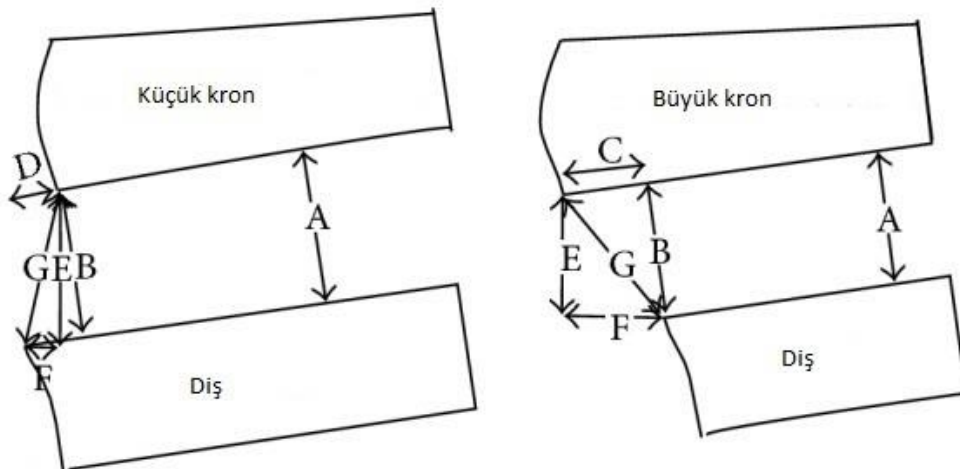
Literatürde kenar uyumunun tanımı ve tespiti ile ilgili farklı metodlarla yapılmış bir çok çalışma vardır.

Literatürde kenar uyumunun tanımı ve ölçümede kullanılan noktalar araştırmacılar göre farklılık arz etmektedir (Holmes ve dig., 1989; Grotens ve dig., 2000).

Materyallerin mekanik ve fiziksel özelliklerinden farklı olarak, restorasyonların uyumu ile ilgili kriterler konusunda, araştırmacılar arasında tam olarak bir fikirbirliği yoktur. En iyi uyum kriteri olarak, preparasyon yüzeyi ile restorasyon iç yüzeyi arasında ölçümlü yapılan farklı noktaların uyumsuzluğu olarak tanımlanır. Bu yüzden kenar uyumunun tespiti ve değerlendirilmesinde, bahsi geçen yüzeyler arasındaki uyumsuzluk miktarını ölçmek en çok kullanılan yöntemdir. Kenar uyumu ölçümlü ve değerlendirilmesinde marginal bölgedeki bir çok alan ve mesafe göz önüne alınmaktadır.Uyumsuzluk

genellikle yatay ve dikey düzlemde incelenmektedir (Holmes ve diğ. , 1989; Usanmaz, 2005).

Restorasyonun uyumunu tespit için restorasyonla dış arasında yapılan ölçümler; iç yüzeyde, kenarda yada restorasyonun dış yüzeyinde olan noktalarda yapılabilmektedir. Kenar uyumsuzluğunun; kronun giriş yoluna dik olana ise ‘yatay kenar uyumsuzluğu’ paralel olanına ‘dikey kenar uyumsuzluğu’, denilmektedir (Şekil 2.7) (Holmes ve diğ. , 1989).



Şekil 2.7: Marjinal Aralık Tanımı A = İç Boşluk; B = Marjinal Boşluk (bu çalışmada ölçülen); C = Fazla Uzatılmış Kron Kenarı; D = Kısa Kalmış Kron Kenarı; E = Dikey Marjinal Uyumsuzluk; F = Yatay Marjinal Uyumsuzluk; G = Mutlak Marjinal Uyumsuzluk

Kaynak : Holmes ve diğ. , (1989)

Yan duvarlarda bulunan aralık hem restorasyon tutuculuğunu olumsuz yönde etkilemektedir hem de restorasyonun kırılmasına sebep olabilmektedir.

Ayrıca yan duvarlardaki aralık, mikroorganizmaların veya toksinlerin dış yan duvarlarına sızmasına sebep olur. Bunlar dentin kanalları vasıtasıyla pulpaya ulaşır ve pulpa rahatsızlıklarına neden olurlar (Anusavice K. , 1989; Monaco ve diğ. , 2001).

İdeal kenar açıklığı konusunda birçok farklı görüş vardır. Mclean and von Fraunhoder, 120 μm ‘luk açıklığı ideal kenar aralığı olarak belirtirken, bazı diğer araştırmalar bu değeri 100 μm (Boening ,1992 ; Fransson ve diğ. , 1985) veya 100-150 μm arası (Suarez, ve diğ. , 2003; Coli ve Karlsson, 2004) olarak

belirtmişlerdir. 200-300 μm 'luk aralığında yeterli olduğunu ileri sürenler olmuştur (Sutherland ve dig. 1996; Ostlund, 1985; Stappert ve dig. , 2005).

2.11.1 Kenar uyumunu etkileyen faktörler

Kenar uyumunu etkileyen birçok faktör vardır. Bunlar dış hekimine ve dış teknisyenine bağlı olarak değişir.

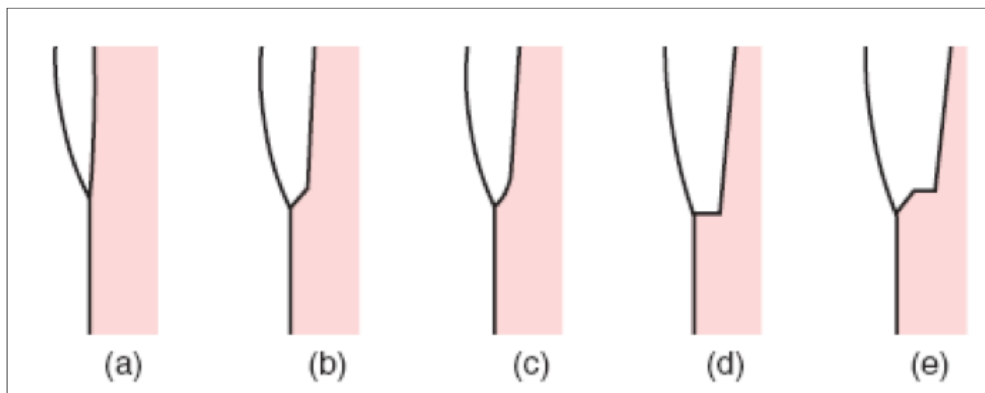
2.11.2 Dış preparasyonu

Dış preparasyonu mekanik, biyolojik, ve estetik faktörler göz önüne alınarak belirli prensiplere bağlı yapılmalıdır (Shillinburg ve dig. , 1997).

Restorasyonun prepare dişe düzgün bir şekilde oturabilmesi için koniklik açısı önemlidir. Bu açı restorasyonun üretimi sırasında hataların tolere edilmesini ve kronun yapıştırma sırasında tam olarak oturmasını sağlar. 6° ideal olması gereken koniklik açısıdır. Fakat bunu pratik olarak yapmak zordur (Wilson, 1994). $2,5^\circ$ - $6,5^\circ$ arasındaki koniklik açısı, simanda meydana gelen stresi azaltmak için ideal olarak kabul edilir (Shillinburg ve dig. 1997). Restorasyonun ömrü için, restorasyonun bitim kenarı ile preparasyon bitim sınırının uyumlu olması gereklidir. Kenar uyumunu kesim bitim sınırı ve bu sınırdaki restorasyon materyal miktarı etkilemektedir (Shillinburg ve dig. 1997). Kenar bitim şekli, hermetik kapamayı sağladığı gibi bakteri birikimini engellemeli ve estetik olmalıdır (Donovan ve Prince, 1985).

Shillinburg kenar bitim şekillerini;

1. Shoulder (basamak)
2. İç açısı yuvarlatılmış shoulder
3. Bevel'lı shoulder (bizotajlı basamak)
4. Chamfer
5. Derin chamfer
6. Bıçak ağızı tipi kesim olarak sınıflandırılmıştır (Shillinburg ve dig. , 1997).



Şekil 2.8: Diş kesimi basamak çeşitleri (a) Bıçak ağızı, (b) Bevel,(c) Chamfer, (d) Shoulder, (e) Bevel'lı shoulder

Kaynak: Shillinburg ve dig., (1997)

Pardo bu sınıflamaya ek olarak kenar bitim şekillerini 2 ana gruba ayırmıştır;

1-) Bitiş çizgisi yatay olanlar (shoulder, chamfer)

2-) Bitiş çizgisi eğimli olanlar (bıçak ağızı, bevel'lı shoulder) (Pardo, 1982)

Yatay kenar genişliğinin miktarı için dişin canlılığı ve restorasyon materyalinin direnci göz önünde bulundurulur.

0,3 mm'den küçük olan yatay kenar genişliği; bıçak kenarı bitim olarak adlandırılır. Bu bitim şeklinde kesim miktarı daha azdır ve sahip olduğu geometriden dolayı kenar uyumunun artmasını sağlar.

0,3 mm'den büyük olan yatay kenar genişliği; genellikle basamak olarak adlandırılır. Kenar genişliğinin artmasından dolayı kenar bitimini kontrollü şekilde sağlamak mümkündür. Bununla birlikte genişliğin artmasıyla estetik ve alt yapı direnci de artar (Hunter ve Hunter, 1990).

110° shoulder, 45° bizotajlı shoulder ve 45° lik shoulder şeklinde 3 farklı bitim şeklinin kullanıldığı araştırmada kenar bitim şekli ile kenar uyumu ilişkisinin olmadığı ortaya konulmuştur (Syu ve dig. , 1993).

Diş preparasyonu yapılrken tam seramik kron protezine yeterli destek sağlanması göz önünde bulundurulmalıdır. Bu nedenle, 1mm genişliğinde 360° iç açısı yuvarlatılmış dik açılı shoulder (basamak) veya uygun genişlikteki chamfer kesim bitim şekli tercih edilmelidir.

Tam seramik kron için dış kesiminde iç açısı yuvarlatılmış basamak yapılması, kesim bitim sınırının net görülmemesini ve estetiğinin artırılmasını sağlar (Shillinburg ve diğ. , 1997).

CAD / CAM sistemiyle yapılacak sabit protetik restorasyonlar için dış kesimi, tam seramik restorasyonlardaki gibidir. Fakat sistemin daha düzgün çalışabilmesi için ilave önlemler alınması gerekmektedir. Tarayıcının taramayı doğru olarak yapabilmesi için kesim sınırı net ve kolay ayırt edilebilmelidir. Kesimin bitim şekli iç açısı yuvarlatılmış dik basamak (shoulder) veya belirgin chamfer şeklinde olmalıdır. Kesimin taper açısı her sistem için farklıdır. Bu açı 3° - 8° arası değişebilmektedir (dentsplysirona.com).

Weaver ve arkadaşları döküm porselen kronlar için shoulder, metal-porselen kronlar için bizotajlı bitim, şeklini bu araştırmalarında kullanmışlardır. En iyi sonucu dik basamaklı kesim bitiminin yapıldığı kronlarda elde etmişlerdir (Weaver ve diğ. , 1991).

2.11.3 Simantasyon

Materyal ne olursa olsun mükemmel bir restorasyon simantasyon işlemine özen gösterilmemezse kısa sürede başarısız olabilir. Simantasyon işleminde yapılan hata sonucunda erken temas, kronun düşmesi, pulpa iltihabı ve ikincil çürükler görülebilir (Shillinburg ve diğ. , 1997).

Metal destekli kronlarda döküm sırasında, dış ile restorasyon arasında aralık meydana gelir. Bu aralık restorasyonun dişe yapıştırılması sırasında siman ile dolar. Simanın diş-kron sınırında çözülmesi çürük oluşma ve restorasyonun düşme olasılığını artırır. Bu sebepten dolayı meydana gelen aralığın azaltılması yönünde materyal ve teknikler üzerinde çalışmalar yapılmaktadır (Syu ve diğ. , 1993).

Amerikan Diş Hekimleri Birliği kenar aralığının yaklaşık $25 \mu\text{m}$ olması gerektiğini bildirmektedir (Cho ve diğ. , 2004). Fakat birçok çalışma siman kalınlığı miktarının fazla olabildiğini göstermiştir (Alkumru ve diğ. , 1988) (Holmes ve diğ. , 1989).

Preparasyondaki koniklik açısının azalması ve kenar bitim şekli, yapıştırma işlemi sırasında siman akıcılığını azaltmakta ve kalınlığa sebep olmaktadır.

Artan siman kalınlığı, kronun diş tam yerleşmesini engelleyebilir. Bu da okluzyonda yüksekliğe neden olabilir ve fazla kenar aralığı oluşmasına sebep olabilir (Christensen, 1966).

Pascoe simante işlemi sonrası kenar uyumunu araştırmış, bizotajlı kesimde kenar aralığının az olduğunu ama kronların tam oturmadığını bildirmiştir (Pascoe, 1983).

Simantasyon sırasında uygulanan kuvvet, tam olarak oturmayı sağlayacak derecede olmalıdır. Eğer fazla ve kısa süreli kuvvet uygulanırsa dentin yapısında elastik gerilimler oluşur, kuvvet kesildiğinde ise bir yaylanma hareketi meydana gelir ve restorasyon yerinden oynayabilir (Smith, 1983). Karipidis ve Pearson' un yaptığı bir çalışmada kronlar, 300 N/cm^2 bir kuvvetle, prepare edilmiş sığır dentini üzerine simante edilmiştir. Bu kronlara uygulanan kuvvetin yarısı kadar kuvvetle simante edilen kronların daha zor desimante edilebildiği bulunmuştur. Kronlar daha sert metal yalancı kökler üzerine yapıştırıldığında ise bunun tam tersinin meydana geldiği bulunmuştur (Karipidis, 1988; Shillinburg, Hobové dig., 1997).

2.11.4 Materyal seçimi

Metal seramik restorasyonlarda; altın-platin-palladium合金ının dökülebilirliğinden dolayı kenar uyumu çok iyidir. Fakat bu合金, ısı altında deformasyon direnci düşüktür. Bu yüzden porselen fırınlanma sırasında uzun köprülerde metal alt yapının uyumluluğu bozulur.

Ergime derecesi daha yüksek olan altın-paladyum gümüş合金ının altın-platin-paladyum合金ına göre ısı altında zamana bağlı deformasyon direnci daha yüksektir. Bu yüzden uzun köprülerde tercih edilebilirler (Van Noort, 2013, Powers, 2006). Bunların dökülebilirlikleri ve kenar uyumları memnuniyet vericidir. Paladyum合金larının dökülebilirlikleri kolay değildir ve kenar uyumları yüksek altın oranlı合金lar kadar iyi değildir (Van Noort, 2013).

Kıymetsiz合金lardan krom-nikel合金ının da dökülebilirliği kolay değildir. Dişin kesiminden kron simantasyonuna kadar yapılan işlemler sırasında kullanılan materyaller ve metodlar kenar uyumunu direk ya da indirekt olarak etkilemektedir (Tjan ve Grant, 1987; Ushiwata ve Moraes, 2003).

2.11.5 Hekim ve teknisyen

Uyumlu bir restorasyonun elde edilmesinde hekim ve teknisyenin bilgisi, tecrübe ve becerisi önemli bir faktördür. Ölçü alınmasından simantasyona kadar olan tüm aşamalarda kullanılan teknik ve materyaller dış hekimi ve teknisyeni tarafından doğru şekilde belirlenmeli ve uygulanmalıdır. Boyutsal stabilitesi kötü ölçü maddesiyle ve uygun olmayan teknikle alınan ölçülerden elde edilen modelle gerçek kesik diş arasındaki boyutsal farklılık, restorasyon ve diş arasında uyum problemlerine neden olmaktadır (Mc Cabe ve Walls, 1999). Laboratuvara model eldesi, modelaj, döküm, porselen yiğimi kenar uyumunu etkileyen faktörlerdir (Aktepe, 2005).

2.12 Kenar Uyumunun Ölçülmesinde Kullanılan Yöntemler

Sabit protez restorasyonların diş ile olan kenar uyumları; niteliksel veya niceliksel olarak değerlendirilebilir. Niteliksel değerlendirmeler radyolojik muayene, gözle inceleme ve sondla kontrol gibi yöntemlerdir.

Niceliksel değerlendirmeler ölçüme dayalı sayısal değerlere dayanır, ölçüm genellikle mikrometreyle yapılır (Ushiwata ve Moraes, 2003).

Kenar uyumları, ölçüülü sondlar ve skalalarla yapılabilir. Niteliksel değerlendirmelerin doğrulukları insan gözünün algılama kapasitesiyle alakalıdır. Bu kapasite $60 \mu\text{m}$ ile sınırlıdır (Çınar, 2001).

Kenar uyumunun ölçümü birkaç teknikle yapılabilir;

- 1-) Direkt yöntem
- 2-) Kesit alma yöntemi
- 3-) Ölçü alma yöntemi
- 4-) Sond ve gözle değerlendirme (Sorensen J. , 1990)

2.12.1 Direkt yöntem

Direkt yöntem basit bir yöntemdir. Bu yöntemde yapılan restorasyon yalancı kökler üzerine yerleştirilir mikroskop (elektron veya stereomikroskop) kullanılarak kenar aralığının fotoğrafları çekilir ve yazılımlar vasıtıyla ölçümleri yapılır.

Bu tekniğin dezavantajı kronların dış örneğine tekrar tekrar takılıp çıkarılması sırasında aşınmalar olabilir, tam adaptasyon sağlanamayabilir, bu da ölçümlerdeki standart sapmayı değiştirebilir. Bu yöntemle marginal kenar uyumu değerlendirilir, iç uyumun tespiti yapılamaz.

Restorasyonun zarar görmemesi bu yöntemin avantajıdır. Bu sayede aynı restorasyondan birçok kez ölçümler yaparak, aşamalar arasındaki farkı tespit edebiliriz.

2.12.2 Silikon replika yöntemi

Kenar ve iç uyumu belirlemek için bu yöntem kullanılır. Bu yöntemde, silikon materyal (light body) restorasyonun içine koyulur, belirli bir kuvvet altında prepare diş üzerine yerleştirilerek silikon sertleşinceye kadar belirli bir kuvvet uygulanır. Sertleşmiş silikon restorasyondan çıkarılır, akrilik veya epoksi reçine içerisinde gömülü ve kesit alınır. Bu teknin dezavantajı silikon malzemedeki boyutsal değişikliğin ölçümde sapmalara neden olması ve silikon malzemenin yarattığı hidrostatik basınç sebebiyle kronun, preparasyon üzerine tam olarak oturmama ihtimalinin olmasıdır (Boening, 1992; Mou, 2002; Reich, 2005).

2.12.3 Kesit alma yöntemi

Bu yöntem çok daha zor ve zaman alan bir yöntemdir. İlave basamaklar gerektirir kullanılan örnekleri bir daha kullanmak mümkün değildir. Bu yöntemde rezin içine gömülü örneklerden kesitler alınır.

Kesit alma yönteminde ölçümler elektron mikroskopu (SEM) veya ışık mikroskopuya (optik) yapılır. Elektron mikroskopu ile yapılan çalışmalarda, kenar aralığı ölçümleri elektron mikroskopu fotoğrafları üzerinde yapılır. Dikey ve yatay uyumsuzluk incelenebilir.

2.12.4 Üç boyutlu tarama yöntemi

Bu yöntemde kenar uyumu ölçülecek diş veya restorasyon üç boyutlu taranmaktadır (Luthard ve dig., 2004). Elde edilen dijital veriler özel yazılımlarla karşılaştırılmakta diş restorasyon uyumu her yönde

incelenebilmektedir. Bu teknikte ölçümün doğruluğu tarama sisteminin hassasiyetine bağlıdır.

Kullanılan uyumluluk tespit yöntemleri incelemekte, en çok kullanılan yöntemin, kesit alma yöntemiyle, direkt mikroskop altında ölçüm ve değerlendirmenin olduğunu görmekteyiz (Toman ve dig., 2009; Yang ve Lee, 2003; Sulaiman ve dig., 1997; Weaver ve dig., 1991; Beschnidt ve Strub, 1999; Albert ve El-Mowafy, 2004; Wegner ve dig., 2003, Sorensen ve dig., 1992; Pera, ve dig., 1994; Lin ve dig., 1998)





3. GEREÇ VE YÖNTEM

3.1 Çalışmada Kullanılan Cihaz ve Materyaller

CAD / CAM teknolojisi için üretilen prefabrike, kobalt krom, zirkonyum, titanyum, polieterketonketon bloklardan ve selektif laser teknolojisi elde edilen alt yapıların internal ve marjinal uyumlarını inceleyen, gerçek siman aralığını ölçen çalışmada kullanılan araç ve materyaller Çizelge 3. 1 ve Çizelge 3.2 de gösterilmiştir.

Çizelge 3.1: Araştırmada Kullanılan Materyaller

MATERYALİN ADI	MATERYAL	ÜRETİCİ FİRMA
Starbond Ti5 Disc	5 "ELI" (Ekstra Düşük Geçişli) titanyum alaşımı TiAl6V4'den yapılmış freze diski (15 mm x 98,3 mm)	S & S Scheftner GmbH/ Almanya
Starbond CrCo Easy Disc	CrCo Blok	S & S Scheftner GmbH/ Almanya
PEKKTON® Polimer Blok	Polieterterketon blok ø 98,5mm x16mm	Cendres + Métaux SA / İsviçre
DD Bio ZX ² Zirconia Blok	Yüksek Translüsent zirkonya blok (ø98,5mm x14 mm)	Dental Direkt GmbH/ Almanya
Remanium [®] star CL – laser	CoCrW alaşım laser sintering tozu	Dentaurum GmbH & Co. KG / Almanya
Elite Double 32 Fast	Vinilpolisilosan (ilave silikon) dublikasyon materyali	Zhermack GmbH Almanya
Rocky Mountain gray	Taranabilir tip 4 sert alçı	Klasse 4 Dental Almanya
Frasaco AG-3 Typodont Jaw	Sabit çiğneme yüzeyine sahip üst ve alt çene modeli (28 diş)	Frasaco GmbH/ Almanya
Meisinger Elmas Frez	Diş kesim frezleri	Hager & Meisinger GmbH
Melident- Kulzer	Soğuk akrilik	GmbH Leipziger Straße 2 63450 Hanau Almanya

Çizelge 3.2: Araştırmada Kullanılan Cihazlar

Cihazın adı	Üretici firma
Yenascan E7 (3 Boyutlu ,5 Akslı laboratuvar tarayıcısı)	Yenadent Ltd, Türkiye
Yenadent D40 (5 akslı)	Yenadent Ltd, Türkiye
Conceptlaser Mlab cusing 200R Laser Sintering sistem	CONCEPLASER a GE Additive company Almanya
Yenascan dental scanner 3 Boyutlu optik tarayıcı	Yenadent Ltd, Türkiye
MKC-100 hassas kesim cihazı	Mod-Dental Türkiye
LAPSUN video mikroskop	LapSun Technology LTD Hongkong Çin

3.2 Ana Modellerin Oluşturulması

Bu çalışmada üretilen altyapılar 5 ana gruba ayrıldı. G*Power programı kullanılarak yapılan power analizi sonucunda **marjinal uyum** için effect size d (etki boyutu):0.416 alındığında Power=0.80 ve $\alpha=0.05$ için tespit edilen örneklem sayısı her grup için minimum n=20 olarak saptandı. Ana day (ana yalancı kök) modelini oluşturmak amacıyla üst sağ 1. molar dayanak yapı olarak seçildi. Diş preparasyonunda dişin kole bölgesinde çepçeuvre 1mm genişliğinde iç açısı yuvarlatılmış chamfer basamak yapıldı. Basamak serbest dişeti kenarının 0.5 mm altında olacak ve dişeti konturunu takip edecek şekilde yapıldı. Okluzalde fonksiyonel tüberküle 2mm, non-fonksiyonel tüberküle 1,5mm aşındırma yapıldı, aksiyal duvarlar arasında toplam kesim koniklik açısı yaklaşık 10^0 olacak şekilde anatomik olarak kesim tamamlandı. Diş preparasyonu sonrası tüm keskin kenar ve köşeler yuvarlatıldı. Akrilik diş pürüzlerin giderilmesi için lastik cila frezi ile cilalandı (Şekil 3.1).



Şekil 3.1: Prepare Akrilik Diş

Prepare edilmiş olan akrilik diş tarama tozu kullanarak laboratuvar tarayıcı ile tarandı. Eosint M 100 laser sintering ile dökümü yapılip, tesviye ve polisajı yapıldı (Şekil 3.2).

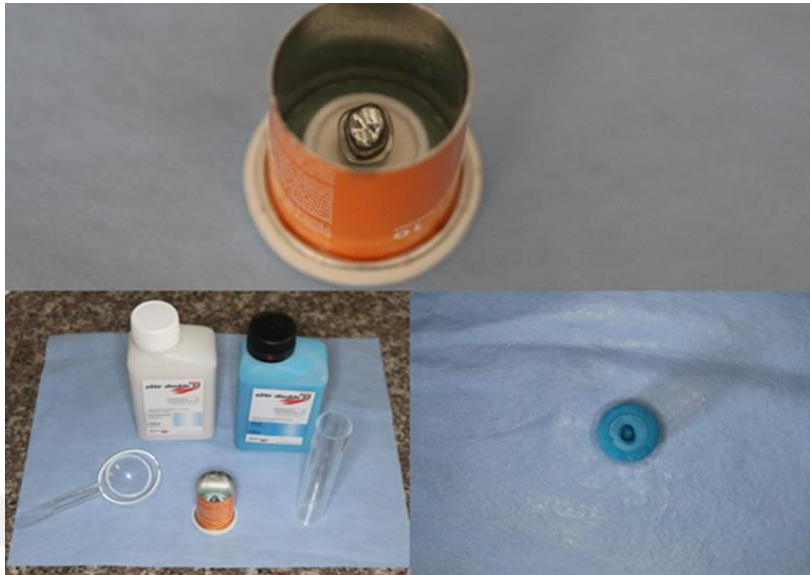


Şekil 3.2: Ana CoCr Day

3.3 Örneklerin Elde Edilmesi:

Elde edilen master day 4cm çapında üst kısmı açık alimunyum tüp içerisinde yerleştirildi. Vinilpolisilosan dublikasyon silikonu (Elite Double 32 Fast-Zhermack GmbH) ile dublike edildi (Şekil 3.3). Elde edilen dublikat silikon kalıp içerisinde 100 kez taranabilir gri renkli tip-4 CAD / CAM sert alçısıyla döküm yapıldı (Rocky Mountain-Klasse4 Dental). 100 adet alçı örnek model

elde edildi. 3.5x magnifikasyon dental loop ile kontrolleri yapıldı. Elde edilen örnekler 20' şerli 5 gruba ayrıldı.



Şekil 3.3 : Ana Modelin Dublikasyonu

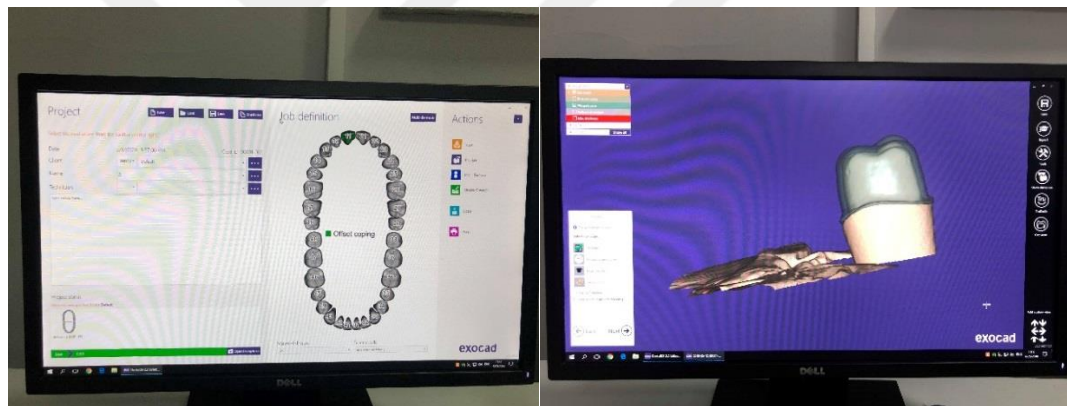
Çizelge 3.3: Örneklerin Gruplandırılması

Kazıma (CAM / CAD)	CoCr	n=20
(Milling)	Ti	n=20
	PEKK	n=20
	Zr	n=20
Laser Sintering	CoCr	n=20

Her gruba 1'den 20' ye kadar numara verildi. Her grup ayrı ayrı laboratuvar tarayıcısı (Yenascan E7 –Yenadent Ltd) ile tarandı. Elde edilen STL dosyaları üzerinde Exocad V 2.2 CAD tasarım programında tek operatör tarafından altyapılarının sanal tasarımları yapıldı (Şekil 3.5). Tasarımlar sırasında altyapı kalınlıkları 0,5 mm ve siman aralığı 35 μ m olarak ayarlandı. Her tasarıma sırasıyla daha önce verilen sayı numaraları verildi.



Şekil 3.4: Yenascan Tarayıcı



Şekil 3.5: Exocad Tasarım Programında Altyapıların Tasarımı

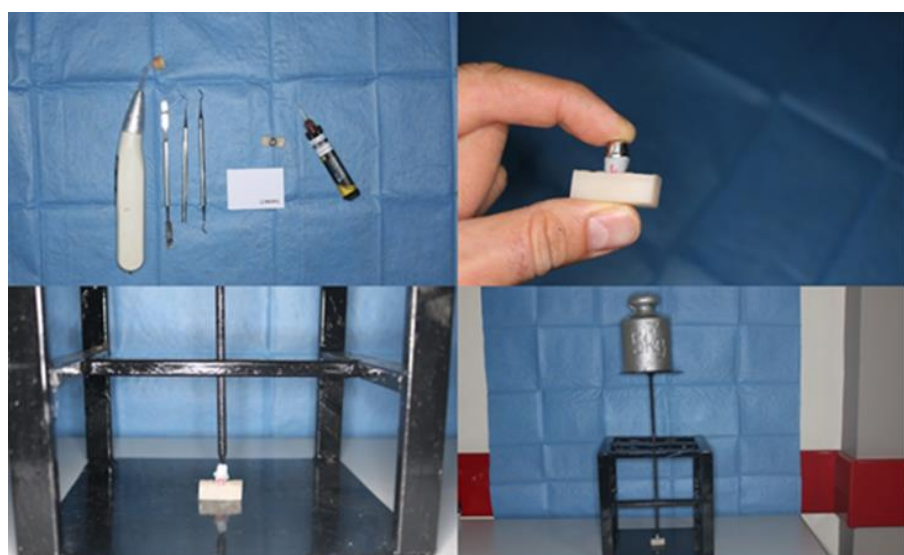
Tasarımı yapılan altyapılardan 80 tanesi 20 ‘şerli gruplar halinde hazır CoCr (Starbond CrCo Easy Disc-S & S Scheftner GmbH Almanya), titanyum (Starbond Ti5 Disc- S & S Scheftner GmbH Almanya), polietereterketon (PEKKTON -Cendres + Métaux SA İsviçre), zirkonya (DD Bio ZX² Zirconia-Dental Direkt GmbH) bloklardan Yenadent D40 5 akslı milling makinesinde kazıma methodu ile elde edildi. Geri kalan 20 adet örnek ise CoCr (Remanium® star CL – Dentaurum GmbH & Co. KG - Almanya) tozundan Conceptlaser Mlab cusing 200R Laser Sintering sistemi kullanılarak DMSL tekniğiyle elde edildi. Elde edilen örnekler x3.5 magnifikasiyon dental loop altında kontrol edildi.



Şekil 3.6 : Üretilmiş Altyapılar

3.4 Üretilen Metal Alt Yapıların Simantasyonu

Üretilen her bir altyapı kendisine ait olan model üzerine, dual rezin siman (NOVA RESIN self adhesive resin cement, Imicryl Diş Malzemeleri San. Tic. Aş. Konya / Türkiye) ile simante edildi. Üretilen alt yapılar önce parmak basıncıyla örneklere yerleştirilmiş ve fazla siman artıkları temizlenmiştir. Daha sonra çalışmamız için tasarlanmış özel mekanizmayla, yaklaşık 50 N'luk (5kg) kuvvet uygulanmış, 7,5'ar dakika beklenerek simantasyon yapılmıştır (Şekil 3.7).

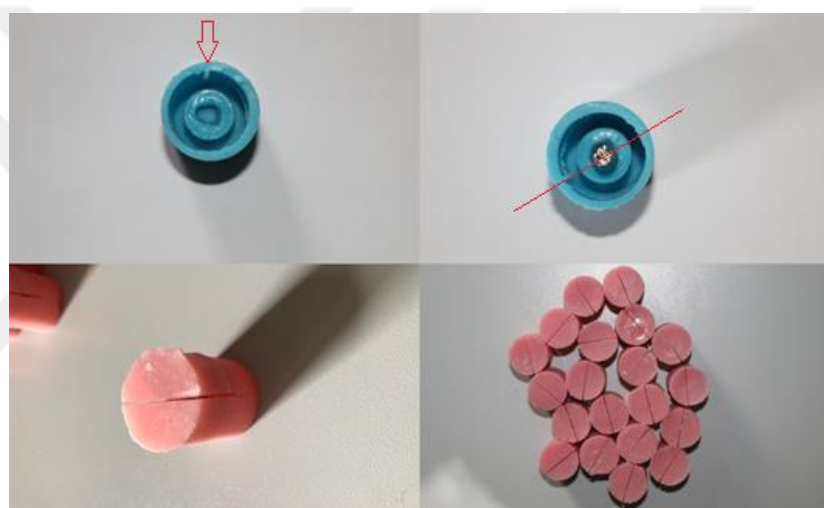


Şekil 3.7 : Altyapıların Simantasyonu

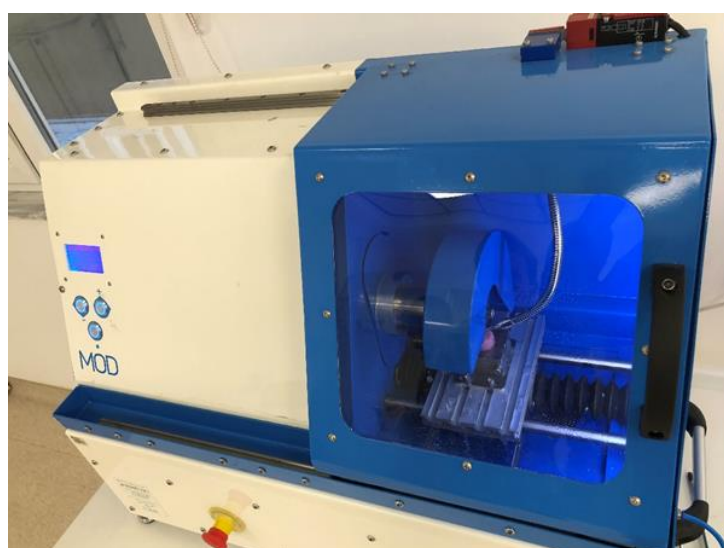
3.5 Örneklerin Akrilik İçine Gömülmesi

Modellere simante edilen altyapıların işlemler sırasında desimantasyonunu önlemek amacıyla özel olarak hazırlanmış silikon kalıba uygun pozisyonda yerleştirilerek akrilik içeresine gömülüdü. Silikon kalıp örneklerin aynı pozisyonda ve kesim hattının aynı yerde olmasını sağlayacak şekilde dizayn edilmiş özelliklere sahipti.

Örneklerin silikon kalıp içerisindeki konumu, dış bölgelerden bir miktar uzak tam orta bölgede olacak şekilde ayarlandı. Bunun nedeni örneklerin, MKC-100 hassas kesme (Mod Dental) cihazında kesme işlemi sırasında tutucu kola sabitlenebilmesiydi.

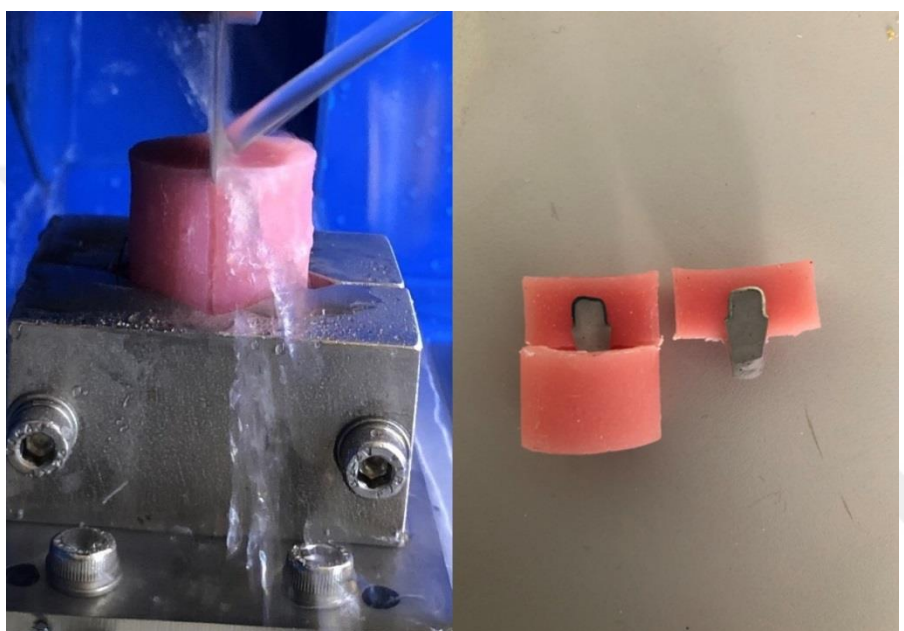


Şekil 3.8 : Simante Edilmiş Altyapıların Akrilik İçine Alınması



Şekil 3.9: Mod Dental MKC-100 Hassas Kesme Makinası

Simante edilmiş altyapılar, silikon kalıplar içerisine uygun pozisyonlarda yerleştirildiler (Şekil 3.8). Daha sonra akrilik (Meliodent- Kulzer GmbH Leipziger Straße 263450 Hanau Almanya) üretici firmanın önerileri doğrultusunda, hava kabarcığı kalmayacak şekilde karıştırıldıktan sonra silikon kalıp içerisine döküldü. Bu işlem tüm örneklerde uygulandı. Kesme işlemi sırasında elmas kesim diskinin ısınmaması için su soğutması kullanıldı. Kesme işleminin tamamlanması ile deney örneklerinin tamamı mezo-distal yönde iki parçaya ayrılmış oldu.



Şekil 3.10: Standardize Edilmiş Kesim Hattı Frez İlişkisi

Kesitlerin alınmasından sonra deney örneklerinin mikroskop altında incelenmesi amacıyla kesit yüzeyleri cilalandı. Cılalama işleminde sırasıyla 1500- 2000 grit kalınlığındaki silisyumkarbid kağıt diskler su altında kullanıldı. Kesitler numaralandırılarak, parçaların kaybolmaması için ayrı poşetlere yerleştirildi. (Şekil 3.11)



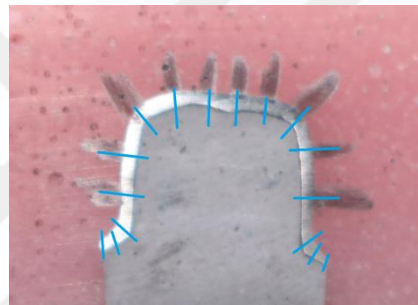
Şekil 3.11: Örnek Kesitleri

3.6 Mikroskop İncelemeleri

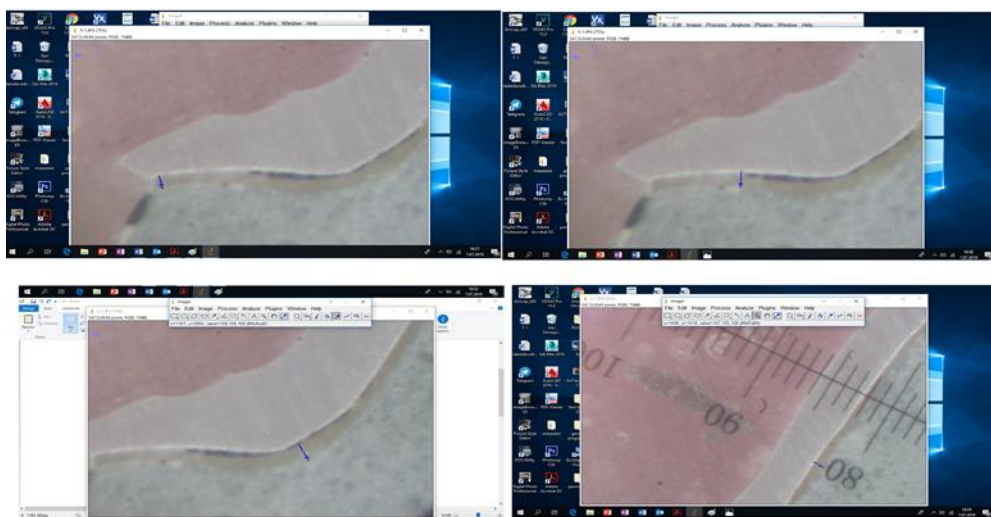
Canon EOS 70D 20,2 megapiksel dslr kamera entegre video mikroskop, LAPSUN (Lapsun dijital video mikroskop, Hongkong LapSun Technology Co. , LTD) altında $\times 160$ büyütme ile yapıldı (Şekil 3.12). Ölçüm noktalarını işaretlemede standardizasyon için aksiyal-okluzal açıdan referans alındı. Okluzalde 1mm aralıkla, aksiyalde 1,5mm aralıkla sabit kalemlerle işaretlemeler yapıldı. Tüm digital fotoğraflar raw formatta (5427x3648 resolution) ve ölçüm sırasında kalibrasyon işlemi için 0,01mm aralıklı kalibrasyon cetveli kullanılarak çekildi. Chamfer bölgesinde ölçüm, chamfer açısının ortasından, basamak bölgesinde ise basamak orta noktasından, kenar bölgesinde ise altyapının iç kısmı ile kesim bitiş noktasında yapıldı. Kesit yüzeyleri, kenar aralık kriterleri esas alınarak önceden Holmes ve ark. tarafından tanımlanmış tam 16 noktadan ayrı ayrı incelendi (Şekil 3.13). Her nokta için 5 ölçüm yapılmış ortalamaları alındı . Böylelikle her bir örnekte 80, toplamda ise 8000 ölçüm yapılmış oldu. Tüm ölçümler Image J yazılımında iki yüzey arasında dikmeler inilerek tek operatör tarafından yapıldı (Şekil 3.14).



Şekil 3.12: Digital Video Mikroskop, 21 MP Canon Dslr Fotograf Makinesi



Şekil 3.13: Holmes ve Ark. Tarafından Belirtilen Noktaların Standardizasyon İçin İşaretlenmesi.



Şekil 3.14: Image J Yazılımında Aralık Ölçümlerinin Yapılması

4. BULGULAR

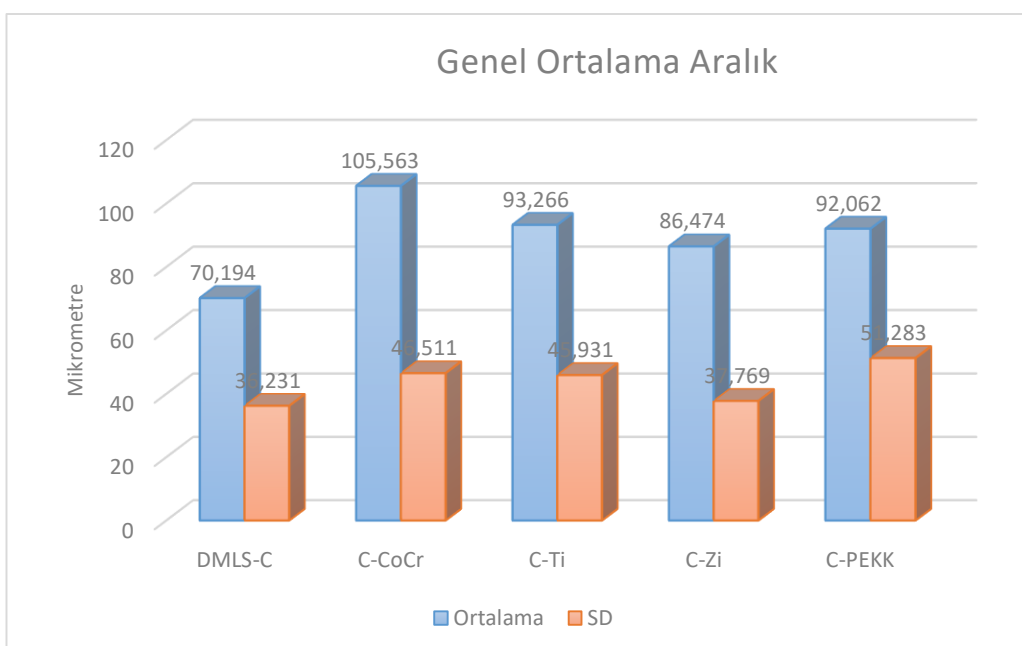
4.1 İstatistiksel Analiz Yöntemi

Ölçümlerden elde edilen verilerin istatistiksel analizleri, SPSS 22.0 programı yardımı ile yapılmıştır. Verilerin değerlendirilmesinde tanımlayıcı istatistiksel metodların (ortalama, standart sapma=SD) yanı sıra çoklu grupların karşılaştırmasında post hoc Tukey ve Bonferroni analizleri ve ANOVA testleri kullanılmıştır. Sonuçlar, $p<0,05$ anlamlılık düzeyinde değerlendirilmiştir.

4.2 Üretim Sistemlerinin Kendi Aralarında Değerlendirilmesi

4.2.1 Genel ortalamalarına göre karşılaştırma

İki farklı üretim sistemiyle üretilen alt yapılarının toplam aralık ölçümülerinin ortalama ve standart sapma (SD) değerleri aşağıdaki şekilde gösterilmiştir (Şekil 4.1).



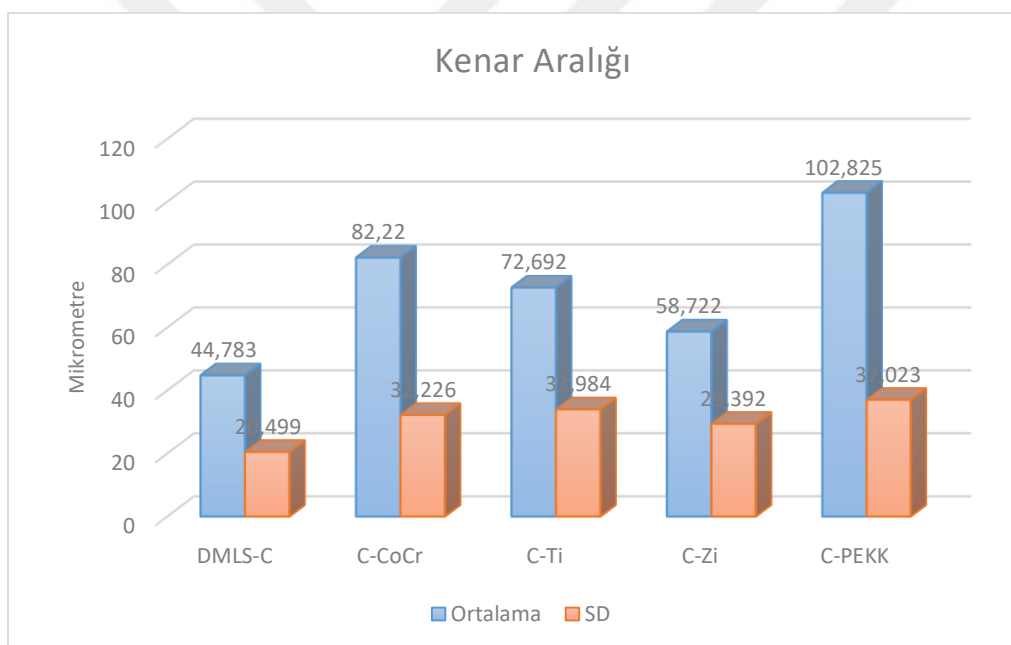
Şekil 4.1: Kron Altyapılarının Toplam Aralık Ölçümülerinin Ortalama ve SD Değerleri
Gruplar arasında ölçütler arasında istatistiksel olarak anlamlı fark vardır ($p<0,05$,

$F= 39,566$).

Yapılan post hoc (Tukey, Bonferroni) testleri sonucuna göre DMLS-C (direkt metal laser sintering CoCr) grubuya CAM / CAD kazıma grupları arasında farklılık ortaya konulmuş, DMLS-C grubunun uyumunun daha iyi olduğu, istatiksel anlamlı farkın olduğu tesbit edilmiştir ($p>0.05$).

CAM / CAD kazıma grubunda en iyi uyumun C-Zi (CAD / CAM Kazıma zirkon) grubunda olduğu, C-CoCr (CAD / CAM Kazıma CoCr) ile C-PEKK (CAD / CAM Kazıma PEKK) grubunun, C-Zi ile C- Ti (CAD / CAM Kazıma Titanyum) grubunun uyumluluğunun benzer olduğu istatiksel olarak anlamlı farkın olmadığı tesbit edilmiştir ($p>0,05$).

4.2.2 Kenar aralığının değerlendirilmesi



Şekil 4.2: Kron Altyapılarının Kenar Aralık Ölçümlerinin Ortalama ve SD Değerleri

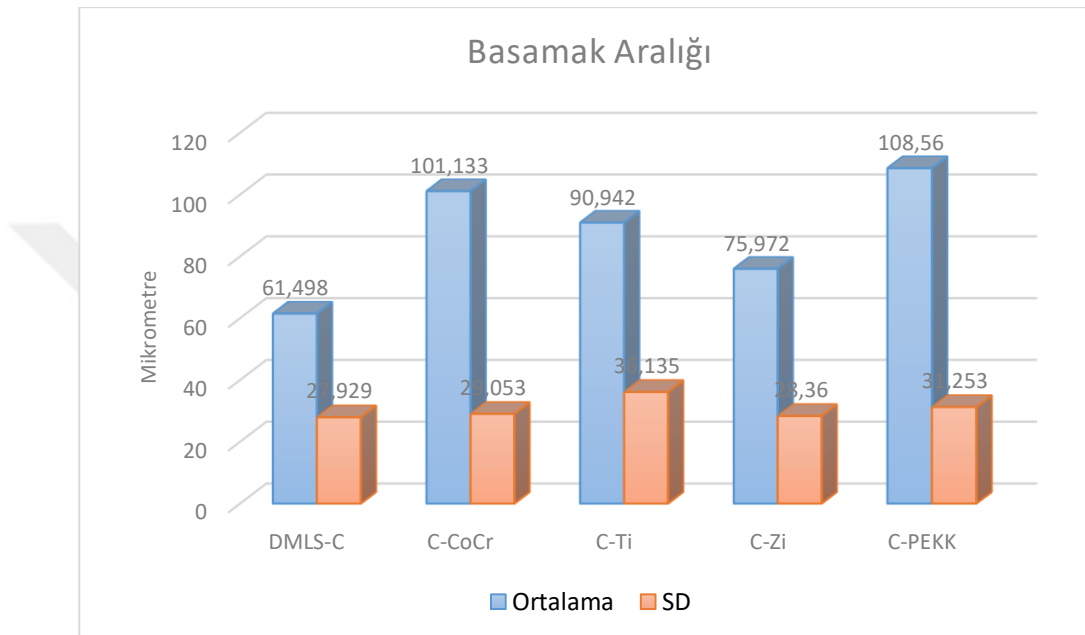
Gruplar arasında ölçümler arasında istatiksel olarak anlamlı fark vardır ($p<0.05$, $F= 20,335$).

Yapılan post hoc (Tukey ve Bonferroni) testleri sonucuna göre DMLS-C grubuya C-Zi grubu arasında kenar aralığının benzer olduğu ortaya konulmuş, istatiksel anlamlı farkın olmadığı tesbit edilmiştir ($p>0.05$).

DMLS-C grubundaki kenar aralığı uyumunun diğer CAM / CAD kazıma gruplara göre daha iyi olduğu, istatiksel olarak aralarında anlamlı farkın olduğu ortaya konulmuştur ($p<0.05$).

CAM / CAD kazıma grubunda en iyi kenar uyumunun C-Zi grubunda olduğu tesbit edilmiştir.

4.2.3 Basamak aralığının değerlendirilmesi



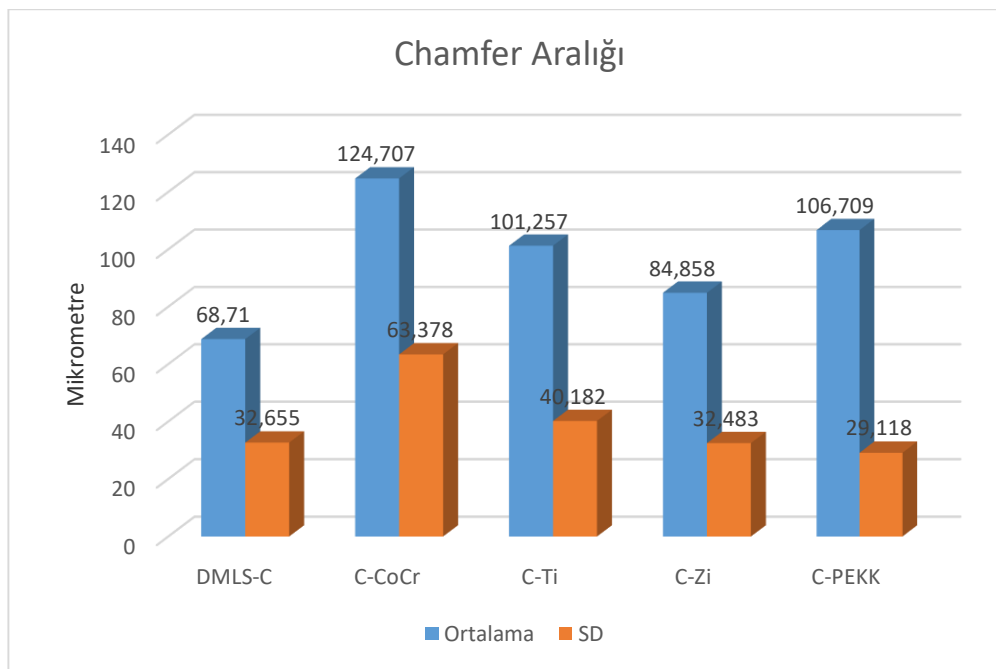
Şekil 4.3: Kron altyapılarının basamak aralık ölçümelerinin ortalama ve SD değerleri
Gruplar arasında ölçümler arasında istatiksel olarak anlamlı fark vardır ($p<0.05$, $F= 15,391$).

Yapılan post hoc (Tukey, Bonferroni) testleri sonucuna göre DMLS-C grubıyla C-Zi grubu arasında basamak aralığının benzer olduğu ortaya konulmuş, istatiksel anlamlı farkın olmadığı tesbit edilmiştir ($p>0.05$).

DMLS-C grubundaki aralık uyumunun diğer CAM / CAD kazıma gruplara göre daha iyi olduğu, istatiksel olarak aralarında anlamlı farkın olduğu ortaya konulmuştur ($p<0.05$).

CAD / CAM kazıma grubunda en iyi aralık uyumunun C-Zi grubunda olduğu tesbit edilmiştir.

4.2.4 Chamfer aralığının değerlendirilmesi



Şekil 4.4: Kron Altyapılarının Chamfer Aralık Ölçümlerinin Ortalama ve SD Değerleri

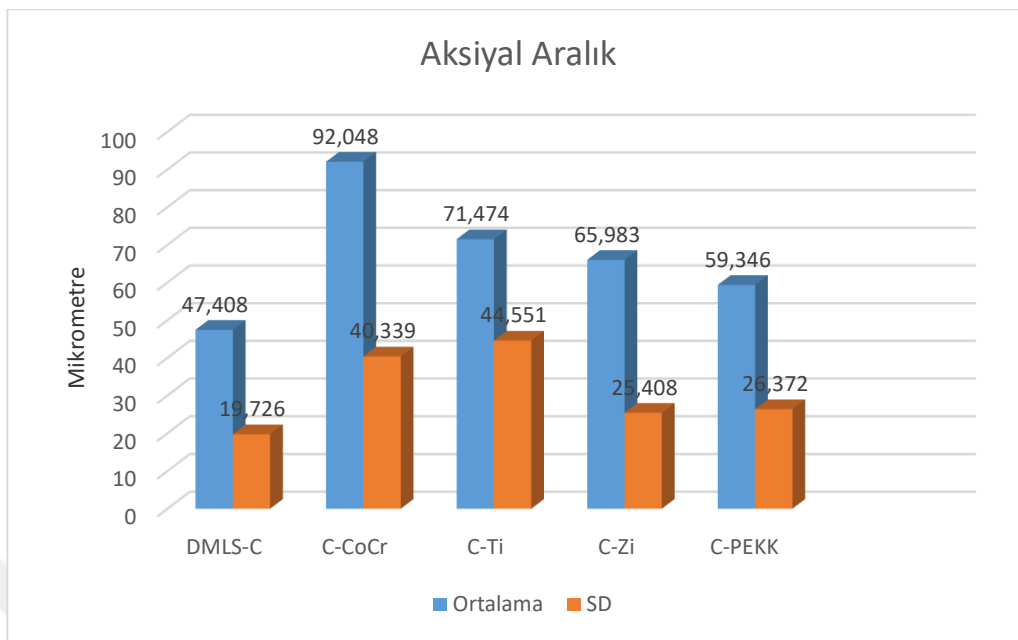
Gruplar arasında ölçümler arasında istatiksel olarak anlamlı fark vardır ($p<0.05$, $F= 10,624$).

Yapılan post hoc (Tukey, Bonferroni) testleri sonucuna göre DMLS-C grubuya C-Zi grubu arasında chamfer aralığının benzer olduğu ortaya konulmuş, istatiksel anlamlı farkın olmadığı tespit edilmiştir ($p>0.05$).

DMLS-C grubundaki chamfer aralığı uyumunun diğer CAD / CAM kazıma gruplarına göre daha iyi olduğu, istatiksel olarak aralarında anlamlı farkın olduğu ortaya konulmuştur ($p<0.05$).

CAD / CAM kazıma grubunda en iyi chamfer uyumunun C-Zi grubunda olduğu tespit edilmiştir.

4.2.5 Aksiyal aralığının değerlendirilmesi



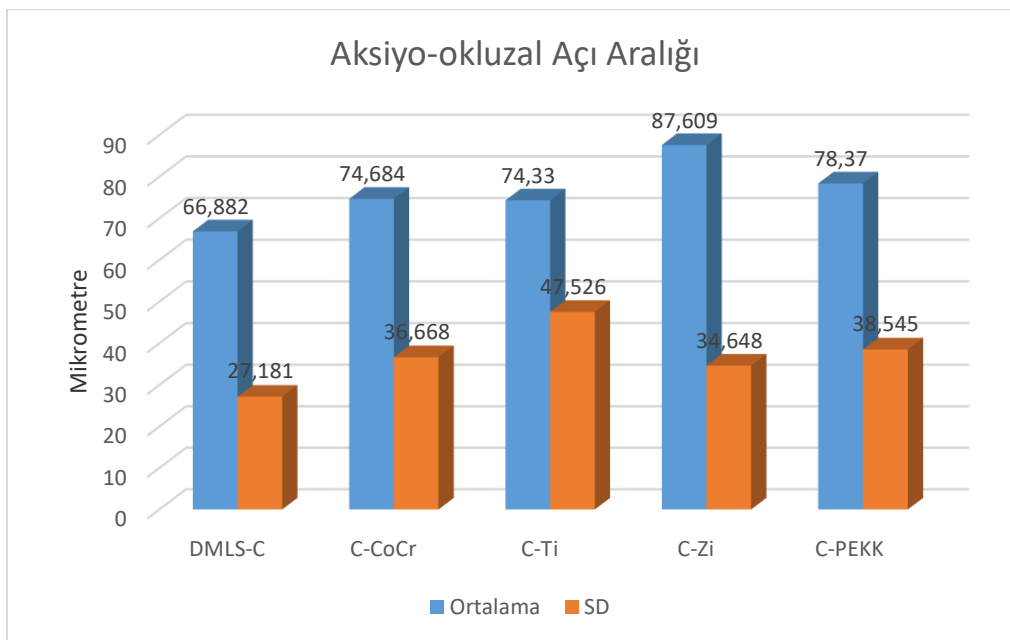
Şekil 4.5: Kron Altyapılarının Aksiyal Aralık Ölçümlerinin Ortalama ve SD Değerleri
Gruplar arasında ölçümler arasında istatistiksel olarak anlamlı fark vardır ($p<0.05$, $F= 20,414$).

Yapılan post hoc (Tukey, Bonferroni) testleri sonucuna göre DMLS-C grubuyla C-PEKK grubu arasında aksiyal aralığının benzer olduğu ortaya konulmuştur. İstatistiksel anlamlı farkın olmadığı tespit edilmiştir ($p>0.05$).

DMLS-C grubundaki aksiyal aralık uyumunun diğer CAD / CAM kazıma gruplarına göre daha iyi olduğu, istatistiksel olarak aralarında anlamlı farkın olduğu ortaya konulmuştur ($p<0.05$).

CAD / CAM kazıma grubunda en iyi aksiyal uyumun C-PEKK grubunda olduğu tespit edilmiştir.

4.2.6 Aksiyo-okluzal açı aralığının değerlendirilmesi



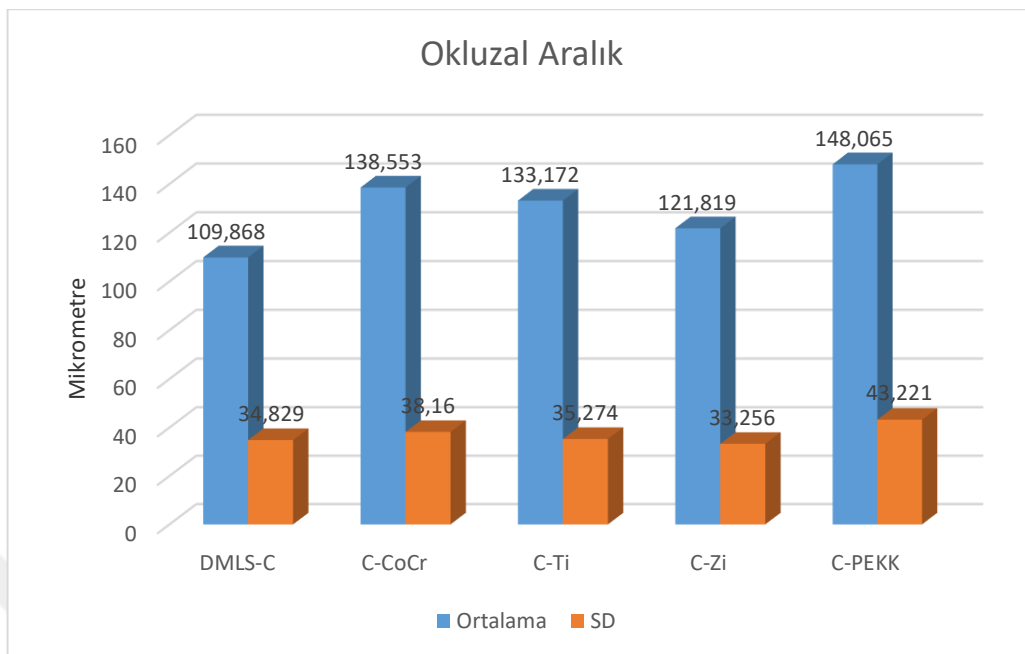
Şekil 4.6: Kron Altyapılarının Aksiyo-okluzal Aralık Ölçümlerinin Ortalama ve SD Değerleri

Yapılan post hoc (Tukey, Bonferroni) testleri sonucuna göre gruplar arasında ölçümler arasında istatistiksel olarak anlamlı fark yoktur ($p>0.05$, $F=3,106$).

DMLS-C grubundaki aksiyo-okluzal açı aralık uyumunun diğer CAD / CAM kazıma gruplarla benzer olduğu, istatistiksel olarak aralarında anlamlı farkın olmadığı ortaya konulmuştur ($p>0,05$).

CAD / CAM kazıma grubunda en iyi aksiyo-okluzal uyumunun C-CoCr ve C-Ti grubunda olduğu tesbit edilmiştir.

4.2.7 Okluzal aralığın değerlendirilmesi



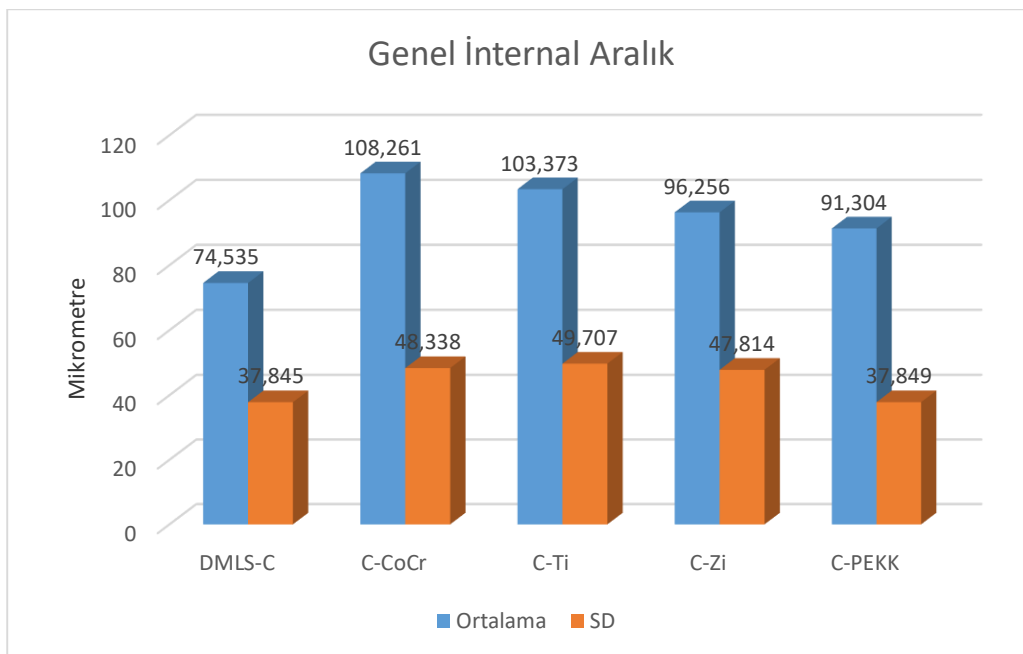
Şekil 4.7: Kron Altyapılarının Okluzal Aralıklarının Ortalama ve SD Değerleri
Gruplar arasında ölçümler arasında istatistiksel olarak anlamlı fark vardır ($p<0.05$, $F= 12,796$).

Yapılan post hoc (Tukey, Bonferroni) testleri sonucuna göre DMLS-C grubuyla C-Zi grubu arasında okluzal aralığının benzer olduğu ortaya konulmuş, istatistiksel anlamlı farkın olmadığı tespit edilmiştir ($p>0.05$).

DMLS-C grubundaki okluzal aralık uyumunun diğer CAD / CAM kazıma gruplarına göre daha iyi olduğu, istatistiksel olarak aralarında anlamlı farkın olduğu ortaya konulmuştur ($p<0.05$).

CAD / CAM kazıma grubunda en iyi okluzal uyumun C-Zi grubunda olduğu tespit edilmiştir.

4.2.8 Genel ortalama internal aralığın değerlendirilmesi



Şekil 4.8: Kron Altyapılarının Genel Internal Aralık Ölçümlerinin Ortalama ve SD Değerleri

Gruplar arasında ölçümler arasında istatistiksel olarak anlamlı fark vardır.

($p<0.05$, $F = 23,984$)

Yapılan post hoc (Tukey, Bonferroni) testleri sonucuna göre DMLS-C grubundaki internal aralık uyumunun diğer CAD / CAM kazıma gruplarına göre daha iyi olduğu, istatistiksel olarak aralarında anlamlı farkın olduğu ortaya konulmuştur ($p<0.05$).

CAD / CAM kazıma grubunda en iyi internal uyumun C-Zi grubunda olduğu tesbit edilmiştir.

5. TARTIŞMA

Yeni teknolojilerin diş hekimliğinde de kullanılmasıyla birlikte; diş protezlerinin üretiminde enerji, zaman ve maliyetten tasarruf sağlanmıştır. CAD / CAM sistemleri de bu yeni teknolojilerden biridir. Bu sistemlerin yanında diş hekimliğinde son zamanlarda hızlı prototip üretim sistemleri de kullanılmaya başlanmıştır. Bu sistemlerden biri olan DMLS ile; 14 üyeli altyapıların tek parça halinde üretilebilmesi mümkündür. Bunun yanında 90 üye metal altyapının üretimini aynı anda yapabilmek de mümkündür. Üretilen altyapılarda düzeltmelere, geleneksel döküm işlemeye kıyasla daha az gerek duyulmaktadır. Bu da büyük zaman kazancı sağlamaktadır (Ucar ve dig. , 2009). DMLS sistemi CAD / CAM sisteminden farklı olarak, materyal eksiltmesi (kazıma) yerine, küçük parçacıkların birleştirilmesi esasına göre çalışır. Bu sistemin kullanılması malzeme israfını engeller ve maliyet yönünden diğer sistemlerden avantajlıdır. Bu teknolojilerle üretilen sabit restorasyonların maliyet ve zaman açısından avantaj sağladığının yanı sıra dişle olan uyumlulukları kabul edilebilir klinik değerlerde olmalıdır.

Bundan dolayı sabit restorasyonların üretiminde rutin kullanılmış olan CAD / CAM üretim sistemi ve daha yeni bir sistem olan DMLS yöntemiyle üretilen kron alt yapılarının marjinal ve internal uyumlarının in vitro olarak incelenmesi araştırmamıza konu oluşturmıştır.

İn vitro ve in vivo olarak restorasyonların başarısı test edilse de; kenar uyumu, klinik olarak restorasyonların başarısının değerlendirilmesinde önem arz etmektedir (Sulaiman ve dig. , 1997).

Restorasyonun başarısını ve ilişkili olduğu dokuların sağlığını etkileyen önemli faktörlerden biri de restorasyonun dişe olan uyumudur. Aşırı kenar açıklığı simanın erimesiyle mikro sızıntıya, ikincil çürüklere ve dişi çevreleyen destek doku problemlerine sebebiyet verebilir (Toman ve dig. , 2009; Yeo ve dig. , 2003).

Literatürde, güncel tekniklerle üretilen sabit protetik restorasyonların uyumları ile ilgili çalışmalar azken, DMLS tekniğiyle üretilen sabit protetik restorasyonların iç ve kenar uyumlarının incelendiği çalışma sayısı daha da azdır (Ortorp ve dig. , 2011; Quante ve dig. , 2008; Ucar ve dig. , 2009). DMLS yöntemiyle üretilen restorasyonlarla ilgili çalışmalar genelde; metal porselen arasındaki bağlantı kuvveti, Akova ve dig. (2008); Iseri ve dig. (2011), kırılganlık, Suleiman ve Vult (2013), ve yüzey özellikleri, Al Jabbari ve dig. (2014); Xin ve dig. (2014), ile ilgilidir. Yaptığımız bu araştırma, DMLS yöntemiyle üretilen kron altyapılarının iç ve kenar uyumlarıyla ilgili eksiklikleri gidermeye yönelik modern tekniklerin karşılaştırılmalı değerlendirilmesine imkan sağlayacaktır.

Marjinal ve internal uyumları tespit için birçok farklı ölçme tekniği mevcuttur (Abduo, 2014, Sorensen, 1990). Çalışmalarda, direkt yöntem ve kesit olarak inceleme yöntemleri şuna kadar en çok kullanılan yöntemler olmuştur (Tjan ve Fox, 1989; Albert ve El-Mowafy, 2004; Beschnidt ve Strub, 1999; Lin ve dig. , 1998; Pera ve dig. , 1994; Suarez ve dig. , 2003; Sulaiman ve dig. , 1997; Weaver ve dig. , 1991; Wolfart, 2003; Yeo ve dig. , 2003).

Direkt mikroskopik olarak ölçme yöntemi, kesit alma yöntemine göre daha hızlı ve kolaydır. Bu teknikte örnekler zarar görmediğinden dolayı tekrarlanabilir niteliktedir. Fakat bu yöntemle hassas ölçümlerin yapılması mümkün değildir (Çetinkaya, 2013). Biz araştırmamızda, hassas ve detaylı veriler elde edebilmek için simant edilen modellerlerden kesitler olarak mikroskop altında inceleme yöntemini tercih ettiğimizdir.

Araştırmamın güvenilirliği için kronların yapılacak çalışma modelleri boyut olarak standart olmalıdır. Yapılan preparasyon şeklinin belli kurallara göre olması gerekmektedir. *In vitro* çalışmalarda bu standardizasyonu sağlamak *in vivo* çalışmalara göre daha kolaydır (Charoenchitt ve Asvanund, 2014; Cho ve dig. , 2004, Pera ve dig. , 1994, Syu ve dig. , 1993; Torabi ve dig. , 2013; Weaver ve dig. , 1991). Tae-Jin Song ve arkadaşları 2013 yılında 3 üyeli zirkonya ön bölge köprülerin marjinal uyumlarını, rezin modeller üzerinde incelemiştirlerdir (Song ve dig. , 2013). Vojdani ve arkadaşları ise çalışmalarında CAD / CAM ve döküm yöntemiyle üretikleri metal altyapıların internal ve

marjinal uyumlarını karşılaştırmışlar, ana model olarak paslanmaz çelik modelleri kullanmışlardır.

İn vitro çalışmalarında örneklerin standart olmasının yanı sıra, doğal yapılara olan benzerlikleri de üst seviyede olmalıdır. Modellerimizin dizaynı akrilik sağ üst çene birinci molar dişin kesimi yapılarak sağlanmıştır. Diş preparasyonun belli prensiplere göre yapılması, restorasyonun tutuculuğu ve destek dişe gelecek kuvvetlerin dağılımı açısından önemlidir.

İdeal diş kesiminin prensipleri için yapılmış birçok çalışma vardır. Marjinal ve internal uyumun preparasyon açısıyla olan ilişkini araştıran bir çalışmada; 4° , 8° ve 12° sahip örnekler hazırlamış ve CAD / CAM sistemiyle zirkon altyapılar elde edilmiştir. En iyi altyapı uyumunun 12° preparasyon açısına sahip örneklerde meydana geldiği görülmüştür (Beuer ve diğerleri, 2009b). Shillinburg ve arkadaşları, maksimum tutuculuğun preparasyon açısının 2° - 6° arası olduğunda sağlanabildiğini belirtmişlerdir. Tüm bunlar genel olarak diş kesim prensipleri haline gelmiştir (Bowley, 2004; Shillinburg ve diğ. , 1997). CAD / CAM sistemiyle üretimde uygunluk için kesim açısının en az 3° olması gerekmektedir. (Vita In-Ceram YZ for inLAB Brochure, 2018).

2001 yılında Goodacre ve ark. preparasyon yöntemleriyle ilgili son 50 yılda yazılmış literatürleri incelemiş kesim açısının 10° - 20° arasında olması gerektiğini belirtmişlerdir (Goodacre ve diğ. , 2001). Çalışmamızda ideal klinik koşullara uygun 6° - 10° koniklik açılı ve 1mm genişliğinde 360° chamfer basamaklara sahip sağ üst çene 1.büyük azısına ait modeller üretildi. Bu preparasyon şeklini tercih etme sebebi biz kesim bitim sınırının daha net görülmesi ve daha uyumlu restorasyonlar elde etmemize yardımcı olmasıdır. Ayrıca CAD / CAM sistemlerinde kullanılan tarayıcıların en iyi şekilde çalışabilmesi için kenar bitim şeklinin shoulder veya chamfer basamak olarak hazırlanması önerilmektedir (Vita In-Ceram YZ for inLAB Brochure 2018).

Bilgisayarlı üretimlerde diş ile restorasyon arasındaki siman aralığı, dijital olarak ayarlanırken, geleneksel yöntemde die spacer'ın belli kalınlıkta tabakalar halinde model üzerine sürülmesiyle elde edilir (Anunmana ve diğ. , 2014; de Oliveira Correa , 2006; Ortrop ve diğ. , 2011)

Literatürde kenar uyumlarının incelendiği araştırmalarda siman aralığı 10 μm -85 μm arasında verilmiştir (Anunmana ve dig., 2014; Ortorp ve dig. 2011; Vojdani ve dig., 2013). Biz çalışmamızda siman aralığını 35 μm olarak belirledik.

Kesitler için standardın sağlanması için üretilen alt yapıların modellere simant edilmesi gerekmektedir (Beschnidt ve Strub, 1999; Wolfart, 2003). Kenar aralığının simantasyon işlemi sonrası arttığı, yapılan araştırmalarda belirtilmiştir. Bu nedenle kenar aralığının doğru bir şekilde tespiti için ölçümelerin simantasyon sonrası yapılması gerektiği bildirilmektedir (Att ve dig. 2009 ; Blatz ve dig. 2003).

Marjinal ve internal uyumun incelendiği birçok araştırmada alt yapıların model ile uyumu parmak basıncı (8 ± 1.3 kg) ile sağlanmıştır (e Silva, 2014; Kahramanoglu ve Kulak-Özkan, 2013; Kokubo ve dig., 2005; Ucar ve dig., 2009). Literatürdeki çalışmalarında; simanın sertleşirken boyutsal stabilizasyonunu koruması için simantasyon belli bir süre 50 N'luk (~ 5 kg) kuvvet uygulanarak yapılmıştır (Anunmana ve dig., 2014; Ortorp ve dig., 2011; Satoh, 1989; Vojdani ve dig. 2013).

Çalışmamızda simantasyon önce parmak basıncıyla yapılmış ve fazla siman artıkları temizlenmiştir. Daha sonra çalışmamız için tasarlanmış özel mekanizmayla her örnek için 5 kg'luk kuvvet uygulanmış, 7,5 dakika beklenmiştir (Şekil 3.7). Bu şekilde parmak basıncıyla uygulanan değişken kuvvetler yerine, her örneğe eşit miktarda kuvvet eşit sürede tüm örneklerde uygulanarak simantasyon standartizasyonu sağlanmıştır. Bu konuya ilgili araştırmalarda uygulanan kuvvetin miktarının arttırılmasının restorasyonda başarısızlıklara yol açtığı bildirilmiştir (Weaver ve dig., 1991).

Simante edilen altyapıların, kesilirken hasar görmemesi, modelden ayrılmaması ve konumlarının simante edildiği pozisyonda olması önemli bir konudur. Bunun için pekçok araştırmacı örnekleri kesme işleminden önce örnekleri epoksi reçine veya akrilik içerisine gömmüşlerdir.(Ortorp ve dig., 2011; Quante ve dig., 2008; Ortorp ve dig., 2011; Vojdani ve dig., 2013).

Biz çalışmamızda simante ettiğimiz örnekleri, sertleşme sırasında değişime uğramayan yüksek boyutsal stabilitesi yüksek akrilik içine gömerek 24 saat beklettik.

Marjinal ve internal uyumun tespitinde farklı araştırmacılar, tarafından farklı teknikler kullanıldığı için ölçüm noktalarıyla ilgili bir standart yoktur (Kahramanoglu ve Kulak-Özkan, 2013; Ortorp ve dig. , 2011; Quante ve dig. , 2008; Ucar ve dig. , 2009).

Daha sağlıklı sonuçların sağlanması ölçüm nokta ve sayılarının arttırıp standart sapmanın düşürüldüğü ölçümlerle mümkündür. *In vitro* olarak yapılan çalışmalarda marjinal uyumun tespiti için 50 noktadan ölçümün ideal olduğunu en az ise 20-25 ölçümün yapılması gereği bildirilmiştir (Groten ve dig. , 2000).

Bazı araştırmacılar restorasyon uyumunu noktasal değerlendirirken, bazıları da ölçüm noktalarını bölgesel grplara ayırmış ve değerlendirmelerini bu bölgeler üzerinde yapmışlardır (Almeida e Silva ve dig. , 2014; Beuer ve dig. , 2009; Anunmana ve dig. , 2014; Kahramanoglu ve Kulak-Özkan, 2013; Ortorp ve dig. 2011).

Beuer ve ark. zirkonya kronlar için yaptıkları kesitlerde marjinal ve internal uyumları marjinal bölge, chamfer bölge , aksiyal bölge ve okluzal bölge olarak ayırarak 4 grupta incelemişlerdir (Beuer ve dig. , 2009). Anunmana ve arkadaşları ise, kesitleri 5 bölgede incelemiş ve her bölge için tek bir ölçüm yapmıştır (Anunmana ve dig. , 2014).

Çalışmamızda örneklerden aynı noktadan mesio-distal yönde kesit alarak dijital video mikroskop altında, özel ölçüm yazılımıyla 16 farklı noktadan, 5'er kez ölçüm yaparak değerler elde ettik. Bu 16 noktayı marjinal, basamak, chamfer, okluzal ve aksiyal olarak 6 bölgeye ayırdık ve değerlendirmemizi bölgesel olarak yaptık.

Literatürde bu konuya ilgili yapılan kesit incelemelerinde birçok farklı sistem kullanılmıştır. Ural kesit incelemelerini SEM ile yaparken (Ural, 2006), Abbate ve ark. dijital mikroskopu kullanmışlardır. (Abbate ve dig. , 1989; Suarez ve diğer. , 2003). Stereomikroskopta araştırmalarda kullanılmıştır. (Pera ve dig. , 1994; Çınar, 2001). Groten ve ark. yaptıkları çalışmada SEM ve ışık

mikroskobunu kullanarak araştırma yapmışlar aralarında bulunan sonuçlarda fark olmadığını belirtmişlerdir (Groten ve dig. , 2000). Biz çalışmamızda dijital video mikroskop kullanmayı tercih ettik.

Kron uyumlarının incelendiği araştırmalarda farklı sayınlarda örnekler kullanılmıştır. (Groten, ve dig. , 2000; Holmes ve dig. , 1989; Rinke ve dig. , 1995). Biz ise çalışmamızda daha önce yaptığımız istatistiksel analizler neticesinde örnek sayımızı; her bir grupta 20 olmak üzere 100 olarak belirledik, Çalışmamız boyunca toplam 16 noktadan 5 kez tekrarlı ölçü olmak üzere toplamda 8000 ölçüm yapılmıştır. Analizde ölçümlerin tekrarlı ölçümlerin ortalamaları dikkate alınmıştır. Örneklerin ve yapılan ölçüm sayılarının fazla olması ile sonuçların daha güvenilir olması hedeflenmiştir.

Sabit protetik restorasyonların kenar uyumu, araştırmacılar için her zaman ilgi çekici olmuştur. Foster bu konuya ilgili yaptığı araştırmada başarısızlığa neden olan teknik konuların başında klinik olarak uygun olmayan kenar aralığının olduğunu vurgulamıştır (Foster, 1990). Bir restorasyonun sahip olması gereken kenar açıklığının miktarı ile ilgili farklı değerleri belirten birçok araştırmacı vardır. Levine'ne göre de teorik olarak ideal marjinal uyum için siman kalınlığının 20-40 μm olması gerekmektedir (Levine, 1989). Fakat bunu sağlayabilmek klinik olarak zordur. May ve arkadaşları, marjinal aralığın simantasyon sonrası 25-40 μm arasında olması gerektiğini ancak bunun klinik olarak sağlanmasının çok nadir olduğunu belirtmişlerdir (May ve dig. , 1998). McLean ve Franunhofer 5 yıl içerisinde yapılan 1000 adet restorasyon üzerinde incelemeler yapmış , kabul edilir klinik değerin en fazla 120 μm olduğunu belirtmişlerdir (McLean, 1979; Suarez ve dig. , 2003).

Christensen klinik subgingival kenar açıklık için kabul edilebilir değerin 34-119 μm , supragingival açıklık için ise 2-51 μm olarak belirtmiştir (Christensen, 1966). Bazı araştırmacılar da 100 -150 μm 'luk klinik kenar aralığını yeterli olarak belirtmişlerdir (Boening, 1992; Fransson ve dig. , 1985). Buna rağmen Hunter ve Hunter, Good ve arkadaşları ve bunlara benzer bir çok araştırmacı da 200 μm 'luk klinik kenar aralığının yeterli olduğunu ileri sürmüşlerdir (Good, 2009; Hunter ve Hunter, 1990; Ostlund, 1985; Stapper ve dig. , 2005; Loney ve Jarotskic,, 1996; Tinschert ve dig. 2001). Çalışmamızda, 2 farklı sistemle yapılan kron altyapılar arasında iyi marjinal uyum 44,783 μm ortalama ile

DMLS sisteminde, en yüksek marjinal aralık ise 102,825 μm ortalama ile PEKK örneklerde görülmüştür. Araştırmamızda 2 farklı sistemle üretilen kron alt yapılarının marjinal uyumları ile ilgili ölçümler değerlendirildiğinde, ölçüm değerlerimiz bütün grup ortalamalarında araştırmacıların marjinal aralık değeri için kritik nokta olarak ortaya koydukları 200 μm 'lik değere ulaşmamıştır ve klinik olarak kabul edilebilir sınırlardadır.

Üretilen alt yapılara uyumlandırma işlemi, restorasyonun oturmasını artıran, internal ve marjinal aralığı azaltan bir işlemidir. Witkowski ve arkadaşları, uyumlandırma işleminin kenar uyumuna etkisini tespit için CAD / CAM sistemiyle üretilen titanyum altyapıların kenar uyumlarını, yatay ve dikey yönde uyumlandırma öncesinde ve sonrasında, incelenmiştir. Kenar açılığı uyumlandırma öncesi 32,9 μm - 127,8 μm iken uyumlandırma sonrası 3,4 μm - 58,4 μm olarak tespit edilmiştir. Bu çalışma CAD/ CAM teknolojisiyle elde edilen altyapılara yapılan uyumlandırma işleminin kenar uyumunu önemli derecede azalttığını bildirmiştir (Witkowski ve dig. , 2006). Çalışmamızda standardizasyonu korumak için üretilen altyapılara uyumlandırma işlemi yapılmamıştır. Eğer çalışmamızda üretilen alt yapılara uyumlandırma işlemi yapılrsa yüksek marjinal ve internal uyumun daha yüksek olacağını düşünmektediyiz.

Literatürde, sabit restorasyonların marjinal ve internal uyumun araştırmalarda bulunan değerlerin farklı olduğunu görmekteyiz.

Literatürde; lazer sinterleme, CAD / CAM kazıma ve geleneksel döküm tekniği ile üretilen metal altyapıların marjinal uyumlarının karşılaştırması için genellikle tek kronlar kullanılmıştır. 3 üyeli sabit restorasyonlarla ilgili az sayıda çalışma vardır. Sundar ve ark. çalışmalarında döküm tekniğiyle üretilen NiCr ve laser sinterleme tekniğiyle üretilen CoCr altyapılı tek kronların kenar uyumlarını *in vitro* olarak karşılaştırmışlardır. Porselen fırınlama öncesi ortalama kenar aralığı; döküm NiCr grubu için 66,24 μm , lazer sinterleme CoCr grubu için ise 56,26 μm bulunmuştur. Porselen fırınlama sonrası sonrası bu değerler döküm NiCr grubu için 70,83 μm , lazer sinterleme CoCr grubu için ise 53,63 μm olarak bulunmuştur. DMLS altyapıların, döküm altyapılara göre porselen fırınlama işlemi öncesi ve sonrası daha iyi marjinal uyum sağladıkları görülmüştür. Porselen fırınlama işleminin DMLS altyapıların marjinal aralığını

azalttığı fakat bunun istatiksel anlamlı olmadığını bildirmişlerdir (Sundar ve dig. , 2014). Shokry ve ark. in vitro olarak titanyum ve NiCr tek kronlarda porselen fırınlama öncesi ve sonrası ölçümler yapmış, fırınlama sonrası marjinal kenar uyumunun değiştiğini belirtmişlerdir. Çalışmada, Everest sistemi ile saf titanyum malzemeden altyapılar üretilip ortalama marjinal aralığı, opak ve dentin uygulaması sonrasında değerlendirmiştir. Bu değerler sırasıyla; alt yapıda 24,1 μm , opak uygulaması sonrası 32,3 μm ve dentin uygulaması sonrası 35,6 μm 'dır. Döküm tekniğiyle elde edilen saf titanyumun altyapılarda bu değerler sırasıyla; alt yapıda 81,5 μm , opak uygulaması sonrası 83,8 μm ve dentin uygulaması sonrası 83,7 μm 'dur. Döküm tekniği kullanılarak elde edilen Ti-6Al-7Nb altyapılarda bu değerler sırasıyla; alt yapıda 47,3 μm , opak uygulaması sonrası 70,6 μm ve dentin uygulama sonrası 70,6 μm 'dır. Döküm tekniği kullanılarak elde edilen NiCr altyapılarda bu değerler sırasıyla; altyapıda 92,8 μm , opak uygulaması sonrası 97,9 μm ve dentin uygulama sonrası için 94 μm 'dur. NiCr altyapılarda daha fazla marjinal uyumsuzluk tespit edilmiştir (Shokry ve dig. , 2010). Harish ve ark., in vitro olarak tek üye metal altyapılarının marjinal ve internal uyumlarını incelemiştir ; döküm CoCr grubu için 176,57 μm , lazer sinterleme CoCr grubu için 102,1 μm bulmuşlardır. Bu değerler anlamlı derecede yüksektir (Harish ve dig. , 2014). Xu ve ark., yaptıkları benzer in vitro çalışmada seçici lazer ergitme ve CoCr altyapılarının marjinal uyumunu, seçici lazer ergitme için 102,86 m, döküm için 170,19 m bulmuşlardır (Xu ve dig. , 2014).

Park ve arkadaşları, yaptıkları in vitro çalışmada tek üye metal altyapılarının ortalama marjinal aralık miktarını ; döküm grubunda 36,96 μm , CAD / CAM grubunda (Datron D5) grubunda 63,21 μm ve DMLS (EOSINT M270) grubunda 70,98 μm olarak bulmuşlardır (Park ve dig. , 2015). Literatürdeki, CAD / CAM, lazer sinterleme ve döküm tekniğiyle elde edilen 3 üye metal altyapılarının marjinal uyum çalışmalarına baktığımızda; Ortorp ve ark. yaptıkları in vitro çalışmada 3 üye CoCr köprü altyapılarının marjinal aralık değerlerini; DMLS grubunda: 84 μm , mum freze grubunda: 117 μm , döküm grubunda: 133 μm ve CAM / CAD metal grubunda: 166 μm olarak bulunmuştur. En iyi marjinal aralık değeri 84 μm ile DMLS grubuna aittir (Ortorp ve dig. , 2011). Kim ve ark. yaptıkları in vitro çalışmada 3 üye kron altyapılarının ortalama

marjinal aralık değerlerini DMLS (EOSINT M270, CoCr) grubunda küçük azı için 130,6 μm , büyük azı için 133,1 μm , döküm grubunda ise (NiCr) küçük azı için 81,7 μm , büyük azı için 81,8 μm olarak ölçmüştür (Kim ve diğ. , 2013a). Nesse ve ark. marjinal ve internal aralık incelemesi için yaptıkları çalışmalarında, döküm, 3 üyeli CoCr altyapılarının marjinal uyumunu direkt gözlem ve skorlama tekniği ile yapmışlar, CAD / CAM tekniğinin lazer sinterleme ve geleneksel döküm teknüğine göre daha iyi olduğunu belirtmişlerdir (Nesse ve diğ. , 2015).

Biz çalışmamız neticesinde ürettiğimiz alt yapılarda ; CAD/ CAM yöntemde; CoCr için 82,22 μm , titanyum için 72,792 μm , zirkon için 58,722, PEKK için 102,825 μm DMLS yöntemi için 44,38 μm ortalama aralık değerleri elde ettik.

Quante ve arkadaşları marjinal ve internal aralıkları inceleme amacıyla lazer sinterleme metal destekli kronlar üretmişlerdir. Bu çalışmada , CoCr ve Au-Pt alaşımaları kullanılmış 74 -99 μm arasında marjinal açıklık, 250-282 μm arasında internal açıklık değerleri tespit edilmiştir (Quante ve diğ. , 2008).

Uçar ve arkadaşları DMLS ve geleneksel döküm yöntemiyle elde edilen tek kronların internal uyumlarını araştırmışlardır. Araştırma sonucunda; döküm yöntemiyle üretilen CoCr kronlar için 58.21 μm , NiCr kronlar için 50.55 μm ve DMLS grubu kronlar için ise 62.57 μm olarak bulunmuş, istatiksel olarak bir fark olmadığı sonucuna varılmıştır. (Ucar , Akova , Akyil , & diğerleri, 2009)

Yeo ve arkadaşları geleneksel InCeram, Celay InCeram, IPS Empress-2 tam seramik kronlar ile ve kontrol grubu olarak metal seramik kronların kenar uyum kontrolünü incelemiştir. Metal seramik kronlarda porselen fırınlama sonrası ölçümlerde marjinal aralık ortalamasını 87 μm olarak belirtmişlerdir (Yeo ve diğ. 2003).

Sabit protetik restorasyonların marjinal ve internal aralıklarının incelendiği çalışmalarında farklı değerlerin bulunmasının sebebi ölçüm tekniklerinden kullanılan materyale kadar birçok sebebi varlığıdır.

Literatürde araştımanın in vivo veya in vitro oluşu, örnek sayısı, ölçüm tekniği ve sayısının araştırmalar arasındaki farklılığa neden olduğu belirtilmektedir (Ayad, 2009 ; Sulaiman ve diğ. , 1997). Nawafleh ve ark. da tüm bu faktörler

yanında örneklerin simante edilip edilmemesinin ve preparasyon şeklärinin de kenar uyumunu etkilediğini belirtmişlerdir (Nawafleh ve diğ. , 2003).

Abduo ve arkadaşları, zirkonya kronların marginal ve internal uyumlarıyla ilgili yaptıkları derlemede, araştırmalarda kullanılan sistemlerin aynı olmasına rağmen anlamlı derecede farklılık olmasının sebebinin farklı tekniklerin kullanılması olduğunu ifade etmişlerdir (Abduo ve diğ. , 2011).

Çalışmaların bazıları simante edilerek, bazıları da simante edilmeden yapılmıştır. Siman tabaka kalınlığı miktarı hem internal hem de marginal uyumu etkilemektedir (Nakamura ve diğ. , 2003). Naert ve arkadaşları simantasyon öncesi marginal aralığı $30 \mu\text{m}$ simantasyon sonrası $34\mu\text{m}$ bulmuştur. Bulunan bu fark bu düşünceyi doğrulamaktadır (Naert ve diğ. , 2005). Çalışmalarda örneklerin simantasyonu için geleneksel veya rezin simanlar kullanılmışlardır. Alkumru ve arkadaşları araştırmalarında, marginal aralığın geleneksel simantasyonun yapıldığı örneklerde rezin siman ile yapılan simantasyon yapılan örneklerden 2,5 kat daha fazla olduğunu belirtmişlerdir (Alkumru ve diğ. , 1992).

Çalışmamızda simantasyon işlemi, klinik şartlara yakın sonuçların eldesi için, her örneğe eşit sürede eşit kuvvet uygulanarak rezin siman kullanılarak yapılmıştır.

Kron protezinin üretim aşamalarındaki işlemlerin kenar uyumunu etkileyebileceği gibi; simantasyon süresinin, uygulanan kuvvetin ve die spacer uygulamasının restorasyon uyumunu etkileyeceği bildirilmiştir (Alkumru ve diğ. , 1988; Holmes ve diğ. , 1989; Suarez ve diğ. , 2003).

Örneklerin simante edildiği modellerin yapısı da önem teşkil etmektedir. Kappert ve Altvater'in, tam seramik kron ve metal altyapılı seramik kronlar üzerinde yaptıkları çalışmada; kronların alçı ve plastik ana model üzerindeki uyumları karşılaştırılmış ve alçı modellerdeki aralığın plastik dişlere göre belirgin derecede az olduğu saptanmıştır (Kappert ve Altvater, 1991).

Literatürde bugüne kadar yapılan çalışmalara bakıldığından, laser sinteringle üretilen köprülerin marginal ve internal uyumlarını araştıran sadece bir makaleye rastlanmıştır. Ortorp ve arkadaşları 3 üyeli CoCr protezleri dört farklı teknikle (DMLS: direkt metal lazer sinterleme, LW: mum uçurma, MW:

kazınmış mum, MC: kazınmış) üretip, destek dişlerin kenar uyumlarını incelemiştirlerdir. Buldukları sonuçların ortalama ve standart sapma değerleri; DMLS: Küçük azı için $69 \mu\text{m} \pm 58 \mu\text{m}$, büyük azı için $99 \mu\text{m} \pm 58 \mu\text{m}$, MW: Küçük azı için $83 \mu\text{m} \pm 55 \mu\text{m}$, büyük azı için $152 \mu\text{m} \pm 103 \mu\text{m}$, LW: Küçük azı için $144 \mu\text{m} \pm 92 \mu\text{m}$, büyük azı için $21 \mu\text{m} \pm 80 \mu\text{m}$, MC: Küçük azı için $163 \mu\text{m} \pm 135 \mu\text{m}$, büyük azı için $169 \mu\text{m} \pm 136 \mu\text{m}$. En iyi uyumun DMLS grubunda olduğu görülmüştür. (Ortorp ve diğ. , 2011). Bu sonuçlar bizim çalışmamızdaki sonuçlara benzemektedir.

Üretilen alt yapıların aralık ölçümlerinin ortalama değerleri incelendiğinde; bu literatür çalışmasında da görüldüğü gibi DMLS grubu CAD CAM grubundan daha iyi sonuçlar vermiştir.

Materyallerin aynı olmasına rağmen oluşan bu farklılığın sebebi; sistemlerin farklı çalışma prensipleri ve üretim aşamalarıdır.

Geleneksel yöntemle üretilen alt yapılarda, modelaj el ile yapılır. Bundan dolayı modelajda standart kalınlığı sağlamak zordur. Mum modelajın kalınlığı, modelajın bekleme zamanı, teknik elemanın becerisi döküm tekniğiyle üretilen restorasyonlarda distorsiyona neden olabilecek faktörlerdir (Takahashi ve Gunne, 2003).

Tarama, tasarım ve milleme aşaması gibi bir çok faktör CAD / CAM teknolojisi ile üretilen kronların marjinal ve internal uyumlarını etkileyebilir (Song ve diğ. , 2013).

CAD /CAM sistemi gibi aşındırmaya dayalı sistemlerde restorasyonun iç yüzeyini kazıyan frezlerin çapı, bazen kenar gibi, prepare dişin bazı yüzeylerinden daha geniş olabilir. Böyle durumda, diğer üretim tekniklerine göre daha fazla internal aralık değeri elde edilebilir (Conrad ve diğ. , 2007).

Yapılan ölçümlere göre tüm kron alt yapılarında, en yüksek kenar aralık değerlerinin okluzal bölgede olduğu görülmüştür. Farklı araştırmalarda da benzer sonuçlara varılmış, bunun sebeplerinden birinin ‘toplam okluzal kesim açısı’ olduğu söylenmiştir (Kunii ve diğ. , 2007; Milan, ve diğ. , 2004).

Biz ise çalışmamızda kesim açısını, her kenar için 6° olacak şekilde toplam 12° olarak dizayn ederek ideal sınırlar içerisinde kaldık. Bu nedenle okluzaldeki bu aralığın ana sebebinin preparasyon açısı olmadığını düşünmekteyiz. Daha önce

yapılmış çalışmalar simanın akışkanlığının açıklık miktarında etkin bir faktör olduğunu belirtmektedir (Marker ve diğ. , 1987). Fakat biz çalışmamızda da okluzal aralığın nedenlerinden birinin siman akışkanlığı olmadığını düşünmekteyiz.

Çalışmamızda, CAD/ CAM ve DMLS alt yapı uyumlarını inceledik. Metal destekli seramik kronların yapım aşamalarından olan porselen yiğimi ve glazürleme sırasında meydana gelecek yüksek ısı değişimlerinden dolayı, alt yapıların internal ve marginal uyumları değişime uğrayabilir. Test örneklerine porselen yiğimi yapılmamış olması bu çalışmada eksik kalmış olup, porselen ve glazür fırınlanması sırasında etkilerin sonraki çalışmalarda araştırılması literatüre fayda sağlayacaktır.

Direkt metal lazer sinterleme tekniğinin maliyet ve zamandan kazanım sağlayan dijital üretim tekniklerinden biri olmasından dolayı gün geçtikçe artmaktadır. Bu üretim tekniğini kullanarak daha farklı, örneğin değişik materyallerin kullanıldığı ve değişik restorasyonların üretildiği uyumla ilgili başka çalışmalar yapılabileceğini belirtebiliriz.

Bilgisayarlı tasarım / bilgisayar destekli imalat (CAD / CAM) gibi otomatik sistemlerin ortaya çıkmasıyla, diş endüstrisi bir çok yeni gelişmelerle tanıştı. Protetik restorasyonların üretimi için kullanılan geleneksel dökümle kıyaslandığında , bu yeni teknikler mumlama, revetmana alma ve mum uçurma gibi aşamaları ortadan kaldırmıştır.

Diş restorasyonlarını imal etmek için geleneksel döküm yöntemleriyle karşılaşıldığında, bu otomatik yöntemler mumlama, revetmana alma ve mum uçurma gibi adımları atlar, böylece üretimi az malzeme tüketimi ve daha fazla zaman verimliliği lehine basitleştirir. (Van Noort, 2012) Bununla birlikte, bu tür otomatik sistemlerle üretilen dental restorasyonların kenar ve iç uyumu, sanal çalışma modeli için kullanılan tarayıcının doğruluğu, bilgisayar yazılımı aracılığıyla 3 boyutlu tasarımın yapıldığı yazılım ve 3 boyutlu tasarımın üretilmesinde kullanılan makinenin hassasiyeti gibi birçok faktörün etkisine maruz kalmaktadır. (Beuer ve diğ. ,2008)

Bu arada, tamamlanmış tasarıma ilişkin 3 boyutlu tasarım verisi bir STL dosyası olarak kaydedilir. Burada STL (stereolitografi) dosya formatı CAD yazılımı için

3D Systems Inc. tarafından geliştirilmiş “standart mozaikleme dili” olarak bilinen bir dosya türündür. Bu format 3 boyutlu modelin yüzey yapısını tanımladığından, çoğu 3 boyutlu yazılım ürünü tarafından desteklenir.

Bu çalışma, bilgisayar destekli frezeleme (CAD / CAM milling) ve DMLS teknolojileri ile üretilen kron alt yapılarının marjinal ve iç uyumun farkının tespitini ortaya koymaya çalışmaktadır.

Bu çalışmanın bulguları da önceki çalışmaların sonuçları ile aynı doğrultudadır. Örneğin, Ortorp ve ark., arka dişler için CoCr 3 üyeli köprülerinin marjinal ve iç boşluklarını araştırmak için stereomikroskop ve dijital fotoğraflar kullanmıştır. Uyum karşılaştırmalarında, bir DMLS' üretimin dökümden daha az aralığa sahip olduğunu, bilgisayar destekli kazimanın en geniş aralığa sahip olduğunu ortaya koymuştur (Ortorp ve dig. , 2011).

Buna karşılık, Quante ve ark. CoCr arka dişler için tek alt yapıların marjinal ve iç boşluklarını mikroskop altında incelemek için silikon kopya tekniğini kullanmıştır. Bu sayede DMLS tarafından üretilen alt yapılarda iki noktada ortalama marjinal boşluğunun 73 ve 76 μm , olduğunu, okluzalde ise boşluğun 252-284 μm , aralığında olduğunu buldular. Bu çalışmada bulguların hiç biri döküm, bilgisayar destekli frezeleme ve daha sonra DMLS sıralamasındaki fark artışı ile tutarlı değildir (Quante ve dig. 2008).

Protez ve abutment dişleri arasındaki marjinal ve iç boşluğu ölçmek için silikon replika tekniği içeren bir kesim ve gözlem yöntemi olarak mikroskop kullanarak görsel inceleme ve mikro BT ölçümü önerilmektedir. (Beuer ve dig. , 2009; Laurent ve dig. , 2008; Sorensen J. , 1990; Pelekanos ve dig, 2009)

Bu kesme ve gözleme yöntemi, bölümlerin doğrudan doğrulanmasını sağlamak için en doğru yaklaşım olarak önerilmektedir, ancak örneklerin kırılmasını gerektirir. Bu nedenle birden fazla noktanın ölçülmesini oldukça zorlaştırır, bu nedenle kapsamlı ölçümler için birçok kopya örnekler gerektirir. Buna karşılık, silikon replika tekniği, diğer yöntemlere göre güvenilir bir uyum ölçüsü sağlayan örnekler zarar vermeyen bir ölçüm yöntemidir (Laurent ve dig. , 2008; Rahme ve dig. , 2008).

Bu nedenle, bu çalışmada kullanılmak üzere çoklu noktalarda tekrarlanan ölçümlere izin verecek şekilde kesit alma yöntemi seçildi. Ölçüden üretime her

bir materyal için dijital iş akışının her aşamasında oluşabilecek genel hatalar , bu çalışmada dikkate alınmıştır. Bu çalışmada sıfır hipotezimiz reddedildi. Materyal tipine bağlı olarak, marginlar ve internal uyumda önemli istatiksel farklılıklar bulundu.

Bununla birlikte, birkaç çalışma, CAD / CAM tek seramik restorasyonlar için marginal kenar aralığın 64-83 μm , internal aralığın ise 123 – 154 μm olduğu bildirilmiştir (Pelekanosve dig. , 2009).

May ve ark.'nın yaptıkları çalışmada Procera CAD / CAM sistemi ile imal edilen kronlar için 49-64 μm rapor edildi (Rahme ve dig. , 2008). Ayrıca, Cercon CAD / CAM sistem ile üretilen tek zirkon seramik kronlar için ortalama kenar aralığı 66.4 mm olarak rapor edilmiştir.

Baig ve ark., Lins ve ark. Ceramill, Lava ve Leoshape sistemlerinde mutlak marginal kenar aralığı için ortalamalarını (SD) sırasıyla 65.8 (7.62), 70.0 (15.9) ve 74.5 (6.80) μm olarak bildirmiştirlerdir (Park ve dig. , 2015).

Literatürden edindiğimiz değerleri bu çalışmanın sonuçları ile karşılaştırmak doğru değildir, çünkü bu gibi değerler optik veya taramalı elektron mikroskopları kullanarak marginal ve iç uyumu iki boyutlu yöntemlerle değerlendirerek elde edilmiştir.

Bu çalışmada, ortalama marginal uyumu zirkonya tek alt yapılarında kanin için 69.62 μm ve molar için 55.7 μm idi.

Zirkonya tek alt yapının iç uyumu kanin için 41.6 μm ve azi için 40.36 μm ' dur. Bu sayısal değerler May ve ark. CAD / CAM sistemiyle üretilen zirkon kronlar üzerinde yapmış oldukları uyum değerlerine benzerdi (Rahme ve dig. , 2008). Ayrıca, benzer değerler 3 boyutlu olarak yapılan CAD / CAM restorasyonlarından benzer yöntemlerle ölçülen değerlere yakın bulunmuştur (Beuer ve dig. ,2008).

So-Yeon Bae ve ark. PEKK grubunun ortalama marginal uyumunu kanin için 62.04 μm , molar için 51.64 μm bulmuştur. Bu değerler, Yao ve ark.'nın yaptığı çalışmada polimetilmetakrilat (PMMA) ve PEKK'e benzer akrilik polimerler de dahil olmak üzere polimer tip CAD / CAM malzemelerin kullanıldığı restorasyonlarda ortalama marginal uygunluğunun 150-160 μm

olarak gözlendiği çalışmalarında belirttiği değerlerden daha küçüktür (Hung ve dig. , 1990).

Ek olarak, bir PMMA bloğu olan Telio CAD ile yapılan uzun süreli geçici sabit protezlerin marjinal uyumu, Pente ve ark.'nın yaptığı çalışmada ortalama olarak 87.9 μm idi. Bu değer bizim çalışmamızdan küçüktür.

Tsitrou ve arkadaşları hasta başlı sistemlerle üretilen rezin kompozit kronlarda marjinal kenar aralığını 77-105 μm olarak belirtmişlerdir.

Yapmış olduğumuz çalışmayı farklı ölçüm yöntemlerinden dolayı başkalarıyla karşılaştırmamız sınırlı olmasına rağmen, PEKK'nın marjinal ve internal uyumunun kabul olduğu kesindir.

Bu çalışmada, tek yön ANOVA analizi materyale göre (PEKK veya zirkonya) uygunluk açısından anlamlı farklılıklar ortaya çıkmıştır. Bu tür sonuçlar restorasyonun uygunluğunun CAD / CAM sisteme ve kullanılan malzemelere bağlı olduğunu belirten önceki çalışmalarla uyumludur.

Bu çalışmanın sonuçlarına göre PEKK' ten üretilmiş olan alt yapılar , zirkonya alt yapılarla karşılaştırıldığında marjinal ve internal olarak daha fazla uyumsuzluk gösterdi. Bu tür marjinal ve internal uyumsuzluklar, iki grubun klinik dijital iş akışının genel doğruluğunun bir parçası olarak kabul edilebilir. Bu, üretim sırasında marjinal uyumda meydana gelebilecek hatalar, ölçü, CAD tasarımlı, CAM ve son sinterleme, işlemleriyle ilişkilendirildiği gibi, potansiyel stresin bitiş çizgisi gibi şiddetli eğrilik bölgesinde yoğunlaşmasıyla açıklanabilir.

Destek dişte, eğimde hızlı bir değişimin olduğu yer içbükey bölgede olduğu için dışbükey bölge için freze gereklidir. Bununla birlikte, mevcut freze kalemi, içbükey yüzeyler arasındaki elmas frez şeklinde bir içbükey kesme yolu bıraktığı için bir soruna neden olmaktadır. Böyle bir yol, daha küçük bir boyutta kazındığı için negatif farklılıklara neden olur (Schaefer ve dig. , 2013).

Bu gibi olumsuz farklılıklar klinikte erken temas anlamına gelir. Bizim çalışmamızda da elde ettiğimiz değerlerin, prepare dişte ani eğim değişimin olduğu chamfer bölgesi ve okluzalde santral fossa bölgesinde diğer bölgelerden daha fazla olduğu görülmektedir.

Destek diş tipine göre uygun değerler farklılık göstermektedir. So-Yeon Bae ve ark. yapmış olduğu çalışmada aralık değeri kanin ve molar dişe göre anlamlı farklılıklar göstermektedir. Bu Rudolph ve ark.'larının diş şekline bağlı çalışmalarında rapor ettiği sonuçlarla tutarlıdır (Rudolph ve dig. , 2007).

Kanin dişle karşılaşıldığında molarda daha iyi oturmanın bir başka olası nedeni de kazıma frezinin büyülüğidür. Daha önce yapılan birçok çalışma restorasyonların doğruluğunun freze makinesinin frez ölçüsüne bağlı olabileceğini bildirmiştir (Schaefer ve dig. , 2012; Rudolph ve dig. , 2007).

Bu çalışmada, her 5 grup için aynı büyüklükte frez (YT201:2mm ve YT202:1mm) kullanıldı. Daha büyük frez, kazıma sırasında darbelere karşı daha yüksek dayanıklılık, daha yüksek bir kazıma hızı ve mükemmel kesme verimliliğini sağlamaktadır. Bununla birlikte, diş restorasyonlarının üretimi için daha küçük çaplı bir frez gereklidir. Detaylı olarak kenar ve girintilerin üretilmesi gereklidir. Ciddi kurvaturlarda ve frezinin büyülüğünden dolayı aşırı kazıma olabilir (Hamza ve dig. 2013; Persson ve dig. , 2008). Chamfer ve okluzal santral bölgesindeki aralık fazlalığını aşırı kazıma bağlı olduğunu düşünmekteyiz.

Boeing ve arkadaşları, CAD-CAM kullanılarak üretilen titanyum alt yapılarda 53 mikron ortalama bir marjinal boşluk buldu. Leong ve arkadaşları, CAD-CAM titanyum ile 54 μm ve döküm titanyum kronlarla 60 μm marjinal boşlukları gözlemledi. Ticari olarak saf titanyum ve Ti-6Al-4V alaşımı kronlar kullanan başka bir çalışmada, marjinal adaptasyon sırasıyla 83 μm ve 50 μm idi. Kronlar sığır dişlerine oturtuldu ve x50 büyütmede ölçüldü. Döküm işleminden sonra elektrik deşarj makinasının kenar temizliğinde kullanılması, her iki alaşımın da marjinal adaptasyonunu önemli ölçüde arttırdı (Mously , 2014). CAD / CAM titanyum ve geleneksel döküm restorasyonların dikey marjinal boşluklarını karşılaştırın bir başka çalışmada, döküm restorasyonların kenar CAD / CAM restorasyonlar için 79 μm 'ye kıyasla 24 μm 'luk daha küçük marjinal aralığa sahip olduğu tespit edildi. (May ve dig. , 1998)

Çeşitli titanyum alt yapı üretim sistemlerini değerlendiren diğer çalışmalar, 53-70 μm ortalama marjinal boşlukların olduğunu bildirmiştir (Miyazaki, 2009; Kokubo ve dig. , 2005; Grotten ve dig. , 2000).

Bu değerler bizim çalışmamızdaki değerlerin altında görünse de manuel düzeltme yapıldığında altyapıların uyumunun bu değerlere yakın olacağı düşüncesindeyiz.

Bu çalışmayla sınırlı olarak, PEKK altyapılar zirkonya alt yapılar ile karşılaştırıldığında istatistiksel olarak farklı marginal ve internal uyum tespit edilmiştir. Bununla birlikte, PEKK ve zirkonya alt yapı için sunulan sayısal değerlerin klinik olarak kabul edilebilir olduğunu söyleyebiliriz.





6. SONUÇ VE ÖNERİLER

- 1-) *İn vitro* araştırmamızda kullanılan direkt metal lazer sinterleme ve CAD / CAM kazıma sistemleri ile üretilmiş tek kron altyapılarının marginal ve internal uyumlarını incelediğimizde her iki yönteminde klinik olarak kabul edilebilir olduğu söylenebilir. Bu çalışma ideal koşullarda gerçekleştirilmiştir. Ağız içerisindeki durum çalışmamıza benzerlik göstergesinde yumuşak dokuların yapısı ve kalitesi, tükürük, ideal olmayan diş kesimleri gibi birçok farklılıklar bulunmaktadır. Bundan dolayı elde ettiğimiz ortalama değerler, klinik ortamda sağlanamayabilir. Tam porselen yapım basamaklarından olan porselen fırınlama ve glazürleme işlemi sonrasında mevcut marginal ve internal uyumların değişebilirliği çalışmamızın eksik kalan yönüdür. Bu işlemleri de kapsayan yeni çalışmalara ihtiyaç vardır.
 - 2-) DMLS sistemi ve CAD / CAM kazıma sistemiyle üretilen kron altyapılarının marginal ve internal uyumlarının kabul edilir sınırlar içerisinde ve daha önce yapılmış çalışmalarda elde edilen değerlerle uyumlu olduğu bulunmuştur.
 - 3-) İki farklı yapım yöntemi ile üretilen kron altyapılarının kenar uyumları arasında istatistiksel olarak anlamlı bir fark olduğu sonucuna ulaşılmıştır. En yüksek uyumluluk DMLS yöntemiyle üretilmiş CoCr alt yapılarda (44,783) görülürken, en az uyum CAD / CAM kazıma yöntemiyle üretilmiş PEKK altyapılarda (102,825 μm) görülmüştür.
 - 4-) İki sistemle üretilen kron altyapıların ortalama internal aralık ölçümleri karşılaştırıldıklarında, DMLS yöntemiyle üretilen kron alt yapılar CAD / CAM kazıma sistemiyle üretilen kron alt yapılarla göre daha uyumlu bulunmuştur.
- Tüm sonuçlar doğrultusunda sabit protetik restorasyonların yapımında yeni kullanılmaya başlanan direkt lazer sinterleme yönteminin; maliyet ve zamandan sağladığı avantajlarının yanında CoCr kron altyapı üretiminde CAD / CAM

kazıma sistemlere göre marginal ve internal uyumları daha iyi restorasyonların elde edilmesine imkan verdiğini söyleyebiliriz.



KAYNAKLAR

- Abbate, M., Tjan , A., & Fox, W.** (1989). Comparison of the marginal fit of various ceramic crown systems. *J Prosthet Dent*, 61(5), 527-531.
- Abdel-Azim, T., Zandinejad , A., Metz , M., & Morton , D.** (2015). Maxillary and mandibular rehabilitation in the esthetic zone using a digital impression technique and CAM / CAD-fabricated prostheses: a multidisciplinary clinical report. . *Oper Dent.*, 40(4), 350-6.
- Abduo, J., Lyon , K., Bennani , V., & diğerleri.** (2011). Fit of screw-retained fixed implant frameworks fabricated by different methods: a systematic review. *Int J Prosthodont*, 24, 207-220.
- Abduo, J., Lyons , K., & Bennamoun , M.** (2014). Trends in computer-aided manufacturing in prosthodontics: a review of the available streams. *Int J Dent*, 783948.
- Abduo, J.** (2014). Fit of CAM / CAD implant frameworks: a comprehensive review. *J Oral Implantoloji*, 40(6), 758-66.
- Açıklanın, A., Budak , E., & Uçar , Y.** (2011). döküm ve kopya milleme yöntemleri ile hazırlanan metal alt yapılarının iç uyumlarının karşılaştırılması. *GÜ Diş Hek Fak Derg*, 28(3), 169-76.
- Affairs, A. C.** (2003). Titanium applications in dentistry. *J Am Dent Assoc* ., 134:, 347-9.
- Akova, T., Uçar, Y., & Alper , T.** (2008). Comparison of the bond strength of laser-sintered and cast metal dental alloys to porcelain. *Dental Materials*, 24(10), 1400-4.
- Aktepe, E.** (2005). *CAD-CAM Cerec 3 Sistemiyle Hazırlanan İnleylerin Marjinal Adaptasyonlarının İn Vitro Olarak. İstanbul.* (Doktora Tezi) Marmara Üniversitesi Sağlık Protetik Diş Tedavisi Anabilimdalı.
- Al Jabbari, Y., Koutsoukis , T., & Barmpagadaki, X.** (2014). Metallurgical and interfacial characterization of PFM CoCr dental alloys fabricated via casting, milling or selective laser melting. *Dent Mater*, 30, e79-e88.
- Albakry, M., Guazzato , M., & Swain , M.** (2003). Biaxial flexural strength, elastic moduli, and x-ray diffraction characterization of three pressable all-ceramic materials. *The Journal of Prosthetic Dentistry*, 89(4), 374-380.
- Albakry, M., Guazzato , M., & Swain , M.** (2014). Biaxial flexural strength and microstructure changes of two recycled pressable glass ceramics. *J Prosthodont*, 13(3), 141-9.
- Albert, F., & El-Mowafy, O.** (2004). Marginal adaptation and microleakage of Procera AllCeram crowns with four cements. *Int J Prosthodont*., 17(5), 529-535.
- Alghazzawi, T., Alsamadani , K., Lemons , J., Liu PR., Essig, M., Bartolucci, A., & ve diğerleri.** (2015). Effect of imaging powder and CAM / CAD stone types on the marginal gap of zirconia crowns.

- J Am Dent Assoc 2015;146(2):111–20. J Am Dent Assoc., 146(2), 111-20.
- Alkumru, H., Hullah, W., Marquis , P., & Wilson, H.** (1988). Factors affecting the fit of porcelain jacket crowns. Br Dent J., 64(2), 39-43.
- Alkumru, H., Wilson , H., & Bor, S.** (1992). The fit of all-ceramic crowns cemented with different luting agents. J Marmara Univ Dent Fac, 1(3), 198-202.
- Almeida e Silva, J., Erdelt , K., Edelhoff , D., & diğerleri.** (2014). Marginal and internal fit of four-unit zirconia fixed dental prostheses based on digital and conventional impression techniques. Clin Oral Investig, 18, 515-523.
- Anadioti, E., Aquilino , S., Gratton , D., Holloway JA., Denry, I., Thomas, G., & ve diğerleri.** (2015). Internal fit of pressed and computer-aided design/computer-aided manufacturing ceramic crowns made from digital and conventional impressions. J Prosthet Dent 2015;113(4):30
- Andersson, M., Carlsson, L., Persson, M., & Bergman , B.** (1996). Accuracy of machine milling and spark erosion with a CAM / CAD system. J Prosthet Dent 1996;76(2):187–93, 76(2), 187-93.
- Andersson, M., Bergman , B., Bessing , C., & Ericson, G.** (1989). Clinical results with titanium crowns fabricated with machine duplication and spark erosion. Acta Odontol Scand, 47, 279-86.
- Anunmana, C., Charoenchitt , & Asvanund, C.** (2014). Gap comparison between single crown and three-unit bridge zirconia substructures. J Adv Prosthodont, 6(4), 253-258.
- Anusavice, K.** (1996). Phillip's Science of Dental Materials. Philadelphia: Saunders.
- Anusavice, K.** (1989). Quality Evaluation of Dental Restorations. Criteria of Placement and Replacement. . Chicago: Quintessence Publishing Co.Inc.
- Anusavice, K.** (2003). Phillips' Science of Dental Materials. San Antonio: WB Saunders.
- Arias, D., Trushowsky , R., Brea , L., & David , S.** (2013). Clinical performance of a new biomimetic double network material. open dent J., 118(22), 7.
- Att, W., Komine, F., Gerds , T., & Strub, J.** (2009). Marginal adaptation of three different zirconium dioxide three-unit fixed dental prostheses. J Prosthet Dent, 101(4): 239-247, 101(4), 239-247.
- Attar, E.** (2011). Simulation of selective electron beam melting processes. . Technical Faculty of University of Erlangen-Nuremberg, Germany.
- Ayad, M. F.** (2009). Effects of tooth preparation burs and luting cement types on the marginal fit of extracoronal restorations. J Prosthodont, , 18(2), 145-151.
- Bae, E., Kim , J., Kim , W., & diğerleri.** (2014). Bond and fracture strength of metal-ceramic restorations formed by selective laser sintering. J Adv Prosthodont, 6, 266-271.
- Barazanchi, A., Li, K., Al-Amleh , B., Lyons , K., & Waddel, J.** (2017). Additive Technology: Update on Current Materials and Applications in Dentistry. J of Prosthodont., 26, 156-163.
- Barnat, C.** (2001). The second digital revolution. J Gen Manage, 27, 1-16.

- Batson, E., Cooper , L., Duqum , I., & Mendonça , G.** (2014). Batson ER, CooClinical outcomes of three different crown systems with CAM / CAD technology. *J Prosthet Dent*, 770(7), 112.
- Beaman, J., Barlow , D., Bourell , R., Crawford , H., Marcus, K., & McAlea, K.** (1997). Solid Freeform Fabrication: A New Direction in Manufacturing. Dordrecht: Kluwer Academic Publishers.
- Berman, B.** (2012). 3-D printing: the new industrial revolution. *Business Horizons*, 55, 55-162.
- Beschnidt, S., & Strub, J.** (1999). Evaluation of the marginal accuracy of different all-ceramic crown systems after simulation in the artificial mouth. *J Oral Rehabil.*, 26(7), 582-593.
- Beuer, F., Schweiger , J., & Edelhoff, D.** (2008). *Br Dent J*, 204(9), 505-11.
- Beuer, F., Schweiger , J., Eichberger , M., Kappert , H., Gernet, W., & Edelhoff, D.** (2009). High-strength CAM / CAD-fabricated veneering material sintered to zirconia copings – a new fabrication mode for all-ceramic restorations. *Dent Mater*, 25(1), 121-8.
- Beuer, F., Aggstaller, H., Edelhoff , D., Gernet , W., & Sorensen, J.** (2009). Marginal and internal fits of fixed dental prostheses zirconia retainers. *Dent Mater*, 25, 94-102.
- Bibb, R., & Eggbeer , D.** (2006). Rapid manufacture of removable partial denture frameworks. *Rapid Proto J*, 12, 95-99.
- Bibb, R., Eggbeer , D., Evans , P., Bocca , A., & Sugar , A.** (2009). Rapid manufacture of custom-fitting surgical guides. *Rapid Prototyping J*, 15(5), 346-54.
- Bidra, A., Taylor , T., & Agar , J.** (2013). Computer-aided technology for fabricating complete dentures: systematic review of historical background, current status, and future perspectives. *J Prosthet Dent*, 109(6), 361-6.
- Bidra, A.** (2014). The 2-visit CAD-CAM implant-retained overdenture: a clinical report. *J Oral Implantology*, 40(6), 722-8.
- Bilgin, M., Erdem , A., Aglarcı , O., & Dilber E.** (2015). Fabricating complete dentures with CAM / CAD and RP technologies. *J Prosthodont*.
- Bindl, A., & Mörmann , W.** (2005). Marginal and internal fit of all-ceramic CAM / CAD crown-copings on chamfer preparations. *J Oral Rehabil*, 32, 441-7.
- Blackman, R., Baez , R., & Barghi , N.** (1992). Marginal accuracy and geometry of cast titanium copings. *J Prosthet Dent*, 67, 435-40.
- Blatz, M., Sadan , A., & Kern, M.** (2003). Resin-ceramic bonding: a review of the literature. *J Prosthet Dent.*, 89(3), 268-274.
- Boening, K. W.** (1992). Non-cast titanium restorations in fixed prosthodontics. *J Oral Rehabil.* *J Oral Rehabil*, 19(3), 281-287.
- Bosch, G., Ender , A., & Mehl , A.** (2014). A 3-dimensional accuracy analysis of chairside CAM / CAD milling processes. *J Prosthet Dent*, 112(6), 1425-31.
- Bowley, J. F.** (2004). Effect of margin location on crown preparation resistance form. *: J Prosthet Dent*, 92(6), 546-550.
- Brawek, P., Wolfart , S., Endres , L., & diğerleri.** (2013). The clinical accuracy of single crowns exclusively fabricated by digital workflow—the comparison of two systems. *Clin Oral Investigig*, 17, 2119-21.

- Castillo-Oyagüe, R., Lynch , C., Turrión , A., López-Lozano, J., Torres-Lagares , D., & Suárez-García , M.** (2013). Misfit and microleakage of implant-supported crown copings obtained by laser sintering and casting techniques, luted with glass-ionomer, resin cements and acrylic/urethane-based agents. *J Dent* 2013;41(1):90-. *J Dent*, 41(1), 90-6.
- Charoenchitt, M., & Asvanund, C.** (2014). Gap comparison between single crown and three-unit bridge zirconia substructures. *J Adv Prosthodont*, 6(4), 253-258.
- Chen, H., Y. X.** (2016). Application of FDM threedimensional three dimensional printing technology in the digital manufacture of customedentulous mandible trays. *Sci Rep*, 6, 1-6.
- Cho, J., Park, W., Park , K., Kim , S., & Kim , K.** (2017). Creating protective appliances for preventing dental injury during endotracheal intubation using intraoral scanning and 3D printing: a technical note. *J Dent Anesth Pain Med.*, 17(1), 55-59.
- Cho, S., Schaefer, O., Thompson , G., & Guentsch , A.** (2015). Comparison of accuracy and reproducibility of casts made by digital and conventional methods. *J Prosthet Dent*, 113(4), 310-5.
- Cho, L., Choi, J., Yi , Y., & Park, C.** (2004). Effect of finish line variants on marginal accuracy and fracture strength of ceramic optimized polymer/fiber-reinforced composite crowns. *J Prosthet Dent.*, 91(6), 554-560.
- Choi, Y., Koak , J., Heo, S., & diğerleri.** (2014). Comparison of the mechanical properties and microstructures of fractured surface for CoCr alloy fabricated by conventional cast, 3-D printing laser-sintered and CAM / CAD milled techniques. *J Kor Acad Pros*(52), 67.
- Christensen, G. J.** (1966). Marginal fit of gold inlay castings. . *J.Prosthet Dent.*, 16(2), 297-305.
- Chua, C., & Leong , K.** (1997). Rapid Prototyping: Principles and Applications in Manufacturing. New York: Wiley.
- Chuembou Pekam, F., Marotti , J., Wolfart , S., Tinschert, J., Radermacher, K., & Heger, S.** (2015). High-frequency ultrasound as an option for scanning of prepared teeth: an in vitro study. *Ultrasound Med Biol* , 41(1), 309-16.
- Ciraud, P.** (1971). Verfahren und vorrichtung zur herstellung beliebiger gegenstände aus beliebigem schmelzbarem material. DE: 1973-7.
- Coli, P., & Karlsson, S.** (2004). Fit of a new pressure-sintered zirconium dioxide coping. *Int J Prosthodont*, 17, 59-64.
- Conrad, H., Seong , W., & Pesun , I.** (2007). Current ceramic materials and systems with clinical recommendations: a systematic review. *J prosthodont Dent*, 98(5), 389-404.
- Cunha, L., Mukai , E., Hamerschmitt , R., & Correr , G.** (2015). Fabrication of lithium silicate ceramic veneers with a CAM / CAD approach: a clinical report of cleidocranial dysplasia9. *J Prosthet Dent.*, 113(5), 355-9.
- Çelik, İ., Karakoç , F., Çakır, M., & Duyساk , A.** (2003). Hızlı prototipleme teknolojileri ve uygulama alanları. *Dumlupınar Üniversitesi Fen Bilimleri Enstitüsü Dergisi*, 31, 53-70.

- Çınar, A.** (2001). *Değişik Kron Sistemlerinde Kenar Uyumu*. (Doktora Tezi) İstanbul: İstanbul Üniversitesi Sağlık Bilimleri Enstitüsü, Protetik Diş Tedavisi Programı.
- Dawood, A., Marti , B., Sauret-Jackson , V., & Darwood, A.** (2015). 3D printing in dentistry. *Br Dent J.*, 219(11), 521-529.
- de Hazan, Y., Thanert , M., Trunec , M., & diğerleri.** (2012). Robotic deposition of 3D nanocomposite and ceramic fiber architectures via UV curable colloidal inks. *J Euro Cera Soc*, 32, 1187-1198.
- de Oliveira Correa, G. G.** (2006). Over-refractory casting technique as an alternative to one-piece multi-unit fixed partial denture frameworks. *J Prosthet Dent*, 95(3): 243-248., 95(3), 243-248.
- Deckard, C.** (1989.). Methods and apparatus for producing parts by selective laser sintering. US Patent:;
- Denry, I., & Kelly , J.** (2008). State of the art of zirconia for dental applications. *Dent Mater*, 3(299-307), 24.
- Denry, L., & Kelly , J.** (2014). Emerging ceramic-based materials for dentistry. *J Dent Res* 2014;93:1235-42
- Deville, S., Chevalier , J., Fantozzi , G., & Bartolome , J.** (2003). Low-temperature ageing of zirconia toughened alumina ceramics and its implication in biomedical implants. *J Eur Ceram Soc*, 23, 2975-82.
- Dirxen, C., Blunck , U., & Preissner , S.** (2013). Clinical performance of a new biomimetic double network material. *Open Dent J*, 7, 118-22.
- Donovan, T., & Prince, J.** (1985). An analysis of margin configurations for metal- ceramic crowns. *J Prosthet. Dent.*, 53, 53-157.
- Duret, F., P. J.** (1991). CAM / CAD imaging in dentistry. . *Curr Opin Dent* 1991;1(2):, 2, 1.
- e Silva, J. S.** (2014). Marginal and internal fit of four-unit zirconia fixed dental prostheses based on digital and conventional impression techniques. *Clin Oral Investig*, 18(2), 515-523.
- Ebert, J., Ozkol , E., Zeichner , A., Uibel , K., Weiss , O., Koops, U., & ve diğerleri.** (2009). Direct inkjet printing of dental prostheses made of zirconia. *J Dent Res*, 88(7), 673–6.
- Elomaa, L., Kokkari, A., N"arhi , T., & diğerleri.** (2013). Porous 3D modeled scaffolds of bioactive glass and photocrosslinkable poly(ϵ -caprolactone) by stereolithography. *Comp Sci Tech* 2013;74:99-106. *Comp Sci Tech*, 74, 99-106.
- Ender, A., & Mehl, A.** (2015). In vitro evaluation of the accuracy of conventional and digital methods of obtaining full-arch dental impressions. *Quintessence Int*, 46(1), 9-17.
- Ender, A., & Mehl, A.** (2013). Accuracy of complete-arch dental impressions: a new method of measuring trueness and precision. *J Prosthet Dent*, 109(2), 121-8.
- Fasbinder, D.** (2013). Computerized technology for restorative dentistry. *Am J Dent*, 115(20), 26.
- Fasbinder, D.** (2002). Restorative material options for CAM / CAD restorations. *Compend Contin Educ Dent*, 23(10 passim quiz 924), 911-6, 918, 920.
- Fasbinder, D.** (2010). Materials for chairside CAM / CAD restorations. *Contin Educ Dent*, 31(9), 702-4, 706, 708-9.

- Fasbinder, D.** (2012). Chairside CAM / CAD: an overview of restorative material options. *Contin Educ Dent*, 33(1), 50, 52-8.
- Figliuzzi, M., Mangano , F., & Mangano, C.** (2012). A novel root analogue dental implant using CT scan and CAM / CAD: selective laser melting technology. *Int J Oral Maxillofac Surg*, 41, 858-862.
- Flugge, T., Schlager , S., Nelson , K., Nahles , S., & Metzger, M.** (2013). Precision of intraoral digital dental impressions with iTero and extraoral digitization with the iTero and a model scanner. *Am J Orthod Dentofacial Orthop*, 144(3), 471-8.
- Foster, L. V.** (1990). Failed conventional bridge work from general dental practice: clinical aspects and treatment needs of 142 cases. *Br Dent J*, 168(5): 199-201, 168(5), 199-201.
- Fradeani, M., & Redemagni , M.** (2002). An 11-year clinical evaluation of leucite- reinforced glass-ceramic crowns: a retrospective study. *Quintessence Int*, 33(7), 503-10.
- Fransson, B., Oilo, G., & Gjeitanger, R.** (1985). The fit of metalceramic crowns, a clinical study. *Dent Mater.*, 1(5), 197-199.
- Frazier, W.** (2014). Metal additive manufacturing: a review. *J Mat Eng Perfo*, 23, 1917-1928.
- Galantucci, L.** (2010). New challenges for reverse engineering in facial treatments: how can the new 3D non-invasive surface measures support diagnoses and cures? *Virt Phys Proto*, 5, 3-12.
- Gardner, F.** (1982). Margins of complete crowns-Literature review. *J Prosthet Dent*, 48, 396-400.
- Ge Z Jin, Z., & Cao , T.** (2008). Manufacture ofdegradable polymeric scaffolds for bone regeneration. *Biomed Mater*, 3, 1-11.
- Giordano, R., Pelletier , L., Campbell , S., & Pober , R.** (1995). Flexural strength of an infused ceramic, glass ceramic, and feldspathic porcelain. *J Prosthet Dent*, 73(5), 411-8.
- Giordano, R.** (1996). Dental ceramic restorative systems. *Compend Contin Educ Dent*, 17(8), 779-82, 784-6.
- Giordano, R.** (2006). Materials for chairside CAM / CAD-produced restorations. *J Am Dent Assoc* 2006;137 Suppl:14S-21S, 137, 14-21.
- Good, M. L.** (2009). Quantification of all-ceramic crown margin surface profile from try-in to 1-week post-cementation. *J Dent* , 37(1), 65-75.
- Goodacre, C., Campagni, W., & Aquilino, S.** (2001). Tooth preparations for complete crowns: an art form based on scientific principles. *J Prosthet Dent*, 85(4), 363-376.
- Goodacre, C., Garbacea , A., Naylor , W., Daher , T., Marchack, C., & Lowry, J.** (2012). CAM / CAD fabricated complete denturesconcepts and clinical methods of obtaining required morphological data. *J Prosthet Dent*, 107(1), 34-46.
- Grant, G., T.** (2015). Direct Digital Manufacturing. In Masri R. & Driscoll C. F.(Eds.), *Clinical Applications of Digital Dental Technology* (1st ed., p. 53). Massachusetts, USA: Blackwell Publishing.
- Groten, M., Axmann, D., Probster, L., & Weber, H.** (2000). Determination of the minimum number of marginal gap measurements required for practical in vitro testing. *J Prosthet Dent*, 83(1), 40-49.
- Guazzato, M., Albakry , M., Ringer , S., & Swain , M.** (2004). Strength, fracture toughness and microstructure of a selection of all-ceramic

- materials. Part II. Zirconia based dental ceramics. *Dent Mater*, 20(5), 449-56.
- Guess, P., Zavanelli , R., Silva, N., Bonfante , E., Coelho, P., & Thompson, V.** (2010). Monolithic CAM / CAD lithium disilicate versus veneered Y-TZP crowns: comparison of failure modes and reliability after fatigue. *Int J Prosthodont*, 23(5), 434-42.
- Guess, P., Schultheis, S., Bonfante, E., & diğerleri.** (2011). All-ceramicsystems: laboratory and clinical performance. *Dent Clin North Am*, 55, 333-3.
- Güth, J., Zuch , T., Zwinge , S., Engels , J., & Stimmelmayr , M.** (2013). Optical properties of manually and CAM / CAD-fabricated polymers. *Dent Mater J*, 32(6), 865-71.
- Habibovic, P., Gbureck , U., Doillon , C., & diğerleri.** (2008). Osteoconduction and osteoinduction of low-temperature 3D printed bioceramic implants. *Biomaterials*, 29, 944-953.
- Hamza, T., E. H.-H.** (2013). Accuracy of ceramic restorations made with two CAM / CAD systems. *J Prosthet Dent* , 109, 83-7.
- Harde, S., Wolfart , S., Eschbach , S., & Kern, M.** (2010). Eight-year outcome of posterior inlay-retained all-ceramic fixed dental prostheses. *Journal of Dentistry*, 38(11), 875-881.
- Harish, V., Mohamed Ali , S., Jagadesan , N., & Mohamed , I.** (2014). Evaluation of Internal and Marginal Fit of Two Metal Ceramic System – In Vitro Study. *J Clin Diagn Res*, 8, 53-6.
- Harrer, W.** (2012). Influence of surface defects on the biaxial strength of a silicon nitride ceramic-Increase of strength by crack healing. *Journal of The European Ceramic Society*, 31(1), 27-35.
- Hatamleh, M., & Watson , J.** (2013). Construction of an implant-retained auricular prosthesis with the aid of contemporary digital technologies: a clinical report. *J Prosthodont*, 22, 132-136.
- Holmes, J. R., Holmes, J., Bayne,, S., & Holland, , G.** (1989). Considerations in measurement of marginal fit. *J Prosthet Dent*, 62(4), 405-408.
- Höland, W., Schweiger , M., Frank , M., & Rheinberger , V.** (2000). A comparison of the microstructure and properties of the IPS Empress 2 and the IPS Empress glass ceramics. *J Biomed Mater Res*, 53(4), 297-303.
- Huang, H., Hsu , J., Fuh , L., & diğerleri.** (2010). Biomechanical simulation of various surface roughnesses and geometric designs on an immediately loaded dental implant. *Comp Bio Med*, 40, 525-532.
- Huang, Z., Zhang, L., Zhu, J., & Zhang, X.** (2015). Clinical marginal and internal fit of metal ceramic crowns fabricated with a selective laser melting technology. *J ProsthetDent*, 113, 623-7.
- Hung, S., Hung , K., Eick , J., & Chappell , R.** (1990). Marginal fit of porcelain-fused-to-metal and two types of ceramic crown. *J Prosthet Dent*, 63, 26-31.
- Hunter, A., & Hunter, A.** (1990). Gingival crown margin configurations: a review and discussion. Part I: Terminology and widths. *J Prosthet Dent.*, 64(5), 548-552.
- Infante, L., Yilmaz, B., McGlumphy, E., & Finger , I.** (2014). Fabricating complete dentures with CAM / CAD technology. *J Prosthet Dent*, 111(5), 351-5.

- Iseri, U., Ozkurt, Z., & Kazazoglu.** (2011). Shear bond strengths of veneering porcelain to cast, machined and laser-sintered titanium. *Dent Mater*, 30(3), 274-280.
- ITI,** (2014). Knowledge is key. In Belser U (ed): ITI World Symposium. Quintessence. Geneva.
- Jang, S., Lee , D., Ha , J., Hanawa , T., Kim , K., & Kwon , T.** (2015). Preliminary evaluation of mechanical properties of CoCr alloys fabricated by three new manufacturing processes. *Int J Prosthodont*, 396-8, 28.
- Jardini, A., Larosa, M., de Carvalho Zavaglia , C., & diğerleri.** (2014). : Customised titanium implant fabricated in additiv manufacturing for craniomaxillofacial surgery. *Virt Physi Protot*, 9, 115-125.
- Jardini, AL., L. M., Jardini , A., Larosa , M., Maciel Filho , R., & diğerleri.** (2014). Cranial reconstruction: 3D biomodel and custom-built implant created using additive manufacturing. *J Cranio Maxillofac Sur*, 42, 1877-1884.
- Kahramanoglu, E., & Kulak-Özkan, Y.** (2013). The effect of different restorative and abutment materials on marginal and internal adaptation of three-unit cantilever implant-supported fixed partial dentures: an in vitro study. *J Prosthodont*, 22(8), 608-617.
- Kaleli, N., & Saraç, D.** (2014). Protetik Diş Tedavisinde Lazer Sinterleme Sistemleri. Ondokuz Mayıs Üniversitesi Diş Hekimliği Fakültesi Dergisi, 15(3), 27-33.
- Kamada, K., Yoshida , K., & Atsuta , M.** (1998). Effect of ceramic surface treatments on the bond of four resin luting agents to a ceramic material. *J Prosthet Dent*, 79, 508-513.
- Kane, L., Chronaios , D., Sierraalta , M., & George , F.** (2015). Marginal and internal adaptation of milled cobalt-chromium copings. . *J Prosthet Dent*, 114, 680-5.
- Kappert, H., & Altvater.** (1991). Field study on the accuracy of fit and the marginal seal of In-Ceram crowns and bridges. *Dtsch Zahnrarzt Z*, 46(2), 151-153.
- Karageorgiou, V., & Kaplan, D.** (2005). Porosity of 3D biomaterial scaffolds and osteogenesis. *Biomater*, 26, 5474-5491.
- Karatas, M., Cifter , E., Ozenen, D., & Tuncer, E.** (2011). Manufacturing Implant Supported Auricular Prostheses by Rapid Prototyping Techniques. *Eur J Dent.*, 5(4), 472–477.
- Karipidis, A. P.** (1988). The effect of seating pressure and powder/liquid ratio of zinc phosphate cement on the retention of the crowns. *J Oral Rehabil.*, 15, 333-337.
- Kashani, H. G., Khera, S. C., & Gulker, I. A.** (1981). The effects of bevel angulation on marginal integrity. *Journal of the American Dental Association* (1939), 103(6), 882–885.
- Kathuria, Y.** (1999). Microstructuring by selective laser sintering of metallic powder. *Surf Coat Tech*, 116(119), 643-647.
- Kattadiyil, M., Goodacre, C., & Baba , N.** (2013). CAM / CAD complete dentures: a review of two commercial fabrication systems. *J Calif Dent Assoc* , 41(6), 407-16.

- Kaus, T., Kaus , T., Probster , L., & Weber, H.** (1996). Clinical follow-up study of ceramic veneered titanium restoration – three year results. *Int J Prosthodont*, 9, 9-15.
- Kazama-Koide, M., Ohkuma , K., Ogura , H., & Miyagawa , Y.** (2014). A new method for fabricating zirconia copings using a Nd:YVO4 nanosecond laser. *Dent Mater J*, 33(3), 422-9.
- Keating, A., Knox , J., Bibb , R., & Zhurov, A.** (2008). A comparison of plaster, digital and reconstructed study model accuracy. *J Orthod*, 35(3), 191-20.
- Kelly, J., Nishimura , I., & Campbell, S.** (1996). in dentistry: historical roots and current perspectives. *J Prosthet Dent*, 75(1), 18-32.
- Kelly, O.** (2006.). Machinable Ceramics.20 years of CEREC. In: Mörman WH, ed. State of the art of CAM / CAD restorations. 20 years of CEREC. Germany. 29: Quintessence Publishing Co. Ltd.
- Kern, M., Sasse, M., & Wolfart , S.** (2012). Ten-year outcome of three-unit fixed dental prostheses made from monolithic lithium disilicate ceramic. *Journal of American Dental Association*,, 143(3), 234-240.
- Khain, M., Fuh , J., & Lu , L.** (2001). Direct metal laser sintering for rapid tooling: processing and characterisation of EOS parts. *J Mater Proce Tech*, 113, 269-272.
- Kim, J., Kim , K., Kim , W., Kim , J., & Kim , H.** (2014). Accuracy and precision of polyurethane dental arch models fabricated using a three-dimensional subtractive rapid prototyping method with an intraoral scanning techniq. *Korean J Orthod*, 44(2), 69.
- Kim, K., Kim , J., & Kim , W.** (2014). Three-dimensional evaluation of gaps associated with fixed dental prostheses fabricated with new technologies. *J Prosthet Dent*, 112:, 1432-1436.
- Kim, K., Kim, W., Kim, H., & Kim, J.** (2013). An evaluation of marginal fit of three-unit fixed dental prostheses fabricated by direct metal laser sintering system.. *Dent Mater*, 29, 91–6.
- Kim, K., Kwon , T., Kang , T., Yang, J., Lee , S., & Yeo , I.** (2014). Digital veneering system enhances microtensile bond strength at zirconia core-veneer interface. *Dent Mater J*, 33(6), 792-8.
- Kim, K., K. J.-c.-a.-d.** (2013). Evaluation of the marginal and internal gap of metal-ceramic crown fabricated with a selective laser sintering technology: two- and three-dimensional replica techniques. *J Adv Prosthodont* , 5, 79-86.
- Knoernschild, K. C.** (2000). Periodontal tissue responses after insertion of artificial crowns and fixed partial dentures. *J Prosthet Dent*, 84, 492-8.
- Kohorst, P., Brinkmann , H., Li , J., Borchers , L., & Stiesch , M.** (2009). Marginal accuracy of four-unit zirconia fixed dental prostheses fabricated using different computer-aided design/computer-aided manufacturing systems. *Eur J Oral Sci*, 117, 319-25.
- Kokubo, Y., Nagayama, Y., Tsumita, M., & Ohkubo, C.** (2005). Clinical marginal and internal gaps of In-Ceram crowns fabricated using the GN-I system. *J Oral Rehabil*. *J Oral Rehabil*, 32(10), 753-758.
- Kolodne , H., Swedenburg , G., Taylor , S., & diğerleri.** (2011). The use of cephalometric landmarks with 3-dimensional volumetric computer

- modeling to position an auricular implant surgical template: a clinical report. *J Prosthet Dent*, 106, 284-289.
- Kononen, M., & Kivilahti , J.** (2001). Fusing of dental ceramics to titanium. *J Dent Res*, 80, 848-54.
- Koutsoukis, T., Zinelis, S., Eliades, G., Al-Wazzan , K., Al Rifaiy, M., & Al Jabbari, Y.** (2015). Selective Laser Melting Technique of CoCr Dental Alloys: A Review of Structure and Properties and Comparative Analysis with Other Available Techniques. *J Prosthodont*, 24(4), 303-312.
- Kovalev, A., Vainshtein , D., Mishina , V., Titov , V., Moiseev, V., & Tolochko, N.** (2000). Selective laser sintering of steel powders to obtain products based on SAPR-Models. *Metallurgist*, 44(4), 206-9.
- Krug, K., Knauber, A., & Nothdurft , F.** (2015). Fracture behavior of metal-ceramic fixed dental prostheses with frameworks from cast or a newly developed sintered cobalt-chromium alloy. *Clin Oral Investig*, 19, 401-11.
- Kruger, S., Deubener , J., Ritzberger , C., & Holand , W.** (2013). Nucleation kinetics of lithium metasilicate in ZrO₂-bearing lithium disilicate glasses for dental application. *International Journal of Applied Glass Science*, , 4(1), 9-19.
- Kruth, J., P., M. P.** (2005). Binding mechanisms in selective laser sintering and selective laser melting. *Rapid Prototyping J.*, 11(1), 26-36.
- Kumar, A., & Ghafoor, H.** (2017). Rapid prototyping: A future in orthodontics. *J Orthod Res*, 4, 1-7.
- Kunii, j., Hotta , Y., Tamaki, Y., Ozawa, A., Kobayashi, Y., & Fujishima.** (2007). Effect of sintering on the marginal and internal fit of CAM / CAD-fabricated zirconia frameworks. *Dent Mater J*, 26(6), 820-826.
- Kurbad, A., & Kurbad, S.** (2013). A new, hybrid material for minimally invasive restorations in clinical use. *Int J Comput Dent*, 16(1), 69-79.
- Lal , K., White , G., Morea , D., & diğerleri.** (2006). Use of stereolithographic templates for surgical and prosthodontic implant planning and placement. Part I. The concept. *J Prosthodont*, 15, 51-58.
- Lantada, A., & Morgado, P.** (2012). Rapid prototyping for biomedical engineering: current capabilities and challenges. *Annu Rev Biomed Eng*, 14, 73-96.
- Laurent , M., Scheer , P., Dejou , J., & Laborde, G.** (2008). Clinical evaluation of the marginal fit of cast crowns-validation of the silicone replica method. *J Oral Rehabil*, 35, 116-22.
- Lauvahutanon, S., Takahashi , H., Shiozawa , M., Iwasaki , N., Asakawa, Y., Oki, M., & ve diğerleri.** (2014). Mechanica properties of composite resin blocks for CAM / CAD. *Dent Mater J*, 33(5), 705-10.
- Leong, D., Chai , J., Lautenschlager , E., & Gilbert, J.** (1994). Marginal fit of machinemilled titanium and cast titanium single crowns. . *Int J Prosthodont*, 7, 440-7.
- Levine, W. A.** (1989). An evaluation of the film thickness of resin luting agents. *J Prosthet Dent*, 62(2), 175-178.
- Li, K.** (2015). Microstructure and phase stability of three dental cobalt chromium alloys used for porcelain-fused-to-metal restorations

- during thermal processing. Otago: New Zealand, University of Otago.
- Liacouras, P., Garnes , J., Roman , N., Petrich , A., & Grant, G.** (2011). Designing and manufacturing an auricular prosthesis using computed tomography dimensional photographic imaging, and additive manufacturing: a clinical report. *J Prosthet Dent.*, 105, 78-82.
- Lin, W., Harris, B., & Morton , D.** (2013). The use of a scannable impression coping and digital impression technique to fabricate a customized anatomic abutment and zirconia restoration in the esthetic zone. *J Prosthet Dent*, 109(3), 187-91.
- Lin, W., Zandinejad , A., Metz, M., Harris , B., & Morton , D.** (2015). Predictable restorative work flow for computer-aided desing/computer adided manufacture- fabricated ceramic veneers utilizing a virtual smile desing principle. *oper dent*, 357(63), 40 (4).
- Lin, M., Sy-Munoz, J., Munoz, C., Goodacre, C., & Naylor, W.** (1998). The effect of tooth preparation form on the fit of Procera copings. *Int J Prosthodont*, 11(6), 580-590.
- Liu, Q., Leu, M., & Schmitt , S.** (2005). Rapid prototyping in dentistry: technology and application. *Int J Advan Manu Tech.*, 29, 317-335.
- Logozzo, S., Kilpela", A., Ma" kynen , A., Zanetti, E., & Franceschini, G.** (2014). Recent advances in dental optics–Part II: Experimental ests for a new intraoral scanner. *Opt Laser Eng*, 54, 187-96.
- Logozzo, S., Zanetti , E., Franceschini , G., & Kilpela", A.** (2014). Recent advances in dental optics – Part I: 3D intraoral scanners for restorative dentistry. *Opt Laser Eng*, 54, 203-21.
- Loney, R., & Jarotskic,, T.** (1996). Marginal discrepancy of ceramic crowns with redesigned implant components. *J Prosthet Dent.*, 75(5), 540-544.
- Lui, J.** (1980). The effect of firing shrinkage on the marginal fit of porcelain jacket crowns. *Br Dent J*, , 149:, 43-45.
- Luthard, R., Bornemann, G., Lemelson, S., Walter, M., & Huls, A.** (2004). An innovative method for evaluation of the 3-D internal fit of CAM / CAD crowns fabricated after direct optical versus indirect laser scan digitizing. *International Journal of Prosthodontics.*, 17, 680-685.
- Maestre-Ferrin , L., Romero-Millan , J., Penarrocha-Oltra, D., & Penarrocha-Diago, M.** (2012). Virtual articulator for the analysis of dental occlusion: an update. *Med Oral Patol Oral Cir Bucal* 2012;17(1):e160–3., 17(1), 160-3.
- Magne, P., & Belser, U.** (1997). Esthetic improvements and in vitro testing of In-Ceram Alumina and Spinell ceramic.. *Int J Prosthodont*, 10(5), 459-66.
- Mai, H., Lee , K., & Lee , D.** (2006). Fit of interim crowns fabricated using photopolymer-jetting 3D printing. *J Prosthet Dent.*, 118(2), 208-15.
- Maleksaeedi, S., Eng , H., Wiria , F., & diğerleri.** (2014). Property enhancement of 3D-printed alumina ceramics using vacuum infiltration. *J Mater Proc Tech*, 214, 1301-1306.
- Mangano, C., De Rosa , A., Desiderio , V., & diğerleri.** (2010). The osteoblastic differentiation of dental pulp stem cells and bone formation on different titanium surface textures. *Biomater*, 31, 3543-3551.

- Mangano, C., Piattelli , A., Raspanti , M., Mangano , F., Cassoni, A., Lezzi, G., & diğerleri.** (2011). Scanning electron microscopy (SEM) and X-ray dispersive spectrometry evaluation of direct laser metal sintering surface and human bone interface: a case series. *Lasers Med Sci*, 26(1), 133-8.
- Mangano, F., Bazzoli , M., Tettamanti , L., Farronato , D., Mainieri, M., Macchi, A., & diğerleri.** (2013.). Custom-made, selective laser sintering (SLS) blade implants as a non-conventional solution for the prosthetic rehabilitation of extremely atrophied posterior mandible. *Lasers Med Sci*, 28(5), 1241-7.
- Mangano, F., Chambrone , L., van Noort , R., Miller , C., Hatton, P., & Mangano, C.** (2014). Direct metal laser sintering titanium dental implants: a review of the current literature.. *Int J Biomater*, 2014(461534).
- Mangano, F., De Franco , M., Caprioglio , A., & diğerleri.** (2014). : Immediate, non-submerged, root-analogue direct laser metal sintering (DLMS) implants: a 1-year prospective study on 15 patients. *Laser Med Sci*, 29, 1321-1328.
- Mangano, F., Luongo , F., Shibli , J., Anil , S., & Mangano , C. (2014).** Maxillary overdentures supported by four splinted direct metal laser sintering im-plants: a 3-year prospective clinical study. *Int J Dent*, 2014(252343).
- Mangano, F., Caprioglio, A., Levrini , L., Farronato, D., Zecca, P., & Mangano, C.** (2015). Immediate loading of mandibular overdentures supported by one-piece, direct metal laser sintering mini-implants: a short-term prospective clinical study. *J Periodontol*, 86(3), 192-200.
- Mangano, F., Pozzi-Taubert, S., Zecca , P., Lu-ongo , G., Sammnons, R., & Mangano, C.** (2013). Immediate restoration of fixed partial prostheses supported by one-piece narrow-diameter selective laser sintering implants: a 2-year prospective study in the posterior jaws of. *implant Dent*, 22(4), 388-93.
- Marker, V., Miller, A., Miller, B., & Swope, J.** (1987). Factors affecting the retention and fit of gold castings. *J Prosthet Dent*, 57(4), 425-430.
- Masood, S., Rattanawong , W., & Iovenitti , P.** (2003). A generic algorithm for a best part orientation system for complex parts in rapid prototyping. *J Mater Proce Tech*, 139, 110-116.
- May, K., Russell, M., Razzoog, M., & Lang, B.** (1998). Precision of fit: the Procera AllCeram crown. *J Prosthet Dent*, 80(4), 394-404.
- Mc Cabe, J., & Walls, A.** (1999). Applied Dental Materials. Malden, USA: Published by Blackwell Science Ltd.
- Mc Laren, E., & Terry , D.** (2002). CAM / CAD systems, materials and clinical guidelines for all-ceramic crowns and fixed partial dentures. *Compend Contin Educ Dent*, 23, 637-641.
- McLean, J.** (1979). The Science And Art Of Dental Ceramics. Vol I,. Berlin.: Quintessence Publishing Co. Inc., .
- McLea , J., & von Fraunhofer , J.** (1971). The estimation of cement film thickness by an in vivo technique. *Br Dent J*, 131, 107-11.
- Mehl, C., Harder , S., Byrne , A., & Kern , M.** (2013). Prosthodontics in digital times: a case report. *Quintessence Int*, 44(1), 29-36.

- Mehra, M., & Vahidi , F.** (2014). Complete mouth implant rehabilitation with a zirconia ceramic system: a clinical report. *J Prosthet Dent* 2014;112(1):1–4., 112(1), 1-4.
- Milan, F., Consani,, S., Correr Sobrinho, L., Sinhoretİ , M., Sousa-Neto, M., & Knowles, J.** (2004). Influence of casting methods on marginal and internal discrepancies of complete cast crowns. *Braz Dent J*, 15(2), 127-132.
- Miyazaki, T., Hotta , Y., Kunii , J., & diğerleri.** (2009). CAM / CAD: current status and future perspectives from 20 years of experience. *Dent Mater J*, 28, 44-56.
- Monaco, C., Baldissara, P., dall’Orologio, G., & Scotti, R.** (2001). Short-term clinical evaluation of inlay and onlay restorations made with a ceromer. *International Journal of Prosthodontics*, 14, 81-86.
- Mormann, W.** (2006). The evolution of the CEREC system. *J Am Dent Assoc* 2006;. *J Am Dent Assoc*, 137, 7-13.
- Mou, S. C.** (2002). Influence of different convergence angles and tooth preparation heights on the internal adaptation of Cerec crowns. *Journal of Prosthetic Dentistry*,, 87, 248-255.
- Mously, HA., F. M.** (2014). Marginal and internal adaptation of ceramic crown restorations fabricated with CAM / CAD technology and the heat-press technique. *J Prosthet Dent*, 112(2), 249-56
- Naert, I., Van der Donck, A., & Beckers, L.** (2005). Precision of fit and clinical evaluation of all-ceramic full restorations followed between 0.5 and 5 years. *J Oral Rehabil*, 32(1), 51-57.
- Naghieh, S., R. A.** (2016). Fused deposition modeling and fabrication of a three-dimensional model in maxillofacial reconstruction. *Regeneration, Reconstruction &*, 1(3), 139-144.
- Najeeb S, Z. M.** (2016). Applications of polyetheretherketone (PEEK) in oral implantology and prosthodontics.. *J Prosthodont Res* , 60, 12-9.
- Nakamura, T., Dei, N., Kojima, T., & Wakabayashi, K.** (2003). Marginal and internal fit of Cerec 3 CAM / CAD all-ceramic crowns. *Int J Prosthodont*, 16(3), 244-248.
- Nam, j., & Tokutomi , H.** (2015). Using zirconia-based prosthesis in a complete-mouth reconstruction treatment for worn dentition with the altered vertical dimension of occlusion. *J Prosthet Dent*, 113(2), 81-5.
- Nawafleh, N., Mack, F., Evans, J., Mackay, J., & Hatamleh, M.** (2003). Accuracy and reliability of methods to measure marginal adaptation of crowns and FDPs: a literature review. *J Prosthodont*, 22(5), 419-428.
- Nayyar, N., Yilmaz , B., & Mc Glumphy , E.** (2013). Using digitally coded healing abutments and an intraoral scanner to fabricate implant-supported, cement-retained restorations. *J Prosthet Dent.*, 109(4), 210-5.
- Nedelcu, R., & Persson , A.** (2014). Scanning accuracy and precision in 4 intraoral scanners: an in vitro comparison based on 3-dimensional analysis. *J Prosthet Dent* , 112(6), 1461-71.
- Nesse, H., Ulstein , D., & Vaage.** (2015). Internal and marginal fit of cobalt-chromium fixed dental prostheses fabricated with 3 different techniques. *J Prosthet Dent*, 114, 686-92.

- Ortorp, A., Jemt , T., Back , T., & Jalevik, T.** (2003). Comparisons of precision of fit between cast and CNC-milled titanium implant frameworks for the edentulous mandible. *Int J Prosthodont*, 16, 194-200.
- Ortorp, A., Jonsson , D., Jonsson , D., Mouhsen, A., & diğerleri.** (2011). The fit of cobalt-chromium three-unit fixed dental prostheses fabricated with four different techniques: a comparative in vitro study. *Dent Mater*, 27:, 356-363.
- Osakada, K., & Shiomi, M.** (2006;). Flexible manufacturing of metallic products by selective laser melting of powder. *Int J Mach Tools Manuf*, 46, 1188-1193.
- Ostlund, L. E.** (1985). Cavity design and mathematics: their effect on gaps at the margins of cast restorations. . *Oper Dent*, 10(4), 122-137.
- Otto, T., & de Nisco , S.** (2002). Computer-aided direct ceramic restorations: a 10-year prospective study of Cerec CAM / CAD inlays and onleys. *Int J Prosthodont* , 15(2), 122-8.
- Ozyemiçi Cebeci, N., Hancı, H.** Protetik diş tedavisinde ekleme yöntemiyle üretim, Kastamonu Sağlık Akademisi, 2018 3(1): 66-86
- Pagniano, R., Seghi , R., Rosenstiel , S., Wang , R., & Katsume, N.** (2005). The effect of a layer of resin luting agent on the biaxial flexural strength of two all-ceramic systems. *j Prosthet Dent*, 93(5), 459-66.
- Pardo, I.** (1982). A full cast restoration design offering superior marginal characteristics. *J Prosthet Dent*, 48, 539-554.
- Park, J., Kim , H., Kim , W., & Kim , J.** (2015). Accuracy evaluation of metal copings fabricated by computer-aided milling and direct metal laser sintering systems. *J Adv Prosthodont*, 7, 122-8.
- Park, J., Yi , T., Koak , J., Kim , S., Park , E., & Heo , S.** (2014). Comparison of five-axis milling and rapid prototyping for implant surgical templates. *Int J Oral Maxillofac Implants* 2014;29(2):374–83. *Int J Oral Maxillofac Implants*, 29(2), 374-83.
- Pascoe, D.** (1983). An evaluation of the marginal adaptation extracoronal restorations during cementation. *J Prosthet Dent*, 49, 657-662.
- Patzelt, S., Emmanouilidi , A., Stampf, S., Strub , J., & Att, W.** (2014). Accuracy of full-arch scans using intraoral scanners. *Clin Oral Investig*, 18(6), 1687-94.
- Patzelt, S., Bishti , S., Stampf , S., & Att , W.** (2014). Accuracy of computer-aided design/computer-aided manufacturing-generated dental casts based on intraoral scanner data. *J Am Dent Assoc* 2014;145(11):1133–40., 145(11), 1133-40.
- Pelekanos, S., Koumanou, M., Koutayas, S., Zinelis, S., & Eliades, G.** (2009). Micro-CT evaluation of the marginal fit of different In-Ceram alumina copings. *Eur J Esthet Dent*, 4, 278-92.
- Pera, P., Gilodi, S., Bassi, F., & Carossa, S.** (1994). In vitro marginal adaptation of alumina porcelain ceramic crowns. *J Prosthet Dent*., 72(6), 585-590.
- Persson, A., Andersson, M., Oden , A., & Sandborgh-Englund, G.** (2008). Computer aided analysis of digitized dental stone replicas by dental CAM / CAD technology. *Dent Mater*, 24, 1123–30.
- Pimenta, M., Frasca , L., Lopes, R., & Rivaldo, E.** (2015). Evaluation of marginal and internal fit of ceramic and metallic crown copings

- using x-ray microtomography (micro-CT) technology. *J Prosthet Dent.*, 223-8, 114.
- Podhorsky, A., Rehmann , P., & Wostmann, B.** (2015). Tooth preparation for full-coverage restorations – a literature review. *Clin Oral Investig* 2015;19(5):959–68. *Clin Oral Investig*, 19(5), 959-68.
- Powers, J. S.** (2006). Craig's Restorative dental materials. (12nd ed.). Mosby s:458.
- Preston, J., & Duret, F.** (1997). CAM / CAD in dentistry. *Oral Health*, 87(3), 17-20,23-4.
- Priest, G.** (2005). Virtual-designed and computer-milled implant abutments. *J Oral Maxillofacial surgery*, 2(22-32), 63.
- Pröbster, L., Geis-Gerstorfer, J., Kirchner , E., & Kanjantra, P.** (1997). In vitro evaluation of a glass-ceramic restorative material. *J Oral Rehabil*, 24(9), 636-45.
- Quante, K., Ludwig , K., & Kern , M.** (2008). Marginal and internal fit of metal-ceramic crowns fabricated with a new laser melting technology. *Dent Mater*, 24(10), 1311-5.
- Quintas, A., Oliveira , F., & Bottino , M.** (2004). Vertical marginal discrepancy of ceramic copings with different ceramic materials, finish lines, and luting agents :an in vitro evaluation. *J Prosthet Dent*, 92, 250-7.
- Rahme, H., Tehini , G., Adib , S., Ardo, A., & Rifai , K.** (2008). In vitro evaluation of the “replica technique” in the measurement of the fit of Procera crowns. *J Contemp Dent Pract*, 9, 25-32.
- Raigrodski, A.** (2004). Contemporary materials and technologies for all-ceramic fixed partial dentures: a review of the literature. *Journal of Prosthetic Dentistry*, 92(6), 557-562.
- Rauscher, O.** (2014). Impressionless implant-supported restorations with Cerec 4.2. *Int J Comput Dent*, 17(2), 159-68.
- Reich, S., & Hornberger, H.** (2001). The effect of multicolored machinable ceramics on the esthetics of all-ceramic crowns. *J Prosthet Dent*, 88(1), 44-9.
- Reich, S., & Schierz , O.** (2013). Chair-side generated posterior lithium disilicate crowns after 4 years. *Clinical Oral Investigations*, 17(7), 1765-1772.
- Reich, S. W.** (2005). Clinical fit of all- ceramic three unit fixed partial dentures,generated with three different CAM / CAD systems. *Europen Journal of Oral Sciences*, 113, 174-179.
- Reich, S., & Hornberger, H.** (2002). The effect of multicolored machinable ceramics on the esthetics. *Journal of Prosthetic Dentistry*, 88(1), 44-49.
- Rekow, D.** (1987). Computer-aided design and manufacturing in dentistry: a review of the state of the art. *J Prosthet Dent* 1987;58(4):512–6. *J Prosthet Dent*, 58(4), 512-6.
- Rekow, E.** (2006). Dental CAM / CAD systems. *J Am Dent Assoc*, 137((Suppl)), 5S-6S.
- Rend, J., Harding , A., Bailey , C., Guillory , V., & Vandewalla, K.** (2015). Microtensile bond strength of lithium disilicate to zirconia with the CAD-on technique. *J Prosthodont*, 24(3), 188–93.

- Rengier, F., Mehndiratta , A., von Tengg-Kobligk , H., & diğerleri.** (2010). 3D printing based on imaging data: review of medical applications. *Int J Comp Assisted Radio Surg* 2010;5:335-341, 5:, 335-341.
- Rinke, S., Huls, A., & Jahn, L.** (1995). Marginal accuracy and fracture strength of conventional and copy-milled all-ceramic crowns. *Int J Prosthodont*, 8(4), 303-310.
- Ritzberger, C., Apel, E., Höland , W., Peschke , A., & Rheinberger , V.** (2010). Properties and Clinical Application of Three Types of Dental Glass-Ceramics and Ceramics for CAD-CAM Technologies. *Materials*, 3(6), 3700-13.
- Roberts, HW., B. D.** (2009). Metal-ceramic alloys in dentistry: a review. *J Prosthodont* , 18, 188-94.
- Rosenstiel, S., Land , M., & Fujimoto, J.** (2006.). Contemporary Fixed Prosthodontics. 4th ed. St. Louis:: Mosby Elsevier;
- Rudgle , M.** (2001). Rapid manufacturing - the revolution is beginning. *Proceedings of the Rapid*, 12, 441-4.
- Rudolph, H., Luthardt , R., & Walter , M.** (2007). Computer-aided analysis of the influence of digitizing and surfacing on the accuracy in dental CAM / CAD technology. *Comput Biol Med*, 37, 5R79–87.
- Ruppin, J., Popovic , A., Strauss , M., Spüntrup , E., Steiner, A., & Stoll, C.** (2008). Evaluation of the accuracy of three different computer-aided surgery systems in dental implantology: optical tracking vs. stereolithographic splint systems. *Clin Oral Implants Res.*, 19(7), 709-16.
- Ruse, N., & Sadoun , M.** (2014). Resin-composite blocks for dental CAM / CAD appli-cations. *J Dent Res*, 93:1232-4.
- Sakaguchi, RL, P. J.** (2012.p.199-251). Craig's restorative dentalmaterials.13th ed. . Philadelphia: Elsevier.
- Salmi, M., Paloheimo, K., Tuomi , J., Ingman , T., & Mäkitie, A.** (2013). A digital process for additive manufacturing of occlusal splints: a clinical pilot study. s. 10(84):20130203.
- Sannino, G., Germano , F., Arcuri , L., Bigelli , E., Arcuri , C., & Barlattani, A.** (2014). Cerec CAM / CAD Chairside System. *Oral Implantology (Rome)*
- Santos, E., Osakada, M., & Laou , T.** (2006). Rapid manufacturing of metal components by laser forming. *Int J Machine Tools & Manufacture*, 46(12-13), 1459-68.
- Santos, EC., S. M., Santos , E., Shiomi , M., Osakada , K., & Abe , F.** (2004). Microstructure and mechanical properties of pure titanium models fabricated by selective laser melting. *J Mechanical Engineering Sci*, 218(7), 711-9.
- Santos, D., Goiato , M., Sinhoreti, M., & diğerleri.** (2012). Influence of natural weathering on colour stability of materials used for facial prosthesis. *J Med Eng Tech.*, 36, 267-270.
- Satoh, K.** (1989). Experimental study on the influence of various dental luting cements on the crown elevation during cementation. *Shikwa Gakuho* , 89(9), 1317-1337.
- Schaefer, O., Kuepper, H., Thompson , G., Cachovan , G., Hefti , A., & Guentsch , A.** (2013). Effect of CNC-milling on the marginal and internal fit of dental ceramics: a pilot study. *Dent Mater*, 29, 851–8.

- Schaefer, O., W. D.** (2012). Marginal and internal fit of pressed lithium disilicate partial crowns in vitro: a three-dimensional analysis of accuracy and reproducibility. . Dent Mater , 28, 320–6.
- Schmitter, M., & Seydler , B.** (2012). Minimally invasive lithium disilicate ceramic veneers fabricated using chairside CAM / CAD: a clinical report. J Prosthet Dent 2012;107(2):71–4.
- Seghi, R., & Sorensen , J.** (1995). Relative flexural strength of six new ceramic materials,. International Journal of Prosthodontics,, 8(3), 239-246.
- Seker, E., Ozcelik , T., Rathi , N., & Yilmaz , B.** (2016). Evaluation of marginal fit of CAD/ CAM restorations fabricated through cone beam computerized tomography and laboratory scanner data. J Prosthet Dent, 115, 47-51.
- Serra-Prat, J., Cano-Batalla , J., Cabrataosa-Termes , J., & diğerleri.** (2014). Adhesion of dental porcelain to cast, milled, and laser-sintered cobalt-chromium alloys: shear bond strength and sensitivity to thermocycling. J Prosthet Dent, 600-605, 112.
- Shahbazian, M., Wyatt , J., Willem , G., & diğerleri.** (2012). Clinical application of a stereolithographic tooth replica and surgical guide in tooth autotransplantation. Virtu Physi Proto, 7, 211-218.
- Shellabear, O.** (2004). DMLS-Development History and State of the Art. Proceedings of the Fourth Laser Assisted Net Shape Engineering. LANE; 1:393-404.
- Shillinburg, H., Hobo, S., Whitsett, L., Jacobi, R., & Brackett, S.** (1997). Fundamentals of Fixed Prosthodontics. 3.Baskı,. Chicago.: Quintessence Publishing Co Inc.
- Shokry, T., Attia, M., Mosleh , I., Elhosary , M., & Hamza , T.** (2010). Effect of metal selection and porcelain firing on the marginal accuracy of titanium-based metal ceramic restorations. J Prosthet Dent, 103, 45-52.
- Sim, C., & Ibbetson , R.** (1993). Comparison of fit of porcelain veneers fabricated using different techniques. Int J Prosthodont, 6(1), 36-42.
- Smith, D.** (1983). Dental cements. Current status and future prospects. Dent Clin North Am,, 27, 763-792.
- Solaberrieta, E., Mi'nguez , R., Barrenetxea , L., & Etxaniz, O.** (2013). Direct transfer of the position of digitized casts to a virtual articulator. J Prosthet Dent, 109(6), 411-4.
- Solaberriet, E., Mi'nguez , R., Barrenetxea , L., & Otegi , J.** (2015). Comparison of the accuracy of a 3-dimensional virtual method and the conventional method for transferring the maxillary cast to a virtual articulator. J Prosthet Dent 2015;113(3):1. J Prosthet Dent 2015;113(3):1, 113(3), 1.
- Solaberrieta, E., Minguez , R., Barrenetxea, L., & Sierra , E.** (2014). Computer-aided dental prostheses construction using reverse engineering. Comput Methods Biomech Biomed Eng, 17(12), 1335-46.
- Solaberrieta, E., Otegi , J., Mi'nguez, R., & Etxaniz, O.** (2014). Improved digital transfer of the maxillary cast to a virtual articulator. . J Prosthet Dent, 112(4), 921-4.

- Song, T., Kwon, T., Yang , J., Han , J., Lee , J., & Kim , S.** (2013). Marginal fit of anterior 3-unit fixed partial zirconia restorations using different CAM / CAD systems. *J Adv Prosthodont*, 5, 219-25.
- Sorensen, J., & Torres, T.** (1992). In Ceram ceramic bridge technology. *Quint Dent Technol*, 15, 41-6.
- Sorensen, J., Kang , S., & Avera, S.** (1991). Porcelain-composite interface microleakage with various porcelain surface treatments. *Dent Mater* 1991; , 7(2), 118-23.
- Sorensen, J.** (1990). A standardized method for determination of crown margin fidelity. *J Prosthet Dent*, 64(1), 18-24.
- Sorensen, J. S.** (1992). Marginal fidelity and microleakage of porcelain veneers made by two technique. *J Prosthet Dent.*, 67, 16-22.
- Sorensen, J., & Munksgaard, E.** (1995). Ceramic inlay movement during polymerization of resin luting cements. *Eur J Oral Sci* 1995;103(3):186-9, 103(3), 86-9.
- Stappert, C., Denner, N., Gerds, T., & Strub, J.** (2005). Marginal adaptation of different types of all-ceramic partial coverage restorations after exposure to an artificial mouth. *Br Dent J*, 199(12):. *Br Dent J.*, 199(12), 779-783; discussion 777.
- Strub, J., Rekow , E., & Witkowski , S.** (2006). Computer-aided design and fabrication of dental restorations: current systems and future possibilities. *J Am Dent Assoc* 2006;137(9):1289-96., 137(9), 1289-96.
- Suansuwan, N., & Swain , M.** (1999). New approach for evaluating metal porcelain interfacial bonding. *Int J Prosthodont*, 12, 547-552.
- Suarez, M., Gonzalez de Villaumbrosia, P., Pradies , G., Lozana , & Lozano, J.** (2003). Comparison of the marginal fit of Procera AllCeram crowns. *Int J Prosthodont*., 16(3), 229-232.
- Suffert, L., & Mahler , D.** (1955). Reproducibility of goldcastings made by present day casting technics. *JADA*, 1(1-6), 50.
- Sulaiman, F., Chai, J., Jameson, , L., & Wozniak.** (1997). A comparison of the marginal fit of In-Ceram, IPS Empress, and Procera crown. *Int J Prosthodont*., 10(5), 478-484.
- Suleiman, S., & Vult von Steyern, P.** (2013). Fracture strength of porcelain fused to metal crowns made of cast, milled or laser-sintered cobalt-chromium. *Acta Odontol Scand*, 71(5), 1280-1289.
- Sundar, M., Chikmagalur , S., & Pasha , F.** (2014). Marginal fit and microleakage of cast and metal laser sintered copings—An in vitro study. *J Prosthodont Res.*, 58, 252–8.
- Sutherland, J., Loney, R., & e Jarotskic, T.** (1996). Marginal discrepancy of ceramic crowns with redesigned implant components. *J Prosthet Dent*, 75(5), 540-544.
- Syam WP , M. M.-A., Syam , W., Mannan , M., & Al-Ahmari, A.** (2011). Rapid prototyping and rapid manufacturing in medicine and dentistry. *Virt Physi Proto*, 6, 79-109.
- Syu, J., Byrne, G., Laub, L., & Land, M.** (1993). Influence of finish-line geometry on the fit of crowns. *Int J Prosthodont*., 6(1), 25-30.
- Takahashi, J., Kimura, H., Lautenschlager , E., Chern Lin, J., Moser, J., & Greener , E.** (1990). Casting pure titanium into commercial phosphate-bonded SiO₂ investment molds. *J Dent Res*, 69, 1800-5.

- Takahashi, T., & Gunne, J.** (2003). Fit of implant frameworks: an in vitro comparison between two fabrication techniques. *J Prosthet Dent*, 89(3), 256-260.
- Takaichi, A., Suyalatu, & Nakamoto , T.** (2013). Microstructures and mechanical properties of Co-29Cr-6Mo alloy fabricated by selective laser melting process for dental applications. *J Mech Behav Biomed Mater*, 21, 67-76.
- Tamac, E., Toksavul , S., & Toman, M.** (2014). Clinical marginal and internal adaptation of CAM / CAD milling, laser sintering, and cast metal ceramic crowns. *J Prosthet Dent*, 112, 909-913.
- Tapie, L., Lebon , N., Mawussi , B., Fron Chabouis , H., Duret, F., & Attal, J.** (2005). Understanding dental CAM / CAD for restorations –the digital workflow from a mechanical engineering viewpoint. *Int J Comput Dent*, 18(1), 21-44.
- Tariq, F., Alghazzawi , B., & MSMtE, M.** (2016). Advancements in CAM / CAD technology: Options. *Journalof prosthodontic research*, 72, 84.
- Taskonak , B., Mecholsky , J., & Anusavice , K.** (2005). Residual stresses in bilayer dental ceramics. *Biomaterials*, 26(16), 3235-41.
- Tian, X., G"unster , J., Melcher , J., & diğerleri.** (2009). Process parameters analysis of direct laser sintering and post treatment of porcelain components using Taguchi's method. *J Eur Cera Soc*, 29, 1903-1915.
- Ting-Shu, S., & Jian , S.** (2015). Intraoral digital impression technique. *J Prosthodont*, 24(4), 313-21.
- Tinschert, J., N. G.** (2004). Status of current CAM / CAD technology in dental medicine. *Int Comput Dent*, 7(11), 25-45.
- Tinschert, J., Natt, G., Mautsch, W., Spiekermann , H., & Anusavice.** (2001). Marginal fit of alumina-and zirconia-based fixed partial dentures produced by a CAM / CAD system. *Oper Dent*, 26(4), 367-374.
- Tinschert, J., Zwez, D., Marx, R., & Anusavice, K.** (2000). Structural reliability of alumina-, feldspar-,leucite-, mica- and zirconia-based ceramics. *J.Dent*, 28(7), 529-35.
- Tjan, A., & Fox, W.** (1989). Comparison of the marginal fit of various ceramic crown systems. *J Prosthet Dent*, 61(5), 527-531.
- Tjan, A., & Grant, B.** (1987). Marginal accuracy of temporary composite crowns. *J Prosthet Dent*, 58, 417-420.
- Tolochko, N., Mozzharov , S., Yadroitsev , I., Laoui , T., Froyen, L., Titov, V., & diğerleri.** (2004). Balling processes during selective laser treatment of powders. *Rapid Prototyping J* 2004;10(2):78-87. *Rapid Prototyping J* 2004;10(2):78-87.
- Toman, M., Toksavul, , S., Schmage, P., & Nergiz,, İ.** (2009). Farklı basamak tipi ve tüm seramik sistemlerinin tüm seramik kronların marjinal uyumuna etkileri. *SÜ Dişhek Fak Derg*, 7-12, 18.
- Torabi K, F. E.** (2015). Rapid prototyping technologies and their applications in prosthodontics: a review of Literature. *J Dent (Shiraz)*, 16(1), 1-9.
- Torabi, M., Farjood, K., & Khaledi, A.** (2013). Comparison the Marginal and Internal Fit of Metal Copings Cast from Wax Patterns Fabricated by CAM / CAD and Conventional Wax upTechniques. *J Dent (Shiraz)*, 14(3), 118-129.

- Tschernitsche , H., Borchers , L., & Guertsen , W.** (2005). Nonalloyed titanium as a bioinert metal-a review. *Quintessence Int*, 36, 523-30.
- Turbush SK, T. I.** (2012). Accuracy of three different types of stereolithographic surgical guide in implant placement: an in vitro study. *J Prosthet Dent*, 108, 181-188.
- Turner, N., Strong , R., & Gold , A.** (2014). A review of melt extrusion additive manufacturing processes: I. Process design and modeling. *Rapid Proto J*, 20:, 192-204.
- Tysowsky, G.** (2009). The science behind lithium disilicate: a metal-free alternative. *Dentistry Today*, 28 (3), 112-113.
- Ucar, Y., Akova , T., Akyil , M., & diğerleri.** (2009). Internal fit evaluation of crowns prepared using a new dental crown fabrication technique: laser
- Ural, Ç.** (2006). *Beş farklı seramik restorasyon yapım yönteminde marginal uyumların in vitro olarak değerlendirilmesi.* (Doktora Tezi) Samsun.: Ondokuz Mayıs Üniversitesi Sağlık Bilimleri Enstitüsü Protetik Diş Tedavisi Ana Bilim Dalı.
- Usanmaz, G.** (2005). *Copy-Milling sistemiyle hazırlanmış üç üniteli iki farklı materyaldeki tam seramik köprülerin marginal uyumlarının fırınlama aşamalarında karşılaştırılması.*(Doktora Tezi) Ankara: Hacettepe Üniversitesi Sağlık Bilimleri Enstitüsü, Ankara.
- Ushiwata , O., & Moraes, J.** (2003). Method for marginal measurements of restorations: Accessory device for toolmakers microscope. *J Prosthet Dent.*, 83, 362-366.
- Vaez, M., Seitz , H., & Yang, S.** (2012). A review on 3D micro-additive manufacturing technologies. *Int J Adv Manufac Tech*, 67, 1721-1754.
- Valderhaug, J., & Birkeland , J.** (1976). Periodontal conditions in patients 5 years following insertion of fixed prostheses. Pocket depth and loss of attachment. *J Oral Rehabil*, 3:, 237-43.
- Valderhaug, J., & Heloe , L.** (1977). Oral hygiene in a group of supervised patients with fixed prostheses. *J Periodontol*, 48, 221-4.11.
- Valderhaug, J., Jokstadt , A., Ambjornsen , E., & Norheim, P.** (1997). Assessment of the periapical and clinical status of crowned teeth over 25 years. *J Dent*, 25, 97-105.
- Van Noort, R.** (2012). The future of dental devices is digital. *Dent Mater*, 28(1), 3-12.
- Vojdani, M., Torabi, K., & Farjood, E.** (2013). Comparison the Marginal and Internal Fit of Metal Copings Cast from Wax Patterns Fabricated by CAM / CAD and Conventional Wax up Techniques. *J Dent (Shiraz)*, 14(3), 118-129.
- Vollborn T, H. D., Vollborn , T., Habor, D., Pekam , F., Heger , S., Marotti , J., . . . ve diğerleri.** (2014). Soft tissue-preserving computer-aided impression: a novel concept using ultrasonic 3D-scanning. *Int J Comput Dent*, 17(4), 277-96.
- Walter M, B. K.** (1994). Clinical performance of machined titanium restorations. *J Dent*, 22, 346-8.
- Wang, R., & Fenton , A.** (1996). Titanium for prosthodontic applications: a review of the literature. *Quintessence Int*, 27, 401-8.

- Wang, X., Laoui , T., Bonse , J., Kruth , J., Lauwers , B., & Froyen, B.** (2002). Direct selective Laser Sintering of Hard Metal Powders: Experimental Study and Simulation. *Int J Adv Manuf Technol*, 19(5), 351-7.
- Wataha, J.** (2002). Alloys for prosthodontic restorations. *J Prosthet Dent.*, 87, 351-63.
- Wataha, J., & Messer, R.** (2004). Casting alloys. *Dent Clin North Am*, 48(vii-viii), 499-512.
- Watson, J., & Hatamleh , M.** (2014). Complete integration of technology for improved reproduction of auricular prostheses. *J Prosthet Dent*, 111, 430-436.
- Weaver, J., Johnson, G., & Bales, D.** (1991). Marginal adaptation of castable ceramic crowns. *J Prosthet Dent.*, 66, 747-753.
- Wegner, S. M., A.-H. A.** (2003). Clinical evaluation of marginal fit of a new experimental all-ceramic system before and after cementation. *Int J Prosthodont.*, 16(6), 587-592.
- Wilde, F., Plail, M., Riese , C., & diğerleri.** (2012). Mandible reconstruction with patient-specific pre-bent reconstruction plates: comparison of a transfer key method to the standard method—results of an in vitro study. *Int J Comput Assist Radiol Surg*, 7, 57-63.
- Williams, R. B.** (2004). Technique for fabricating patterns for removable partial dentureframeworks using digitized casts and electronic surveying. *J Prosthet Dent*, 91(1), 85-8.
- Wilson, A. J.** (1994). The relationship between preparation convergence and retention extracoronal retainers. *J. Prosthodont*, , 3, 74-78.
- Witkowski, S.** (2005). CAM / CAD in dental technology. *Quintessence Dent Technol*, 28, 169-84.
- Witkowski, S., Komine, F., & Gerds, T.** (2006). Marginal accuracy of titanium copings fabricated by casting and CAM / CAD techniques. *J Prosthet Dent*, 96(1), 47-52.
- Wolfart, S. S.-H.** (2003). Clinical evaluation of marginal fit of a new experimental all-ceramic system before and after cementation. *Int J Prosthodont*, 16(6), 587-592.
- Wu, L., Zhu , H., Gai, X., & diğerleri.** (2014). Evaluation of the mechanical properties and porcelain bond strength of cobalt-chromium dental alloy fabricated by selective laser melting. *J Prosthet Dent*, 111, 51-55.
- Xin, X., Chen , J., Xiang , N., & diğerleri.** (2014). Surface characteristics and corrosion properties of selective laser melted CoCr dental alloy after porcelain firing. *Dent Mater*, 30, 263-270.
- Xu, D., Xiang , N., & Wei , B.** (2014). The marginal fit of selective laser melting-fabricated metal crowns: an in vitro study. *J Prosthet Dent*, 112, 1437-1440.
- Yamamoto, S., Kanazawa , M., Iwaki , M., Jokanovic , A., & Minakuchi, S.** (2014). Effects of offset values for artificial teeth positions in CAM / CAD complete denture. *Comput Biol Med*, 52, 1-7.
- Yang, J., & Lee, J.** (2003). In vitro marginal fit of three all-ceramic crown systems. *J Prosthet Dent.*, 90(5), 459-464.
- Yefang, Z., Hutmacher, D., Varawan , S., & diğerleri.** (2007). Comparison of human alveolar osteoblasts cultured on polymer-ceramic composite

- scaffolds and tissue culture plates. *Int J Oral Maxillofac Surg*, 36, 137-145.
- Yeo, I., Lee, J., & Yang, J.** (2003). In vitro marginal fit of three all-ceramic crown systems. *J Prosthet Dent.*, 90(5), 459-464.
- Yilmaz, B.** (2015). Incorporating digital scans of diagnostic casts into computed tomography for virtual implant treatment planning. *J Prosthet Dent*, 114(2), 178-81.
- Zandparsa, R.** (2014). Digital imaging and fabrication. *Dent Clin North Am*, 58(1)(135-58), 2014.
- Zhang, B., Huang , Q., Gao , Y., & diğerleri.** (2012). Preliminary study on some properties of CoCr dental alloy formed by selective laser melting technique. *J Wuhan Univ Tech Mater Sci Edu*, 27, 665-668.
- Zhang, Y., Lee , J., Srikanth , R., & Lawn , B.** (2013). Edge chipping and flexural resistance of monolithic ceramics. *Dent Mater*, 29(12), 1201-8.
- Zimmermann, M., Mehl , A., & Reich , S.** (2013). New CAD/ CAM materials and blocks for chairside procedures. *Int J Comp Dent* 2013;16(2):173-81, 16(2), **173-81**.
- Zimmermann, M., Mehl , A., Mörmann, W., & Reich , S.** (2015). Intraoral scanning systems – a current overview. *Int J Comput Dent.*, 18(2),109-29.
- Żmudzki J., B. M.** (2017). CAM / CAD silicone auricular prosthesis with thermoformed stiffening insert. *Archives of Materials Science and Engineering*, 83(1), 30-35.
- Cahill, V.** (t.y.). A Short History and Current Development of UV-Curing for Ink Jet Printing. adres:<http://www.vcesolutions.com/papers-presentations/>
- Formlabs,** (t.y.).Desktop Stereolithography (SLA) 3D Printing. adres: <https://formlabs.com/3d-printers/>
- Nobelbiocare,** (t.y.).Our-Company/History-And-Innovation adres: <http://www.Nobelbiocare.com>
- Machinist., A.** (t.y.). The CAM / CAD hall of fame. adres: <http://www.americanmachinist.com>
- Sirona, F.** (t.y.). adres: <https://www.dentsplysirona.com/en/about-dentsply-sirona/history.html>
- Vita In-Ceram YZ for inLAB Brochure** (2019 Mart 12) www.vitanorthamerica.com/datei.php?src=download/Support/Instructions-For-Use/Machinables/yz_instructions_1128e.pdf

ÖZGEÇMİŞ



Ad-Soyad : Recep KARA

Doğum Tarihi ve Yeri: 01.08.1975 Tavşanlı / KÜTAHYA

E-posta : drecepkara@gmail.com

ÖĞRENİM DURUMU:

- **Lisans** : 1998, İstanbul Üniversitesi, Dişhekimliği Fakültesi
- **Yükseklisans** : 2013, Fatih Üniversitesi, Sosyal Bilimler Enstitüsü,
Siyaset Bilimi

MESLEKİ DENEYİM VE ÖDÜLLER:

1998-1999 İstanbul Üniversitesi Dişhekimliği Protetik Diş Tedavisi Doktora Programı

1999-2001 Mardin Midyat Garnizon Komutanlığı reviri

2001-2002 Serbest dişhekimliği muaynehanesi

2002-2011 Tavşanlı Doç.Dr. Mustafa Kalemlı Devlet Hastanesi

2001- 2019 özel dişhekimi muaynehanesi

1998 Dişhekimliği Fakültesi 3. ‘lük ödülü

2001 Kara Kuvvetleri Komutanlığı üstün hizmet takdirnamesi

